Année 1998

Diplôme d'Université de Gemmologie

présenté
devant l'Université de Nantes
U.F.R des Sciences et des techniques
par
M. Luc Genot

Les pierres de lune bleues de Meethiyagoda

Sri Lanka

soutenu publiquement le 14 décembre 1998 au département de Géologie devant la commission d'examen composée de :

M. B. LASNIER, Professeur à l'Université de Nantes	Président
M. E. FRITSCH, Professeur à l'Université de Nantes	Vice-Président
M. S. LEFRANT, Professeur à l'Université de Nantes	Examinateur
M. J. GIRARDEAU, Professeur à l'Université de Nantes	Examinateur
M. J-P GAUTHIER, Professeur à l'Université de Lyon	Examinateur
M. M. SPIESSER, Maître de Conférences à l'Université de Nantes	Examinateur
Mr Ph. MAITRALLET, Directeur du Service Public du Contrôle de	s Diamants, Perles,
Pierres Précieuses et Fines de la CCI de Paris	Examinateur

Quelle est la pierre rare qui caressée du regard, invite sans trêve aux plus beaux des rêves?

B. Marsin, 1997

Table des Matières

ntroduction Thapitre I: CARACTERISTIQUES des PIERRES de LUNE Aspect Géographique Localisation Cadre géographique et géologique Aspect Géologique Formation Profil vertical de Meethiyagoda Diagrammes des phases (Pierre de lune – magma) Géochronologie	P 3 P 4 P 4 P 7 P 10 P 10 P 10 P 10 P 10
Aspect Géographique Localisation Cadre géographique et géologique	р р I
Aspect Géologique Formation	
Profil vertical de Meethiyagoda	
Diagrammes des phases (Pierre de lune – magma) Géochronologie	
Prospection	p 21
Aspect Minéral Description	p 23
Morphologie	
Classification	
Structure Chimique	
Composition Chimique	
Aspects physiques	
Diffusion de la lumière Phénomène d'adularescence	p 33 p 35
Traitement Thermique	p 37
Luminescence (UVC-UVL)	p 40
Spectroscopie Raman Microscope électronique à balayage (MEB)	p 43
Imagerie Microscope électronique à balayage (MET)	p 48
Imagerie Diffraction électronique	p 49

Chapitre II: L'IDENTIFICATION

Bibliographie	Fiches minéralogiques Cristaux et Macles Tableau résumé des feldspaths alcalins Altération des feldspaths Vocabulaire Etymologie Chronologie Microscope électronique à transmission (MET CM30) Autres gisements de PL au Sri Lanka Pierres de lune et Civilisations	Chapitre V: ANNEXES	Chapitre IV : DISCUSSION CONCLUSIONS	Classification des couleurs des PL bleues Techniques de taille L'évaluation Le négoce	Chapitre III : La COMMERCIALISATION	La distinction des PL des autres gemmes Observation des inclusions au microscope optique
p I	<i>4</i>		p 71 p 72	d d d		p 57 p 59
p 104	76 81 82 83 83 94 95		p 71 p 72	2888		59

Avant-propos

Négociant en pierres taillées, je me suis rendu au Sri Lanka où au cours du temps quelques courtiers en pierres de couleurs et moi avons lié une grande amitié. courtiers me présentèrent de nombreux gisements dont celui de Meethiyagoda.

l'Université de Nantes. Diplôme d'Université de Gemmologie (DUG) dans le cadre des formations continues à Désirant approfondir mes connaissances en gemmologie, je suis la préparation du

part deux articles publiés par Harder dans le Journal of Gemmology of Great Britain. littérature « gemmologique classique » récente décrit fort peu ce groupe de feldspaths mis à Il m'a semblé intéressant de choisir les pierres de lune (PL) comme sujet du DUG car la

aidé durant ces quinze mois. Je tiens à remercier tout particulièrement le Professeur Lasnier pour la datation d'échantillons de PL. Je remercie également M. J-M Cantagrel de l'Université Blaise Pascal de Clermont-Ferrand transmission (MET) c'est grâce à la bienveillance et aux explications de S'il m'a été possible de présenter des clichés réalisés au microscope électronique à et le Professeur Fritsch pour leurs précieuses recommandations et leurs encouragements. Madame Anne-Marie Marie et aux développements des négatifs par M. Gits Ce travail a pu être réalisé grâce aux conseils et à l'appui matériel de tous ceux qui m'ont

M. Garbusinki Stanislas pour leurs nombreux conseils, explications et commentaires, Je tiens aussi à remercier tout spécialement M. Hanon David, M. Hanoteau Yves et M. Eric Faulques qui s'est chargé de me fournir de nombreuses publications ou articles et de réaliser les spectres Raman.

dans les horaires à l'Infac et M. Marikar pour son enseignement pratique du négoce des encouragements et le prêt de four lors du traitement thermique des échantillons, des extraits de publications concernant les PL, M. Serge De Moor et M. Jule pour leurs pour les informations communiquées, le Professeur Overlau, Directeur du Département de les correspondances échangées en Angleterre, M. Vanden Bosh pour la souplesse accordée la réalisation de photos au microscope pétrographique, M. Andy Pratt qui me fit parvenir Je remercie aussi le Dr Mandel Professeur de Physique à l'Université Libre de Bruxelles Bracewell et M. Baldy J., M. Bahri-Hautem pour l'envoi d'échantillons, M. Jasper May pour Géologie des Facultés Universitaires de Notre-Dame de la Paix à Namur pour ses conseils et

Introduction

Les feldspaths sont un des principaux constituants des roches de l'écorce terrestre.

Cinq principales variétés de feldspaths peuvent se présenter sous forme de gemmes :

- la labradorite
- l'amazonite
- l'orthose d'Itrongay
- la pierre de soleil (oligoclase)
- la pierre de lune

La complexité de leur composition, de leur structure chimique, et de leur mode de formation dont ils ont fait l'objet. laisse apparaître de nombreuses zones d'ombres et ce malgré un grand nombre de travaux

l'albite, et à l'anorthite. feldspaths : le potassium, le sodium et le calcium. Ces pôles correspondent à l'orthose, à En 1864, Tschermak définit les trois principaux pôles qui délimitent la famille des

sont appelés des feldspaths alcalins, potassiques ou sodi-potassique. Ses membres qui se situent dans la série solide entre NaAlSi3O8 (albite) et KAlSi3O8 (orthose)

entre NaAlSi₃O₈ et CaAl₂Si2O₈ sont appelés plagioclases. (Moine, 1995) Les pierres de lune (PL) appartiennent à cette série. Les membres se trouvant dans la série

anorthoclase au sens strict (SS). « variétés » de l'orthose (KAlSi3O8) que l'on dénomme 'albite' et 'orthose' au sens large (SL) Suivant les conditions de formation, on distingue 3 « variétés » de l'albite (NaAlSi3O8) et 3 ou bien sous le nom des variétés : albite, analbite, monalbite, orthose, microcline, sanidine,

du gisement de Meethiyagoda. Ce mémoire présente en 5 chapitres les caractéristiques principales des PL (pierres de lune)

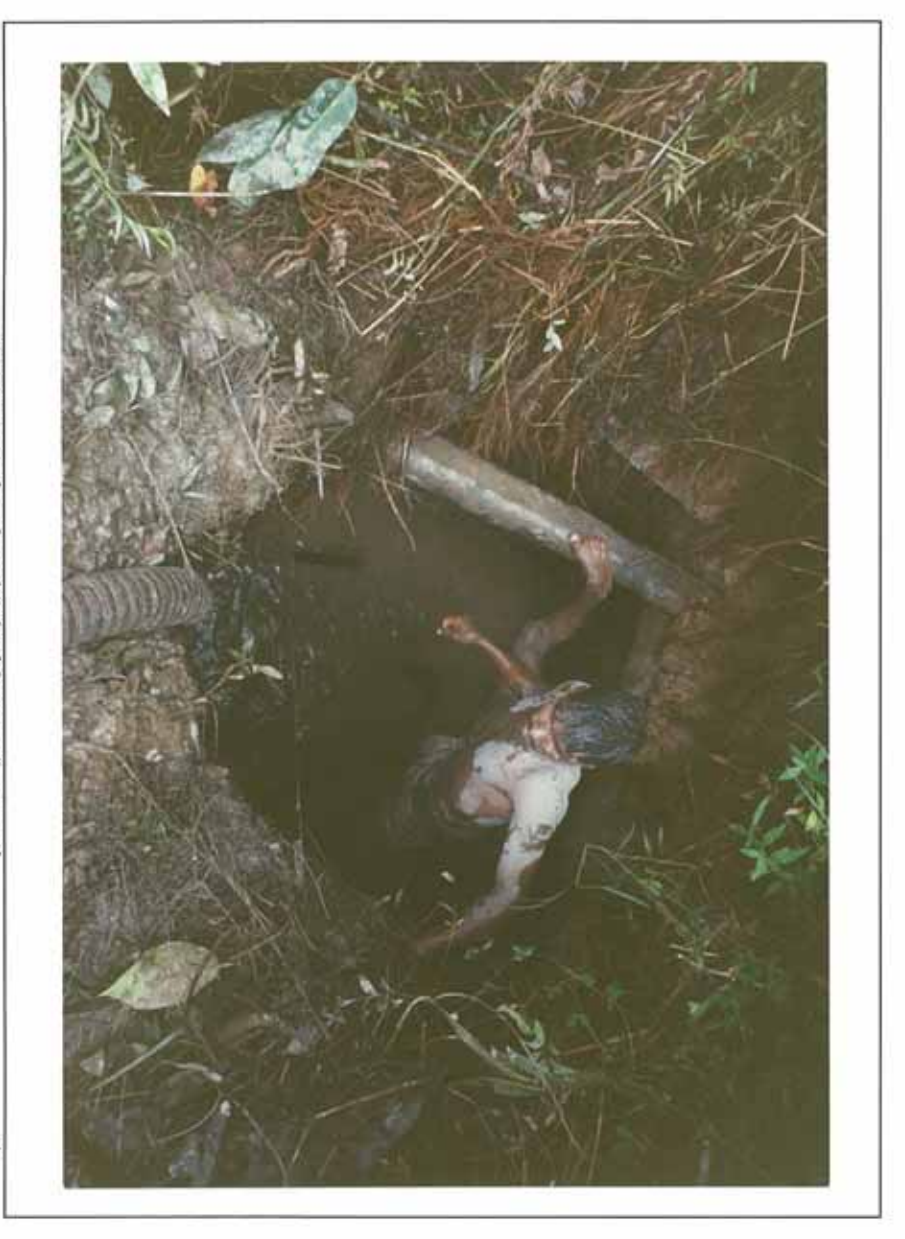
Meethiyagoda et des feldspaths alcalins) et la mise en évidence du lien qui existe entre la PL de ce gisement (par une actualisation des différents travaux effectués sur les PL de microscopiques beauté de cette gemme (l'adularescence et la diffusion de la couleur bleue) et ses propriétés Le but initial du travail consistait à présenter un rapport à caractère général concernant les

Chapitre I:

Caractéristiques des Pierres de Lune de Meethiyagoda (Sri Lanka)

I^{ere} partie

spect GEOGRAPHIQUE et Cadre GEOLOGIQUE de Meethiyagoda



Ancien puits abandonné "régulièrement" squatté Par la nature fragile du sol, les puits doivent être fortement consolidés par des rondins.

Localisation

Meethiyagoda se situe près de Galle au Sri Lanka.
Galle est une ville côtière à une centaine de kilomètres au sud de Colombo. Le village de Meethiyagoda est à quinze kilomètres à l'intérieur du pays.

Les pierres de lune (PL) bleues de ce gisement sont réputées pour leur couleur et leur pureté.

Vers 1905, les premiers fragments de PL furent découverts par des cultivateurs de riz à Meethiyagoda (Spencer, 1930).

Quatre compagnies y prospectent officiellement sur une aire de 4068 m² (Harder H., 1992). Quelques anciens puits abandonnés sont sporadiquement «squattés » (photos A et C). Sur le gisement, des sols de couleur brun-clair sont «l'indicateur » de la présence de PL (photo C). Au fur et à mesure que le puits est creusé, une pompe exhaure l'eau (photo B).



Pl. 1

(photo D et E). Les «graviers » sont récoltés puis nettoyés pour finalement en séparer les PL



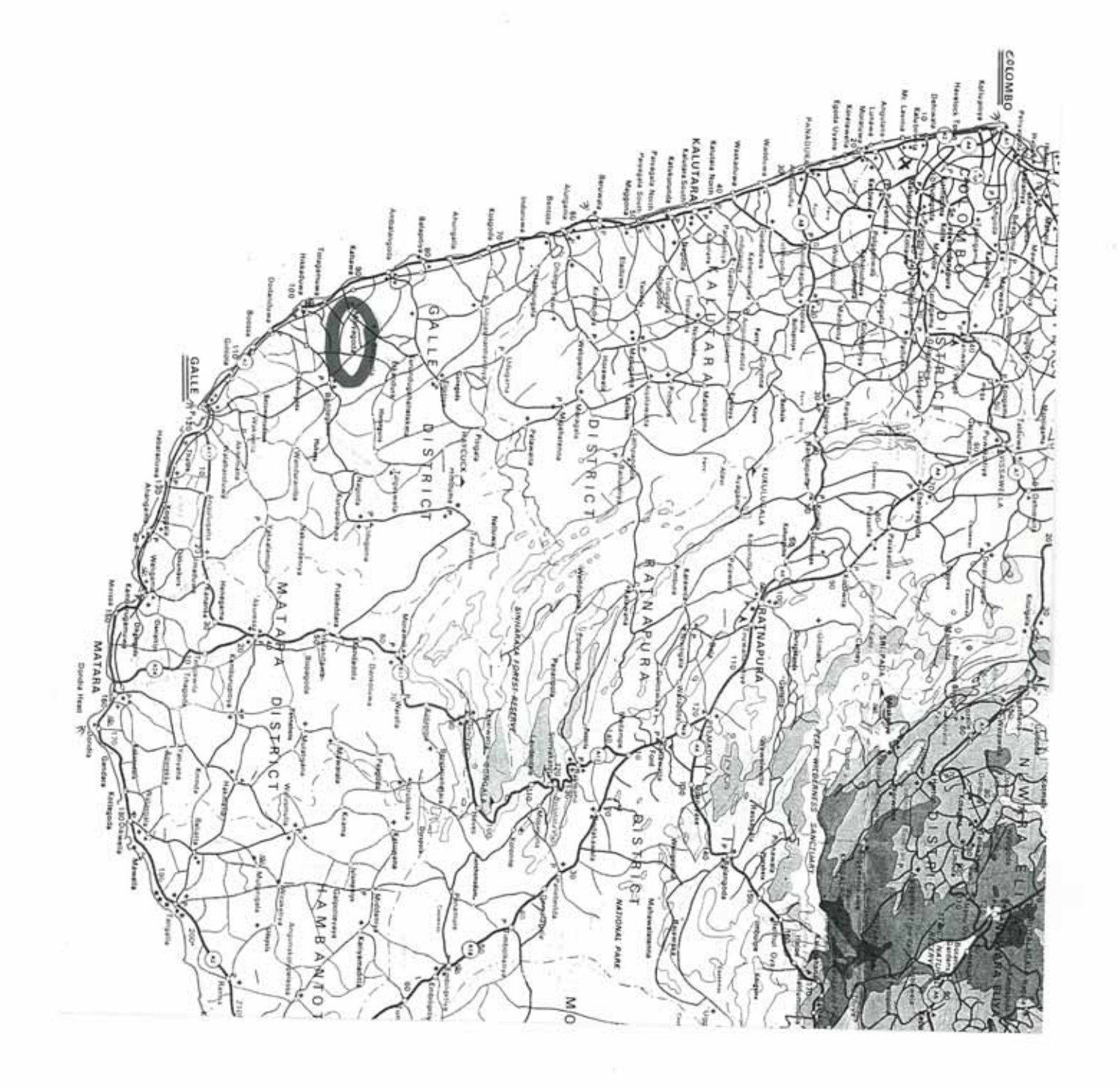
Préparation d'une pompe pour dégager l'eau infiltrée dans un puits

В

Suite aux problèmes de guérilla menés par les séparatistes, les cartes d'état major ne sont plus publiées

Détail de la zone encadrée

(Road Map of Sri Lanka, Survey Department, 1994).





Des sols de couleur brun-clair sont «l'indicateur » de la présence de PL



L'illam récolté est nettoyé dans un panier plat en osier ou fin tamis.

D

Cadre géographique et géologique

Le Sri Lanka est un des « fragments » de l'ancien continent appelé Gondwana Avec l'Inde, ils se trouvent sur la même plaque continentale.

« simple » car la plus grande superficie de l'île est occupée par un socle de terrains anciens dont l'essentiel est composé de roches métamorphiques. De façon générale, l'on peut dire que le relief du Sri Lanka est établi sur une structure

La grande majorité des sols de l'île (schistes et gneiss) date du Précambrien'

soulèvements qui fracturèrent ses roches. Le Sri Lanka a connu de nombreux mouvements tectoniques dont des plissements et

schistes et de gneiss (peu résistants à l'érosion). Le centre de l'île est soulevé par des cassures Le Nord est formé de calcaires du Miocène. Le Sud-Est et le Nord-Ouest sont formés de gigantesques

La température tropicale ne varie que très faiblement au cours de l'année (Universalis, 1995) comme zone humide car annuellement près de 1800 millimètres «arrosent » cette région. Le gisement de Meethiyagoda se situe dans la partie Sud-Ouest de l'île qui est considérée

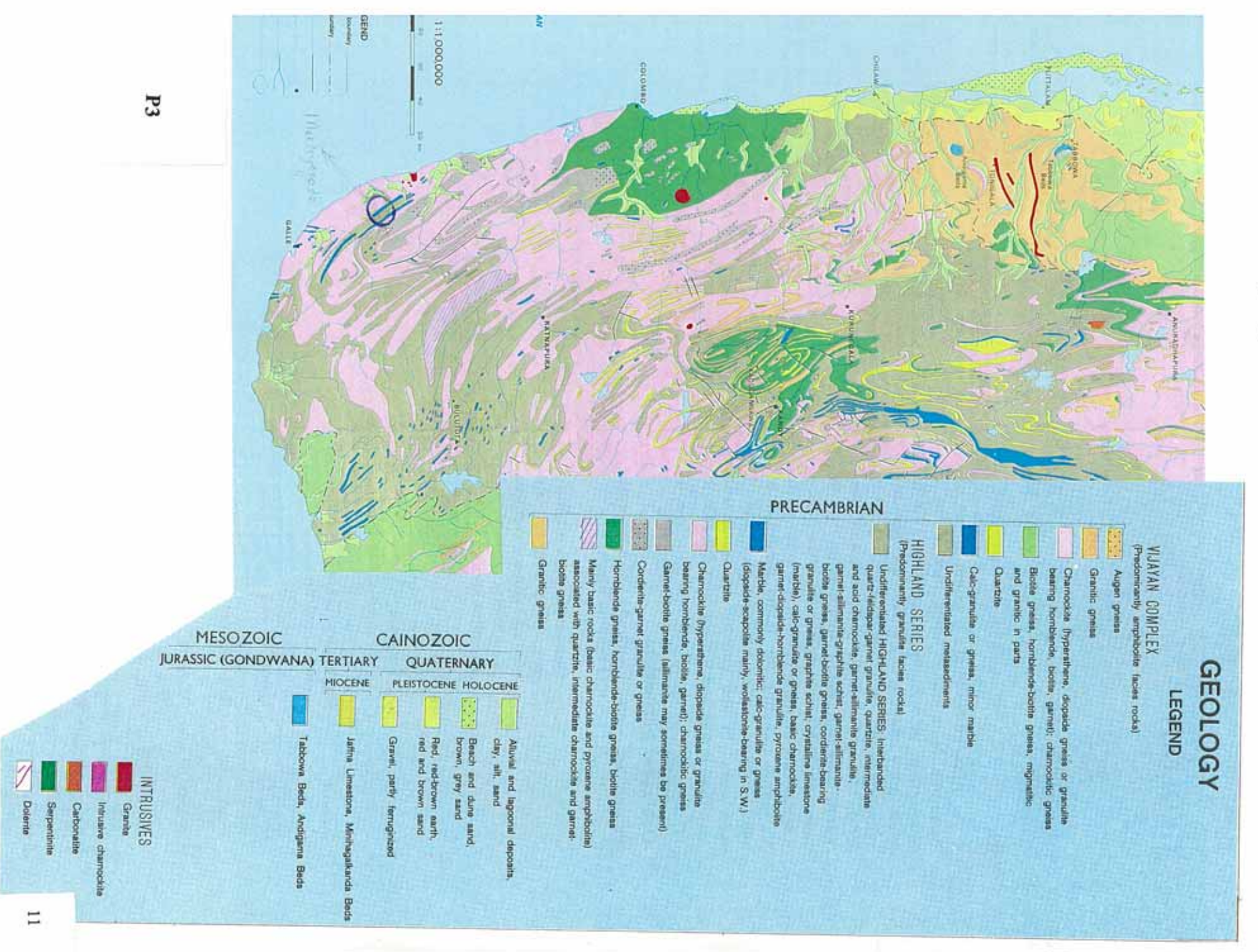
feldspath avec mica que l'on retrouve dans toute cette région. cambrien. Le site en lui-même est constitué d'une pegmatite d'origine intruse du type quartz-(charnockitiques3), granites et de marbres métamorphiques faisant partie du vieux socle Préenvironnement de roches métamorphiques principalement constituées de gneiss² D'un point de vue général, le site d'exploitation de Meethiyagoda est situé dans un

relativement faible activité tectonique (Communication personnelle de M. Yves Hanoteau, 1997) On constate également dans cette région une faible densité de failles⁴ qui laisse présager une

^{1 570.000.000} à 4.600.000.000 d'années

schistosité peu marquée à nette (Schumann, 1985). Les gneiss ont une structure grano-lepidoblastique, une proportion de feldspath supérieure à 20 %, une

Gneiss comprenant hypersthène, diopside, hornblende, biotite. Complément d'information page 80.
 D'après la carte géographique du Sri Lanka au 1/500.000 publiée par le Geological Survey of Sri Lanka.

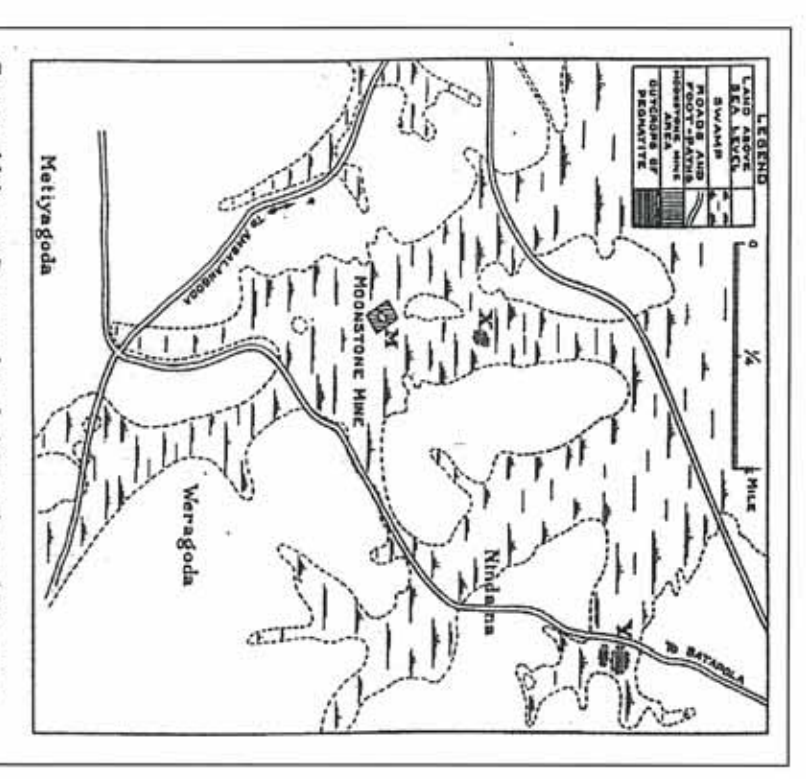


H^{eme} partie

Aspect GEOLOGIQUE de Meethiyagoda

Formation des et leur étude

chimiques des PL bleues. Il publie ses recherches dans le "Mineralogical Magazine" rapport que les PL étaient recherchées à près de 1m 30 de profondeur. PL (de bonne couleur) n'est pas régulière dans la pegmatite Actuellement, Les PL sont recherchées entre 25 et 30 m de profondeur. La distribution des (Il constate que les PL sont recherchées à une profondeur de +/- 26 m) (Spencer, 1930). En 1930, Spencer étudie le gisement de Meethiyagoda et les propriétés physiques et En 1906, J. Parsons étudia le site pour le Ceylon Government Survey. Il indiquait dans son



en 1930, montrant les environs du gisement de Meethiyagoda. Le gisement des PL se situe en M. Le gisement des PL se situe en M. Carte publiée par Spencer dans le Mineralogical Magazine

pluviales et d'autre part au contact part au contact avec les eaux en une argile blanche est due d'une avec les eaux hydrothermales La décomposition des feldspaths

qui ont progressivement altéré la eaux chargées d'acide humique5 ce procédé de kaolinisation par des réducteur (Spencer, 1930) roche. Ceci se passe en milieu climatiques tropicaux ont entamé Près de la surface, les agents

cations de la structure de l'albite. déchaussement progressif des de <u>l'HYDROLYSE</u> par supérieure de l'écorce (près de des feldspaths dans la partie dans son syllabus "Matériaux de l'affleurement) est due à l'action l'Ecorce Terrestre" que l'altération Le Professeur Lasnier explique

l'hydrogène6 Les cations H⁺ dont la taille est fort petite vont exercer un champ électrique sur les anions O du feldspath car les ions Na⁺ du feldspath ont un potentiel ionique plus faible que ceux de

migrer par les canaux du réseau déformé suite à cette réaction d'échange ionique. réseau de l'albite se trouve déformé à sa surface. Au départ de la réaction, la concentration en et s'organisent avec la silice pour former du kaolin (Lasnier, 1994) silice en milieu acide. libération de la silice et de l'alumine dépend du pH'. Il y a plus d'alumine libérée que de sodium étant forte dans l'albite et nulle dans l'eau avoisinant le cristal. Les ions Na vont Ainsi, les O ayant tendance à se lier aux hydrogènes, les ions Na se trouvent libérés et le Le feldspath se transforme en gel dont les éléments passent en solution La

⁵ L'acide humique résulte de la décomposition de débris organiques solubles (microflore du sol, bactéries champignon et la faune) en formant des molécules complexes par polymérisation.

6 Pour une même charge, le cation Na est nettement plus grand que le cation H.

Complément d'information p 80.

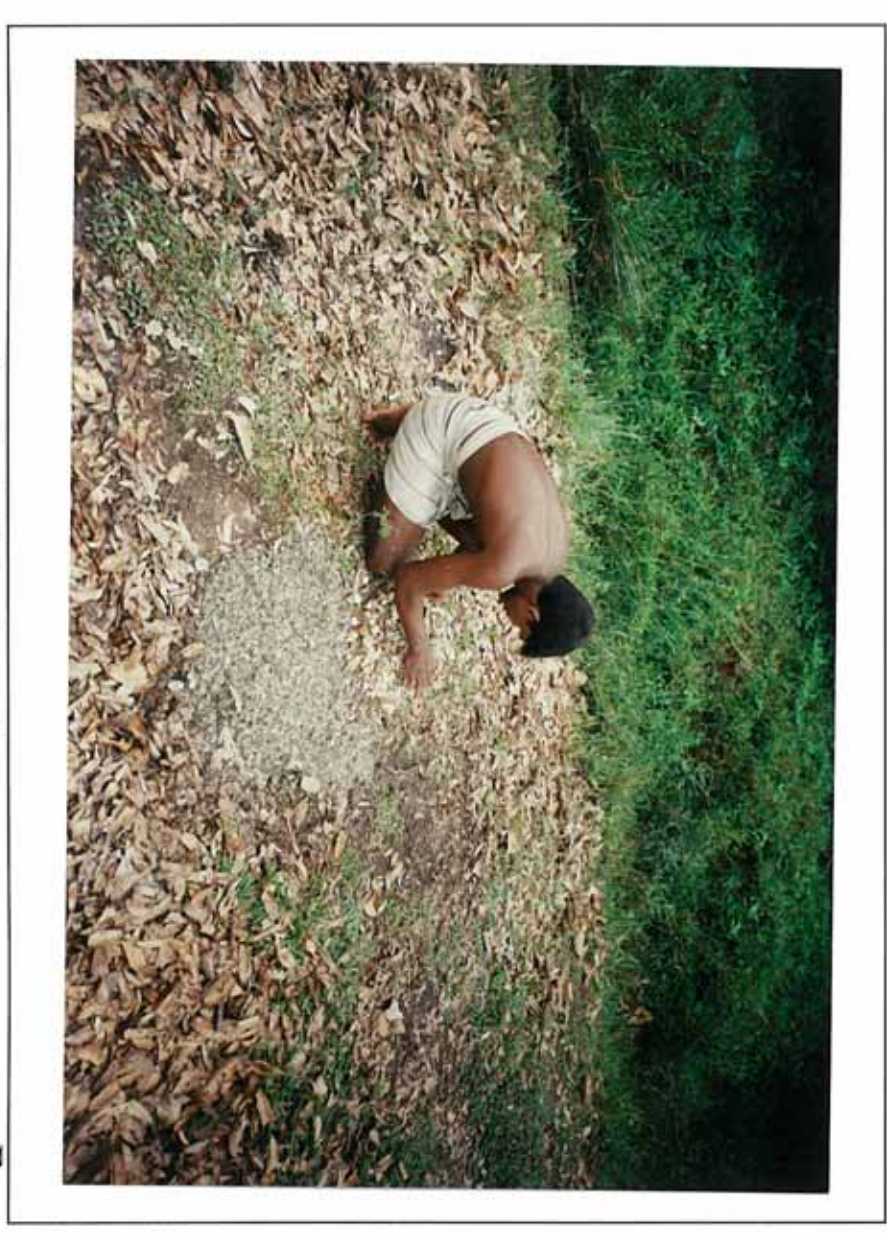


Altération d'une PL après hydrolyse.
Agrandissement 50X

- En profondeur, des solutions hydrothermales postmagmatiques ont pris part au processus de décomposition de la pegmatite. Les matières riches en kaolin sont lavées (éliminées) par les eaux au lieu d'enrichir les feldspaths résiduels. Dans la partie inaltérée de la pegmatite la présence de quartz et feldspath peut être trouvée avec occasionnellement de la biotite et du phlogopite (Spencer, 1930).

Pratiquement tous les bruts de PL ont leur surface attaquée (piquée) et l'on n'observe pas de faces originelles des cristaux (Spencer, 1930).

On constate que les PL de Meethiyagoda sont généralement petites et plates, alors que les PL trouvées à l'intérieur des terres sont plus grandes. Harder explique la petite taille des PL de Meethiyagoda par l'action de la tectonique. Il constate que cette pegmatite se situe près de la côte donc près de la limite tectonique de l'île (Harder, 1992).



Séparation des PL des autres matières.

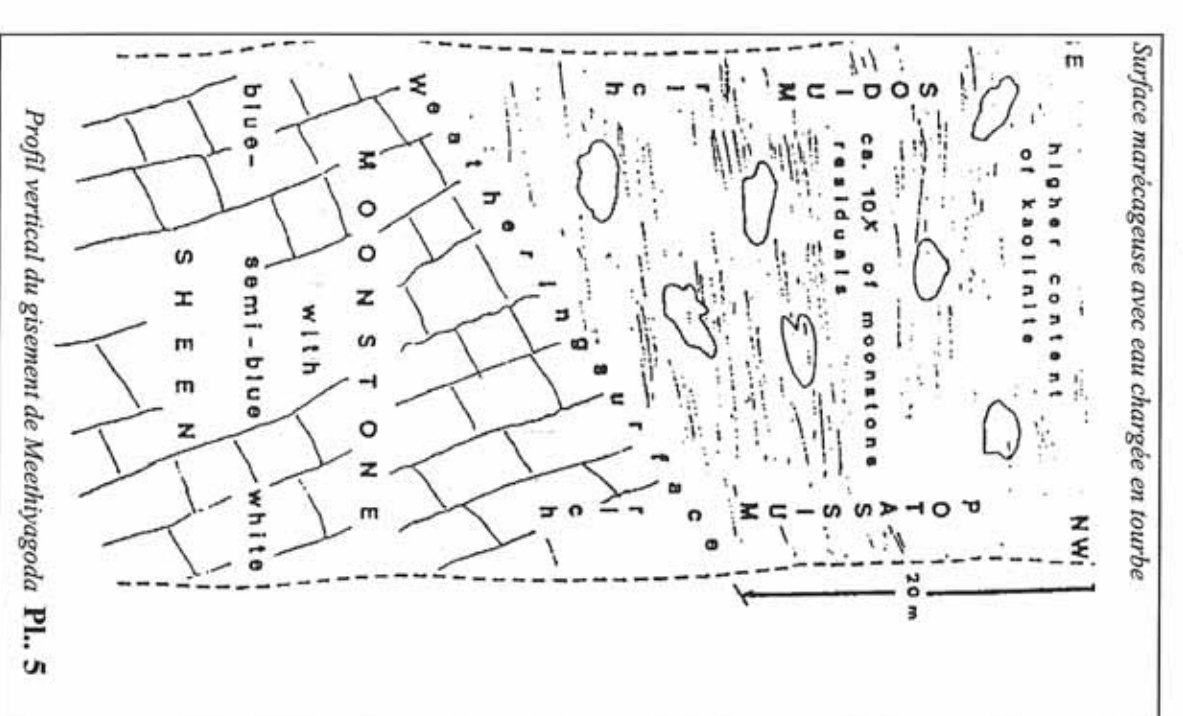
Profil vertical du gisement de Meethiyagoda

Description:

Le gîte se trouve dans un endroit «marécageux». d'altération de la pegmatite, formée de kaolinite⁸ Les PL sont recherchées dans la couche

Les renseignements ci-après proviennent de Harder (1992).

Orientation du profil vertical: SE-NW



Explications du schéma de gauche

agrandi les plans de « brillance » sodium. « restes » de PL. (schiller-plane) de l'orthose riche en "Feldspath altéré en kaolinite avec des L'action de l'eau a

Restes de Feldspath

tectonique". "Feldspath avec des clivages dus à la

avec quelques quartz, biotites, etc... Pegmatite inaltérée, Feldspath « durs »

de Meethiyagoda sont le résultat de dimensions et la forme aplatie des PL mailles étroites. a causé des réseaux de fractures à Harder explique que les petites l'action probable de la tectonique qui

⁸ kaolinite : roche formée à la suite d'infiltration des eaux dans le feldspath.
9 Voir complément d'information n. 84

Voir complément d'information p 84.

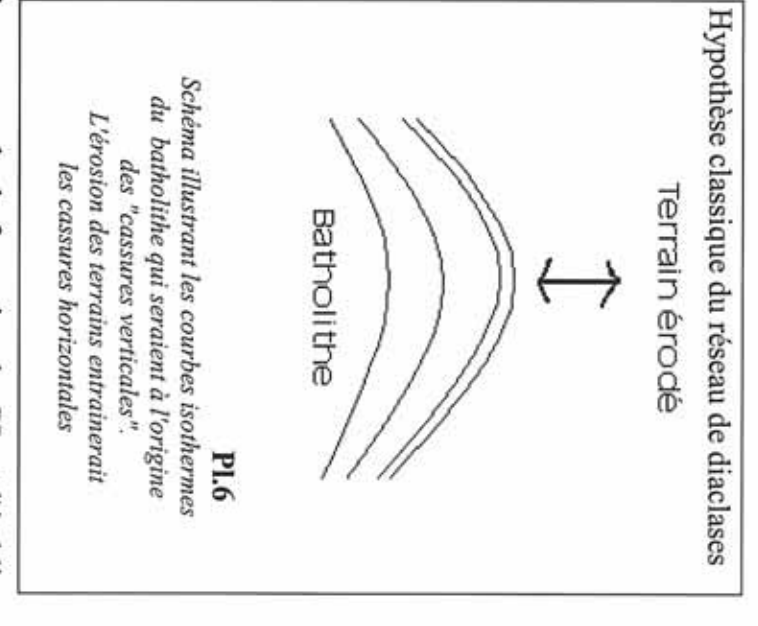
en réseau de diaclase. refroidissement du batholite et les "cassures horizontales" seraient dues à la décompression envisager l'hypothèse classique où les "cassures verticales" seraient dues à un Pour expliquer la fragmentation des roches du schéma précédant, on pourrait également

naissances à des cristaux « géants » de quelques centimètres pouvant même atteindre plusieurs mètres. En effet, les pegmatites font partie des roches ignées intrusives profondes. Elles donnent geologique. La grandeur de ces cristaux est due à un refroidissement lent à l'échelle

En surface, la couverture puis la pegmatite sont soumises à l'érosion. Avec le temps, cette érosion fera progressivement diminuer la température et la pression auxquels la pegmatite est soumise.

L'érosion progressive entraîne une décompression. Les lignes de pression sont perpendiculaires aux lignes de décompression (plus ou moins parallèles au plan horizontal) alors que la pegmatite est fracturée verticalement (perpendiculairement aux courbes isothermes).

Dans le chapitre traitant de la composition chimique des PL de Meethiyagoda, on constate que celles-ci varient suivant une composition chimique "étroite" (voir p 30).

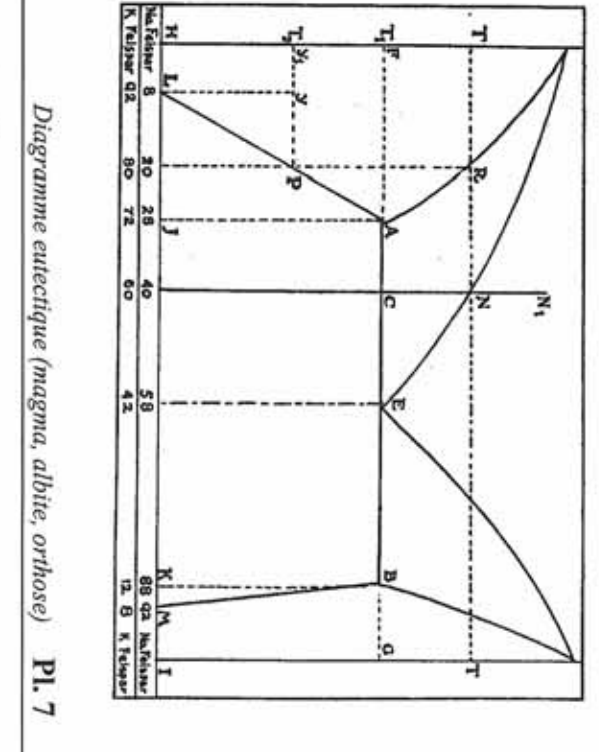


une relation entre la Les diagrammes de Vogt et Warren permettent de comprendre la formation des PL et d'établir

composition chimique de la pegmatite et celle de la PL. Considérons le refroidissement du magma de composition "N₁" (40% feld. Na et 60% feld. K).

Lorsque la courbe d'équilibre solide-liquide est atteinte au point N, celle-ci correspond à la température T.

Les cristaux de composition R vont commencer à se séparer. Progressivement,



¹⁰ phénomène similaire observé dans les orgues basaltiques.

mélange se solidifiera suivant les 2 compositions : A et B. refroidissement la composition du magma se déplace suivant la courbe NE, tandis que la composition des cristaux se déplace suivant la courbe RA. A la température T1, la ceci laissera un magma plus riche en sodium qu'initialement. Au fur et à mesure du composition du magma à atteint le point eutectique (c.-à-d. le point de fusion le plus bas). Le

sodium y est présent en plus petite quantité. sodiques que ceux formés ultérieurement. Leur résistance à l'hydrolyse est plus grande car le Les premiers feldspaths formés à partir du magma contiendraient moins de composants

proportions ou les cristaux montrent une forme propre). Cette série a une composition qui peut varier entre RA. Les PL possèdent une série "idiomorphique" limitée (c.-à-d. une série limitée à certaines

peuvent être pris en considération (Spencer, 1930). insolubilité du quartz avec les composants des feldspaths fait que ces diagrammes binaires leucite et silice. Le quartz apparaîtrait donc comme troisième composant. La relative Morey et Brown ont montré par des expériences de fusion que l'orthose se décompose en

<u>Géochronologie</u>

M. J-M Cantagrel à l'Université de Blaise Plascal à Clermont-Ferrand pour datation. Deux échantillons de PL bleu-bleu de Meethiyagoda ont été confiés aux bons soins de

La méthode d'analyse utilisée11 est « 40 Ar / 39 Ar ».

Les mesures ont été effectuées sur 15 mg de PL.

heures sous un flux total de 5.1017 neutrons/cm2. nucléaire situé à Grenoble (au Centre d'Etudes Nucléaires de Grenoble) pendant environ 24 Les échantillons, emballés dans une feuille d'aluminium, ont été irradiés au sein d'un réacteur

isotopes du calcium, du potassium et du chlore. neutrons thermiques par une feuille de cadmium) avec des échantillons standards de sanidine pour tenir compte des interférences liées à des réactions nucléaires parasites sur certains potassium afin de calculer le facteur d'irradiation " J" et d'effectuer les corrections nécessaires du Fish Canyon tuff, d'hornblende de Cape Longue et des sels purs de calcium et de Ils ont été irradiés conjointement (dans une même capsule de quartz, protégés de l'action des

spectromètre de masse VG3600. Les courants d'ions correspondant aux différents isotor l'argon (³⁶Ar, ³⁷Ar, ³⁸Ar, ³⁹Ar et ⁴⁰Ar) ont été mesurés soit sur une cage de Faraday (sensibilité de 10⁻¹⁵ mole/mv) soit sur un photomultiplicateur (sensibilité environ 3.10⁻¹⁷ 20-25 minutes à des températures croissantes entre 500 et 1400°C, ont été analysés avec un Après purification (piège à froid et getters Al-Zr), les gaz extraits en 8 à 10 paliers de Les courants d'ions correspondant aux différents isotopes de

Le tableau analytique résume les principaux résultats calculés et retenus

erreur voisine de 2 à 5%. qui représente 75 à 80% de l'argon extrait des échantillons sont en général affectés d'une Les âges plateau correspondant à la moyenne pondérée de x paliers de température successifs

chlore de l'échantillon. L'analyse des isotopes 37 Ar et 38 Ar constitue une lecture indirecte des teneurs en calcium et en

Elle permet de suivre son dégazage progressif au cours de l'analyse et fournit parfois un critère d'évaluation des résultats (diagramme K/Ca-³⁹Ar cumulatif).

correction de l'argon atmosphérique de contamination et de parfois mettre en évidence dans certains minéraux la présence de ⁴⁰Ar dit en excès. Le diagramme isochrone inverse 39Ar / 40Ar - 36Ar / 40Ar permet de tester la validité de la

L'âge de l'échantillon PL1 est estimé à 456 +/-8 Ma L'âge de l'échantillon PL2 est estimé à 445.+/-8 Ma.

(Communication personnellle de M. J-M Cantagrel, 1998).

¹¹ Les trois isotopes du potassium sont le ³⁹K (représentant plus de 93% des isotopes du K), ⁴⁰K, ⁴¹K.
Cette méthode est basée sur le principe de l'irradiation aux neutrons du ³⁹K pour produire de l' ³⁹Ar. L'analyse de l' ³⁹Ar permet de déduire la concentration en ³⁹K et donc celle en ⁴⁰K ((élément radioactif).

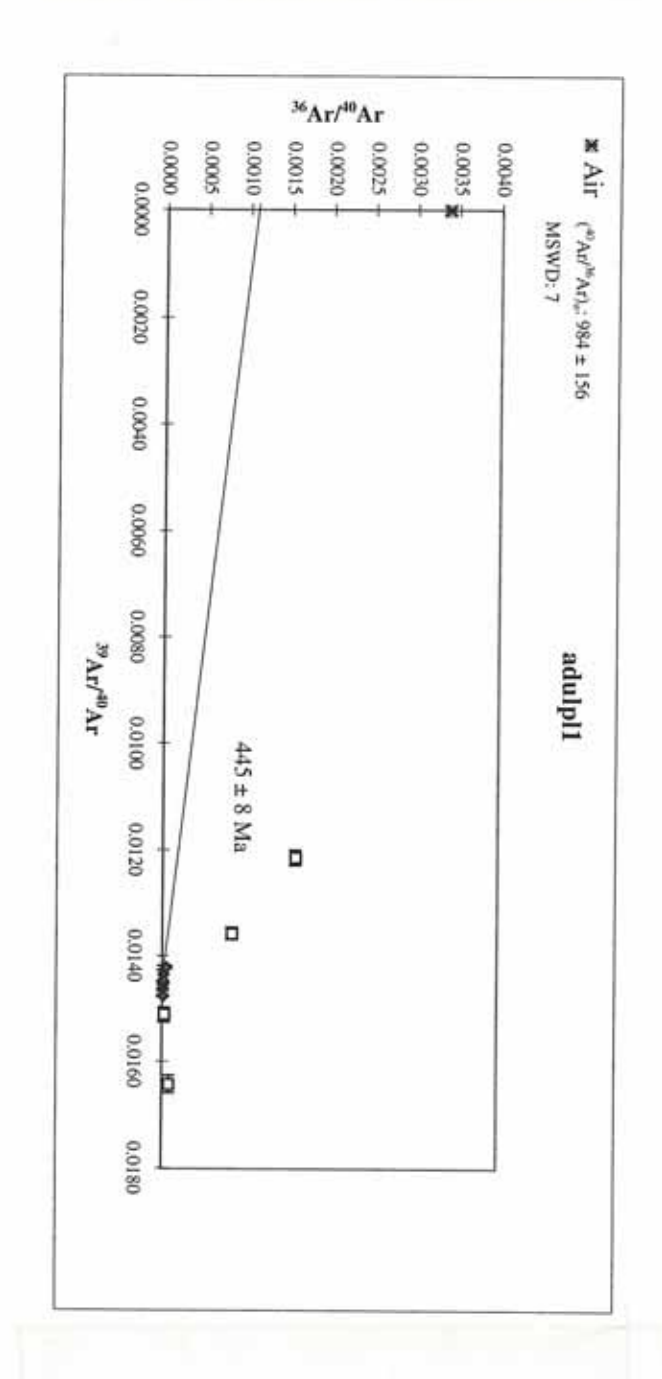
PL1

Tableau analytique

H	/ 39Ar	/ 39Ar		_	39Ar	39 Ar	40 Ar		B48 14 75	Ar 39Ar
700	82.349	0.194	0.216	130.290	0.06	0.07		54.10	54.10 44.55	10 44.
800	73.644	0.013	0.007	61.242	0.23	0.35	- 1	75.84	75.84 55.85	84
900	60.873	0.021	0.005	4.679	1.28	1.96	- 1	97.72	97.72 59.49	59.49 399
950	66.139	0.015	0.000	1.723	1.43	3.75	- 1	99.20	99.20 65.61	4
- 1	69.677	0.013	0.000	1.087	2.21	6.52	- 1	99.50	_	_
1050	67.723	0.012	0.000	0.628	5.42	13.30		99.69	99.69 67.51	69
1100	68.717	0.011	0.000	0.320	6.38	21.28		99.82		.82 68.59 453.
1200	69.109	0.014	0.001	0.421	33.56	63.27		99.78		.78 68.
1400	70.338	0.014	0.001	3.199	29.35	100.00		98.64	98.64 69.38	64

J = 0.00416550

Diagramme isochrone



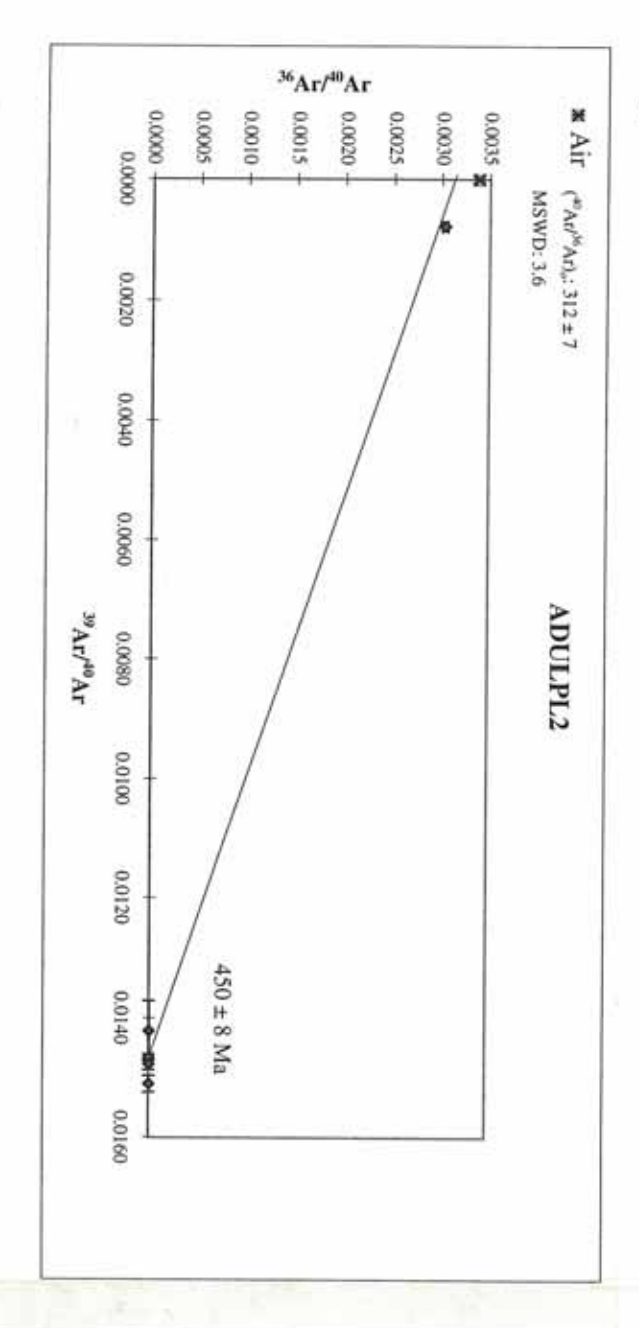
PL2

Tableau analytique

T°			1100	- 1	
/ 39Ar	1278.58	68.238	66.184 0.002	67.662	70.331
38Ar / 39Ar	0.788	0.007	0.002	0.011	0.000
3'Ar / 39Ar			0.000		
³⁶ Ar / ³⁹ Ar	126	0.000	0.000	0.000	0.000
39Ar	10.72		6.60	174.12	
39 Ar	4.63	7.63	10.49 99.95	85.75	100.00
40 Ar	12.17	99.95	99.95	99.95	99.96
/ JSAr	155.64	_	66.15	_	70.30
Age Ma	901.50	451.10	439.04	447.72	463.31
1/- Ma		8.10	8.58	8.33	16.57

J = 0.00416550

Diagramme isochrone



la Prospection

structure. La "vitesse" d'avancement dépend de "l'illam1" "fragile" et humide du sol, des bois et bambous sont placés pour éviter l'éboulement de la Pour rechercher les PL, des puits de 30 à 35 m de profondeur sont creusés. Vu la nature

l'eau du puits. puits, un moteur électrique pour remonter les matériaux enlevés, une pompe pour l'exhaure de Les PL sont extraites à l'aide de moyens qui restent rudimentaires; le creusement à la main de

pegmatite), le coût de l'extraction des PL est largement supérieur étant donné que la roche mère doit être cassée au risque de détruire les PL bleues. inaltérée de la pegmatite. Au-delà de 30 à 35 mètres de profondeur (dans la partie inaltérée de la L'extraction des PL du kaolin de la couche d'altération est plus aisée que dans la partie

ont des densités similaires. Les pierres de lune sont séparées des autres matériaux de visu. centrifuge (de la panne) ne permettent pas de séparer les « graviers » des PL car l'un et l'autre Dans la partie altérée de la pegmatite, des méthodes telle que l'utilisation de la force

C'est ce qui explique que, généralement, le système de "partage" des bénéfices entre mineurs Le Sri Lanka est souvent un pays fort complexe au niveau de son organisation12 et propriétaires est basé sur un calcul proportionnel.

pierres au prix qu'il désire. Pour fixer la part de chacun, on procède de la façon suivante : Pour un des puits, il est établi en huitièmes. Le propriétaire a un droit « absolu » d'achat des

- Le propriétaire du terrain reçoit 2 parts de ce qui est trouvé
- 2 parts pour les 8 ouvriers travaillant dans le puits,
- (souvent le propriétaire du terrain est également propriétaire du moteur), - Le propriétaire du moteur utilisé pour enlever l'eau du puits se voit rétribuer 2 parts
- La personne qui trouve la gemme reçoit 1 part,
- 1 part est également attribuée à l'ensemble des participants

pierre disparaissent car celle-ci représente pour lui plusieurs années de labeur... taillées. Il n'est pas rare que lorsqu'une pierre exceptionnelle est trouvée, le mineur et sa Les "mineurs" sont isolés et connaissent mal les prix pratiqués lorsque les pierres sont

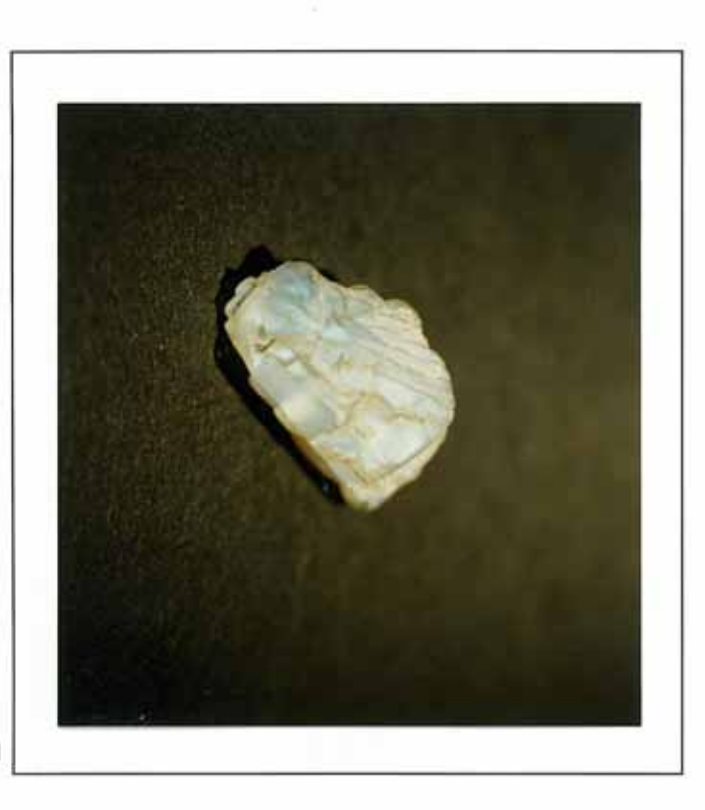
mot utilisé par les indigènes pour décrire le niveau ou les gemmes sont trouvées.

divisions ethniques (Sinhalais, Tamils, Moor, Bourgs, Malais...). 12 Système de castes sociales, différentes religions (Bouddhiste, Indouiste, Musulman, Bahai, Chrétien),

III^{eme} partie

Aspect Minéralogique

Description Morphologie Classification minéralogique Structure Composition chimique



Pierre de lune brute de Meethiyagoda

Description

Faces cristallines :

n'observe pas de faces originelles des cristaux. Les cristaux d'orthose sont habituellement de Pratiquement tous les bruts trouvés à Meethiyagoda ont leur surface attaquée (piquée) et l'on forme tabulaire. Les cristaux d'orthose sont composés² de (K, Na)Al Si₃O₈ (Spencer, 1930).

Macles:

Spencer indique dans son étude de septembre 1930 qu'il trouva 2 ou 3 macles de Baveno³

Bon clivage (à l'éclat vitreux) parallèle à (001).

Clivage plus difficile en (010).

démixtion des perthites Spencer constate que les PL bleues clivent moins bien que les PL blanches ou bleu-blanc Le plan de clivage des PL bleues est légèrement irrégulier (ondulé) effet probable de la

inclusions:

aucune inclusion en forme de "cigare" n'a été observée. creuses (Spencer, 1930). Lors de mes observations sur les inclusions (de 120 échantillons de PL), solution colorée, Spencer conclut que les inclusions en forme de « cigare » sont des cavités plan cristallographique (100). Clivant, récoltant des fragments et les faisant bouillir dans une elles s'effilent suivant une direction oblique. La partie plate de l'inclusion est souvent dans le « branches » ou « craquelures » de part et d'autre de l'inclusion suivant l'axe B après quoi chaque cas parallèle à l'axe C du feldspath. Les « lames » comprennent de nombreuses forme de « cigares » et il constate également que l'axe le plus long de l'inclusion est dans Les inclusions observées par Spencer sont décrites comme des « lames⁴ » et des cavités en

Luminescence:

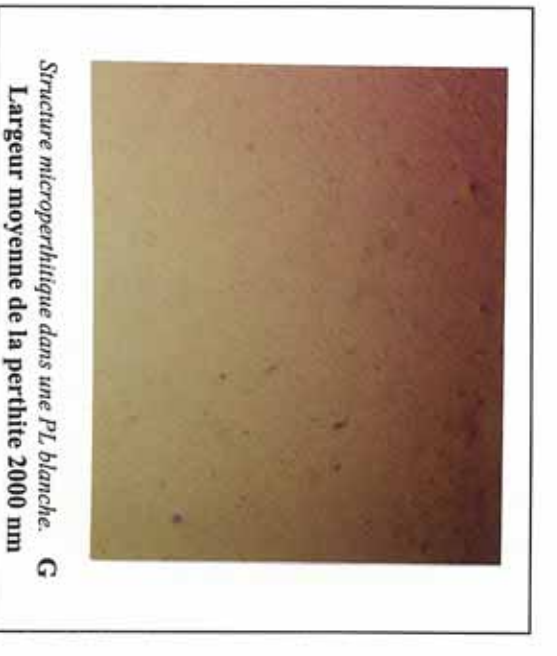
Aux U.V longs, les PL de Meethiyagoda présentent une fluorescence faible dans les tons

rose-violet5 Aux U.V courts, les PL de Meethiyagoda présentent une fluorescence dans des tons

Analyse microscopique :

Spencer constate que les variétés blanches de PL montrent une structure microperthitique fine et régulière. Cette structure peut être observée en lumière ordinaire dans (010). La structure microperthitique est visible dans les PL « nacrée » blanche.

Cette structure perthitique résulte de la séparation d'un cristal homogène mixte stable à haute température en deux phases pas très différentes en composition à une température légèrement inférieure au point de cristallisation.



explication p 13 et p 80.

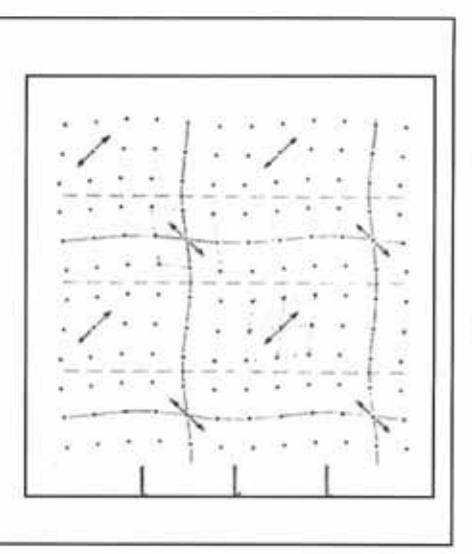
² voir page 29

³ schéma page 78

p 57 photo O

⁵ voir p 40

Morphologie



Distorsions dans la structure des adulaires

Les renseignements relatifs à la morphologie des PL proviennent de Ribbe P et al. (1983).

Schéma suivant Mac Connel montrant des distorsions (en forme de vague) dans des adulaires.

Les points représentent les positions du réseau. Les flèches montrent les deux distorsions Les traits verticaux montrent la direction parallèle au plan (010).

distances de 10 à 100 nanomètres. En 1963, Ribbe et Fleet montrèrent que les PL provenant de Ceylan ont une structure lamellaire proche avec des liaisons presque planes. Ces lamelles sont séparées par des (Ribbe P. et al, 1983).

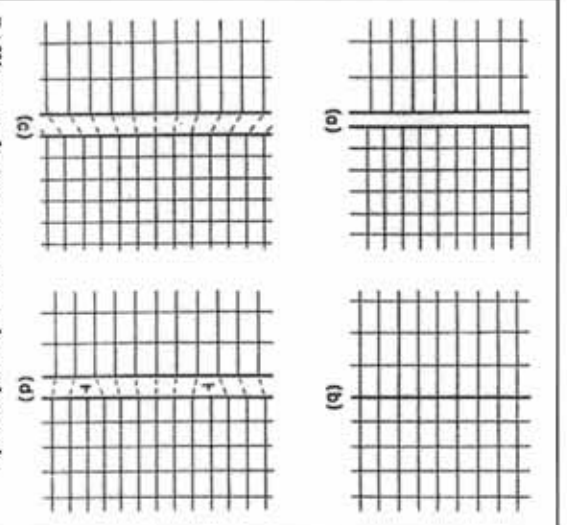


Détail schématisé de la forme "presque droite" de la structure cryptoperthitique d'une PL bleu (échantillon N°1)

L'observation au MET pour les PL bleu-bleu montre effectivement un affinement le long de certains domaines leur conférant ainsi des formes d'aiguille "presque droite".

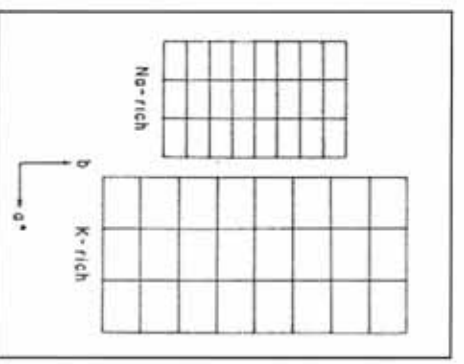
Les renseignements suivants proviennent de RibbeP. Et al. (1983):

- liaisons cohérentes
- liaisons semi-cohérentes
- liaisons non cohérentes
- Dans le schéma (a), il y a coexistence de deux réseaux de « mailles » différentes dus à la différence des compositions. Lorsque ces deux réseaux sont rassemblés, ils forment un assemblage non cohérent car l'importance des distorsions empêche l'accolement. Il n'y a pas de continuité dans les plans des liaisons Les paramètres de chacun des réseau ont des valeurs fort différents.



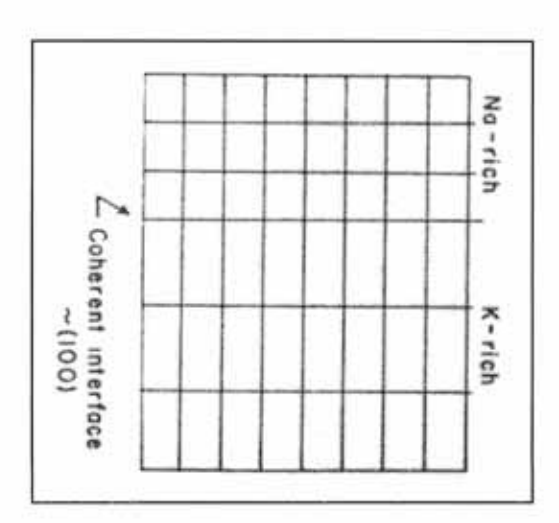
Différentes liaisons pouvant être observées dans les perthites.

- perthite sont petites. Cette situation n'existe pas dans la plupart des cryptoperthites car cellesplan horizontal est continu à travers l'interface. Les cryptoperthites se présentent en très tensions seront homogènes. Les deux réseaux forment une liaison cohérente. Le réseau de - Pour le schéma (b), les deux réseaux s e rejoignent avec une "correspondance" parfaite et les ci ont une structure lamellaire, être envisagé lorsque les lamelles sont partiellement libres ou lorsque les dimensions de la celui de droite «étiré» afin d'avoir des conditions d'adhérence parfaite. Le réseau de plans horizontaux à gauche de l'interface doit être élastiquement compressé et conditions pour la cohérence entre ces lamelles nécessitent un ajustement des 2 structures. entre les deux réseaux que les deux réseaux ne peuvent être reliés ensemble. Ce cas pourrait plans horizontaux sera un compromis entre les deux réseaux dans leur état «non-contraint». fines lamelles pour lesquelles l'épaisseur est fine comparée aux autres dimensions. Les En (c), la cohérence est impossible. Les paramètres de chacun des réseaux sont différents L'espacement des
- comme indiqué sur le schéma. Les tensions sont inhomogènes comparées à la figure b. sont inhomogènes dans les interfaces. Il y a plus de plans horizontaux du côté droit de l'interface qu'à gauche. Le schéma (d) représente des liaisons semi-cohérentes (présence de dislocations). A chacun de ces plans additionnels correspond à une « dislocation » (Ribbe P. et al, 1983) Les tensions



La représentation à gauche montre des réseaux sans tension. Le schéma de droite montre un réseau en lamelles parallèles à (100).

(Ribbe P. et al., 1983).



de 1% alors que dans la direction de a, cette différence est de 5% Pour l'interface dans les directions b et c entre l'orthose et l'albite, il y a une petite différence

(Smith J., 1974)	γ=90°	β=116.0° γ=90°	α= 90°	élémentaire d'orthose
nomètre	c=0.718 na	a=0.860 b=1.303 c=0.718 nanomèt	a=0.860	Dimension de la maille
(Smith J., 1974)	° 7=90.3°	s° β=116.4° γ=90.3°	α= 93.5°	élémentaire d'albite
omètre	c=0.71 nan	a=0.81 b=1.28 c=0.71 nanomètro	a=0.81	Dimension de la maille

sont minimum dans des plans d'adhérence plans b et c) Donc lorsque les lamelles d'albite ou d'orthose sont parallèles au plan (100) (qui comprend les Les lamelles auront tendances à chercher une orientation pour laquelle les tensions élastiques lamelles sont parallèles au plan (010) ou autres plans presque parallèles à l'axe a. les tensions indispensables pour la cohésion seront moins importantes que si les (Ribbe P. et al., 1983) .

assification Minéralogique

température, leur énergie thermique leur permet d'incorporer des ions potassium ou sodium cristalliser dans ces deux variétés de feldspaths. Lorsque les minéraux se forment à haute zone d'instabilité de la solution solide des cristaux d'orthose et des cristaux d'albite. ioniques (Comm. Pers., Pr Overleau, 1996). (de taille très différente), ce n'est plus le cas à température ordinaire ou lors de substitutions C'est lors du refroidissement des roches que le sodium et le potassium vont "migrer" pour Les PL proviennent « d'un mélange » dû à la démixtion par baisse de température dans la

déplacer à travers la structure pour former des "domaines" (de petites régions) de feldspath de sodium à la place d'ions potassium. sodium (albite). ajustement des Na⁺ à la place des K⁺ fait apparaître des tensions forçant le sodium à se L'orthose (PL) est formée à haute température et tolère une quantité considérable d'ions Lorsqu'une telle orthose se refroidit, le mauvais

Ce phénomène est connu sous le nom d'exsolution et est responsable de l'adularescence dans Cette structure particulière définit les perthites (Hurlbut C. et al., 1991)

l'aluminium entraîne peu de changement dans la structure du cristal mais oblige à une compensation de valence' composée de tétraèdres de AlO₄ et SiO₄ reliés entre-eux. Ces tétraèdres possèdent des Les feldspaths sont décrits comme des alumino-silicates dont la structure cristalline est « cavités irrégulières » qui comportent un cation. Le remplacement des ions silicium par

de calcium entraîne un changement de la structure (Raman, 1950) Par contre, le remplacement d'un ion potassium par un ion plus petit de sodium ou par un ion

L'ADULARESCENCE est due à la diffusion de la lumière entrant dans la gemme sur de fines lamelles produites par l'exsolution (Hurlbut C. et al., 1991)

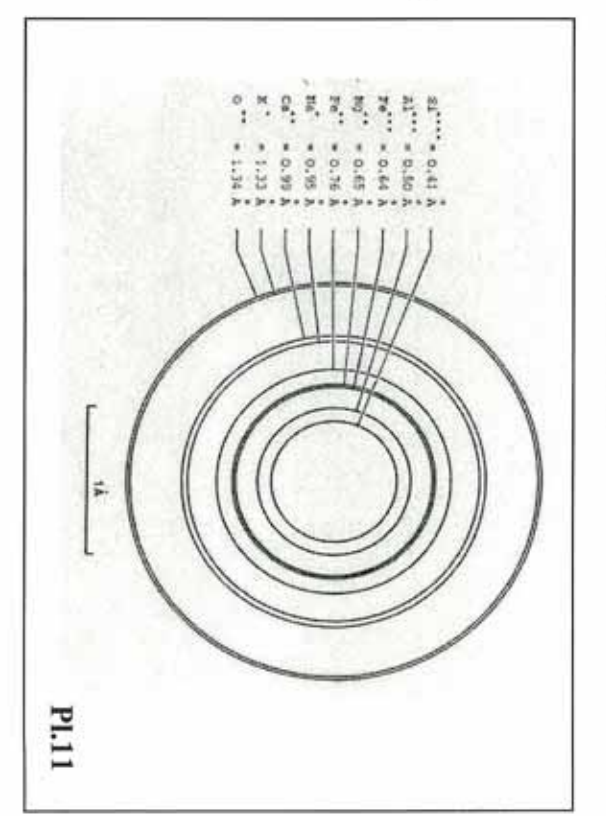
Les pierres de lune sont classées comme une variété d'orthose

Albite NaAlSi₃O₈
Orthose KAlSi₃O₈
Anorthite CaAl₂Si₂O₈
Triclinique

(Une différence majeure entre les ions de sodium et les ions potassium réside dans la dimension des cations. (+/- 30 %)). Cette forte différence des rayons ioniques permet de comprendre « la déformation du réseau ».

Rayon ionique du Al⁺³: 0.50 Angström Rayon ionique du Si⁺⁴: 0.41 Angström Rayon ionique du Na⁺: 0.95 Angström Rayon ionique du K⁺: 1.33 Angström Rayon ionique du Ca⁺²: 1.34 Angström

Triclinique Monoclinique



¹Si ⁺⁴ et Al ⁺³, Si₄O₈......Al Si₃O₈(K,Na)

A haute température, l'albite (sl²) et l'orthose (sl) forment une solution solide

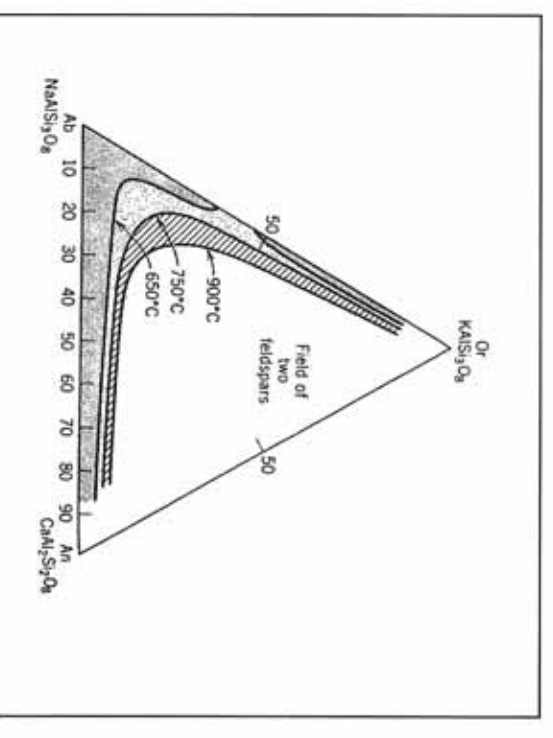
(ss). refroidissement est plus lent, elle peut se transformer en orthose (ss), ou encore en microcline Lors du refroidissement du magma, la sanidine (ss³) peut rester sanidine (ss) ou si le

phénomènes optiques...). Ce changement de structure entraîne des transformations (ordre, désordre, macles,

minéraux (Dana's, 1997) Le temps de refroidissement joue également un rôle important lors de la formation des

les unes des autres. Durant l'abaissement elles s'influenceront entre-elles. de température (lors de leur formation) Ces phases ne sont pas indépendantes

La plupart des pierres de lune consistent en de la sanidine⁴ (ss) sous forme cryptoperthitique (Dana's, 1997.)



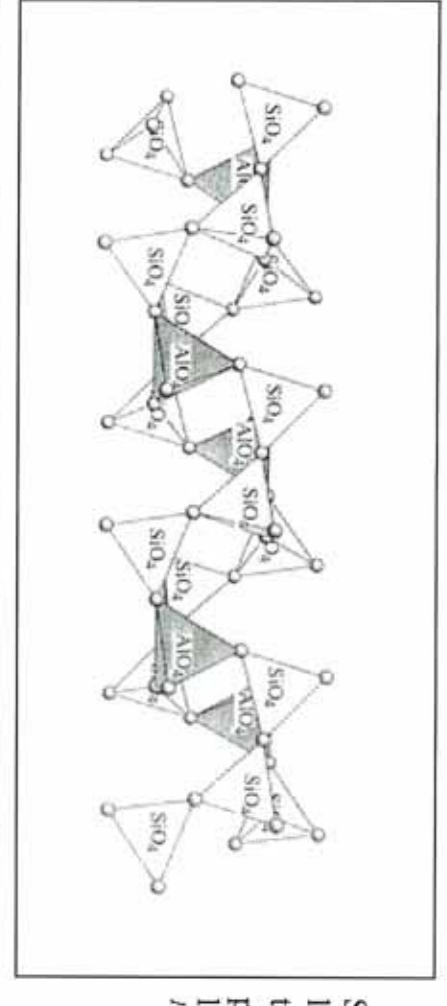
Pourcentage moléculaire déterminé Pl.12 feldspaths à la pression de 1000 bars. (Ribbe, 1975) expérimentalement dans les solutions solides des

² sl : sens large 3 ss :sens strict

La littérature distingue des modifications dans la structure de la sanidine formée à haute et à basse température.

Structure

(Présence d'une double chaîne de tétraèdres dans la direction a) En 1933, Taylor détermina la structure de la sanidine : KAlSi₃O₈.

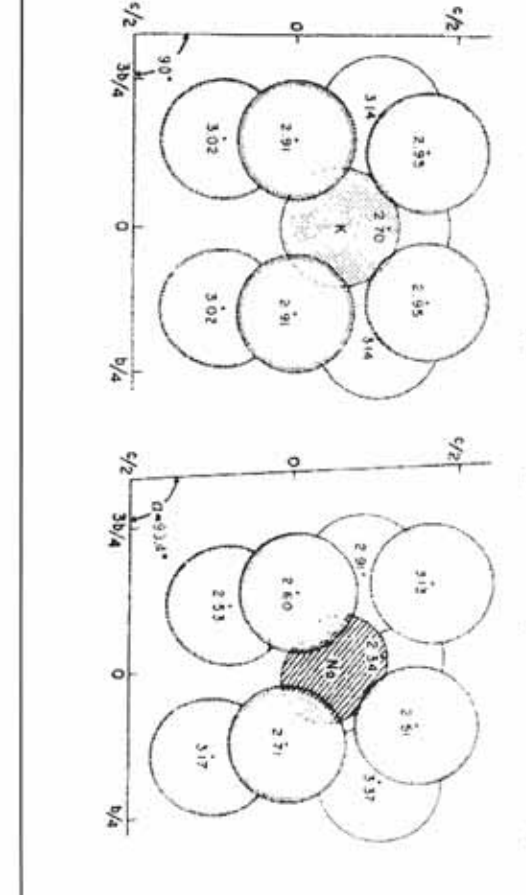


Structure de l'albite-basse température parallèlement à l'axe a (Dana's, 1997).

La distance qui sépare les Si-O dans SiO₄ varie entre 0.161 et 0.164 nm. (Smith, 1974)

Yund R. et Tullis J.
mentionnent dans le
« Feldspar
Mineralogy » que pour
les feldspaths alcalins, la
structure tétraédrique
reste inchangée mais des
ajustements des
longueurs des liaisons
et des angles sont dûs
aux différences entre le
sodium et le potassium
(Ribbe P. et al., 1983).

(dans l'analbite) ou entre l'oxygène et le potassium (dans la sanidine). Représentation schématisant les liaisons entre l'oxygène et le sodium



d'albite et un petit pourcentage d'anorthite (Raman, 1950). Les PL de Ceylan consistent principalement en orthose mais comprennent une proportion

suit: En 1930, Spencer analysa chimiquement 4 échantillons de Meethiyagoda qu'il décrit comme

A : échantillon avec une chatoyance blanche soyeuse,
 B : échantillon avec une chatoyance nacrée blanche,

C: échantillon avec une chatoyance bleu ciel,

D : échantillon de chatoyance bleue.

Quant à Harder (1992):

H1 : adularescence semi-blue

La composition de ces échantillons fut analysée avec pour résultat les pourcentages suivants :

TOTAL : 100.35	K20	Rb ₂ O	Sro	BaO	Pbo	Mno	Cr2O3	Ga ₂ O ₃	TiO2	FeO	à 950°C	Perte au feu00.20	09.80	04.61	00.55		Fe ₂ O ₃ 00.20		SiO2 65.42	Þ
3 1 3 1 3 1 3 1 3 1 3 1 3 1 3 1 3 1 3 1												00.20	10.02	04.48	00.50	00.15	00.05	19.62	65.21	В
0 1 0 1												00.22	10.65	04.07	00.55	00.10	trace	19.57	64.73	C
0 1												00.25	10.65	03.90	00.60	00.10	trace	19.66	64.86	b
0 1 0 1 0 0 1 0 0 0 0 0 0 0 0 0 0 0 0 0	0.16	0.30	0.02	0.004	0.02	0.01-0.036	0.02-0.0035	0.002	0.004	0.02		0.16	10.1	3.70	0.30	<0.00	00.007	18.8	66.2	HI

Tableau II-A

	Т-В	Sableau II-B	T		
100	100.81 99.58	100.81	100.54	100.44	TOTAL
	-	-			
02	.41	03.21 03.41		et magnesie 03.31	Feldp Chaux
35	2.97	34.40 3:	37.87	38.97	Feldp Na
63	3.20	53.20 6		58.16	Feldp. K
2323	10	2.5775	5	2.579	Densité
H1	D	С	В	Α	100

⁵ élément en trace ⁶ élément en trace

Rapport entre feldspath de sodium par rapport feldspath total:

40 38.5 35.2 34.3 **Tableau II-C**

35.7 %

Analyse ponctuelle sur le microscope électronique à balayage Jeol 35 d'une PL bleu-bleu transparente. (dénomination des couleurs de PL voir p

l échantillon a été observé dans les conditions suivantes :

- haute tension de 20 kV dans le vide.
- Agrandissement 500 x
- Température ambiante : 19°C

0 4						ement
6.96	0.10	8.01	1.01	9.88	3.36	El. Wt %
47.28	00.11	08.06	31.22	09.95	03.38	Norm wt %
0.00	0.06	0.35	0.63	0.36	0.36	Prec.
61.67	00.05	04.30	23.20	07.70	03.07	Atomic %
00.00	00.14	09.65	66.34	18.67	04.53	Oxide %
	96 47.28 0.00 61.67	00.10 00.11 0.06 00.05 46.96 47.28 0.00 61.67	08.01 08.06 0.35 04.30 00.10 00.11 0.06 00.05 46.96 47.28 0.00 61.67	31.01 31.22 0.63 23.20 08.01 08.06 0.35 04.30 00.10 00.11 0.06 00.05 46.96 47.28 0.00 61.67	09.88 09.95 0.36 07.70 31.01 31.22 0.63 23.20 08.01 08.06 0.35 04.30 00.10 00.11 0.06 00.05 46.96 47.28 0.00 61.67	03.36 03.38 0.36 03.07 04 09.88 09.95 0.36 07.70 18 31.01 31.22 0.63 23.20 66 08.01 08.06 0.35 04.30 09 00.10 00.11 0.06 00.05 00 46.96 47.28 0.00 61.67 00

Tableau II-D

le résultat suivant : La transformation des % des oxydes en pourcentage des feldspaths pour cet échantillon donne

Feldspath sodique : 42 %

Feldspath potassique: 58 %

Toutefois, Spencer insiste sur l'étroite fourchette des compositions chimiques des PL de Meethiyagoda:

30 à 40 % de feldspath sodique 70 à 60 % de feldspath potassique

spéciale due à la décomposition de la pegmatite, de laquelle l'albite a été enlevée par dissolution et kaolinisation (Spencer, 1930). Il explique que ces feldspaths « potasso-sodiques » sont probablement le reste d'une forme

suivante: En effet, une **pegmatite** ayant le même assemblage minéral que celui du gisement de PL de Meethiyagoda se situant à plus ou moins **400 m au nord du gisement** a la composition

sont les mêmes que ceux de la pegmatite située au Nord du gisement. Les pourcentages de feldspaths de l'échantillon testé sur Jeol35 d'une pierre de lune bleu-bleu

feldspaths sodiques (Smith, 1974). l'érosion. Il démontre que les feldspaths potassiques sont plus résistants à l'érosion que les En 1961, Correns confirme cette hypothèse à la suite d'expérience chimique stimulant

IVeme partie

Aspects physiques

Spectrométrie Spectroscopie Raman MET (microscope électronique à transmission) MEB (microscope électronique à balayage) Phénomène d'adularescence Diffusion de la lumière Traitement Thermique Luminescence Diffraction électronique Imagerie *Imagerie*

Diffusion de la couleur

Feynman qui introduit la notion de section efficace de diffusion. ensuite fut mise en équation par Lord Rayleigh. Ces équations furent reprises et affinées par La diffusion de la lumière dans des milieux fut étudiée expérimentalement par Tyndall et

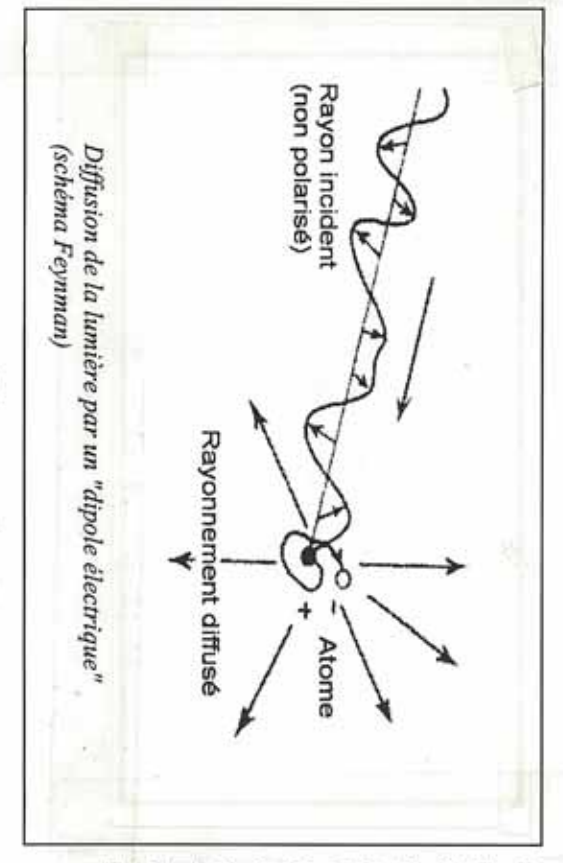
une direction donnée, l'effet étudié pour un atome est multiplié par le nombre d'atomes diffusées pour chaque atome. Ainsi pour trouver la quantité de lumière qui est diffusée dans toujours (un peu) de lumière. Cette diffusion est due aux irrégularités locales de densité donnent statistiquement un résultat nul. L'expérience montre que tous les cristaux diffusent molécules sont disposés régulièrement aux nœuds d'un réseau cristallin. Cette disposition fait électrons négatifs de la couche extérieure. L'intensité totale dans n'importe quelle direction est la somme des intensités qui sont que les nombreux vecteurs électriques associés aux rayons lumineux varient sans cesse et Théoriquement, les cristaux parfaits ne diffusent pas de lumière car les atomes, ions, L'atome agit comme un dipole électrique formé d'un noyau positif autour duquel gravitent les

est formulée selon Feynman: La section efficace de diffusion (qui est une surface imaginaire découpée dans l'espace)

$$\sigma_{d} = 8\pi r_{0}^{2} \varpi^{4} / 3 (\varpi^{2} - \varpi_{0}^{2})^{2}$$

ou ϖ_0 est la fréquence d'oscillation de l'électron autour du noyau

σ est la fréquence de la lumière incidente



Feynman explique que dans un corps les fréquences des oscillateurs (les atomes) sont beaucoup plus élevées que les fréquences de la lumière. Ce qui signifie que & peut être négligé au dénominateur et que la diffusion est bien proportionnelle à la quatrième puissance de la fréquence de la lumière.

- $\varpi >> \varpi_0$ alors $\sigma_d = Cte$
- $\varpi \ll \varpi_0$ alors $\sigma_d = \text{varie en fonction de } \varpi^4$

dams le violet que dans le rouge. Ceci permet de comprendre que la proportion de lumière diffusée est beaucoup plus grande

rouge on obtient: En effet, en calculant le rapport des sections efficaces pour la lumière bleue et pour la lumière

$$\sigma_{d \text{ (bleu)}} / \sigma_{d \text{ (rouge)}} = (\varpi \text{ bleu})^4 / (\varpi \text{ rouge})^4 = \text{Cte} \cdot (\lambda \text{ rouge})^4 / (\lambda \text{ bleu})^4$$

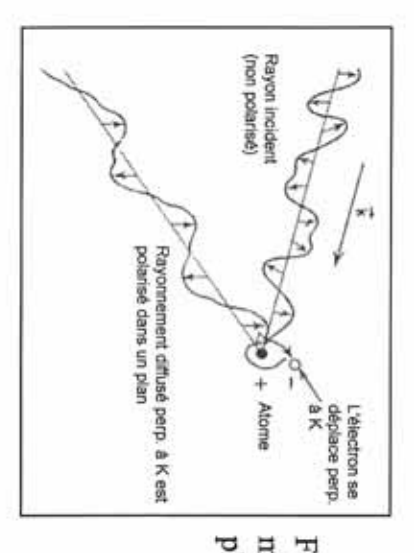
pour une longueur d'onde = 700 nanomètres On constate donc que le coefficient $1/\lambda^4$ est 9 fois plus grand pour $\lambda = 400$ nanomètres que

dimension d'une longueur d'onde visible. obtient de plus en plus de diffusion jusqu'au moment ou une telle goutte a à peu près la diffusent le bleu. Lorsque la dimension des diffuseurs (des gouttes d'eau) est augmentée, on Feynman explique que nous pouvons observer le ciel bleu car des molécules d'eau et de gaz y

que pour l'extrémité bleue lorsque les gouttes sont toutes plus grandes que la longueur grandes longueurs d'ondes, l'augmentation est plus grande pour l'extrémité rouge du spectre plus grande avant que sa limite ne soit atteinte, elle ne peut plus diffuser de petites longueurs Progressivement, le bleu disparaît pour de grandes longueurs d'onde. La goutte d'eau devient d'onde. (Bien que par atome, les courtes longueurs d'onde diffusent d'avantage que les

solution devient plus intense et finalement devient blanchâtre lorsque la taille des particules de teinte bleuâtre. Lorsqu'ils précipitent davantage, la taille des particules augmente et la Au début de la manipulation les grains sont très petits et l'on peut observer que la solution est avec de l'acide sulfurique, il fait précipiter des grains de soufre extrêmement fins qui augmentent progressivement en taille. A partir d'une solution d'hyposulfite de sodium Feynman illustre cette explication par l'expérience où il «fabrique » des particules très petites augmente.

La lumière qui traverse la solution perd sa composante bleue



Feynman note également que la lumière qui sort d'un milieu qui diffuse ne vibre plus que parallèlement à un plan et est donc polarisée.

Phénomène d' ILARESCENCE et de la

diffusion de la lumière

- . Brogger (1890) est le premier à établir une relation entre l'adularescence des feldspaths alcalins avec leur structure microperthitique.
- l'adularescence est due à un double arrangement de plans (de feldspath potasso-sodique). Par des analyses aux rayons X, Kôzu constata qu'après chauffage des PL, celles-ci perdaient de leur adularescence et que le point double de la figure de diffraction de Laue devenait un point simple. Par ces expériences Kôzu et Endô conclurent que
- l'axe Y (approximativement (601)). micro et des crypto-perthites est responsable de l'adularescence. Dans The Rock-Forming Minerals (Deer et al., 1993), il est indiqué que la croissance des qui prennent place dans des plans biens précis du cristal. (Ces plans sont presque // à le feldspath potassique et le feldspath sodique se fait sous forme de lentilles irrégulières La « ségrégation » entre

Gothard ne présentent pas de double point de Laue et ne montrent pas d'adularescence. Spencer (1930) indique dans le Mineralogical Magazine que les PL trouvées au St

Dans le "Current Science" d'avril 1951, Raman explique une technique adoptée pour observer les différences de l'adularescence et de la diffusion de la lumière dans différentes directions dans des échantillons de PL.

mot diffusion (scattering en anglais). définition du mot ADULARESCENCE (schiller en allemand) est souvent confondue avec le Lorsque l'on consulte différents ouvrages traitant de gemmologie, on constate que la

Il est important d'insister sur la différence de ces définitions.

adulaire!). Quand la lumière pénètre dans le cristal, celui-ci montre le long de certains plans (mais pas dans les adulaires alors que le phénomène optique a son origine dans le mot L'adularescence est un phénomène optique que l'on peut observer dans les pierres de lune lumière sur de fines inclusions plates arrangées parallèlement (Mac Lintock, 1983) cristallographiques un jeu de lumière. Ce jeu de lumière (schiller) est dû à la réflexion de la

Cette définition ne spécifie pas de couleur particulière.

structure ne permet pas de diffuser la lumière bleue (voir page 35). Les PL translucides taillées en cabochon présentent une adularescence "nacrée". (Leur

blanche.. 1 Certains cabochons de PL ne montrent pas de chatoyance bleutée mais des reflets "nacrés" de couleur jaune.

Lorsque ces cabochons sont retaillés en lames à côtés parallèles, ceux-ci montrent un effet moins apparent d'adularescence.

différentes directions dans des échantillons de PL, Raman travailla de la façon suivante : Pour observer les différences d'intensité d'adularescence et de la diffusion de la lumière dans

diffusée dans les différentes directions pouvait alors être observée. immergeant le specimen dans une solution liquide dont l'indice de réfraction était proche de réfraction et de la diffusion sur la surface extérieure de l'échantillon étaient « éliminés » en direction, les caractéristiques de la lumière diffusée étaient étudiées. dans le faisceau ou en altérant l'inclinaison de l'échantillon tout en gardant la même « captée » sur un écran placé près de l'échantillon. La distribution de l'intensité de lumière photographié en différents points. l'échantillon (Raman, 1950). l'échantillon était éclairée par un fin faisceau lumineux, la radiation diffusée était alors L'échantillon était éclairé par un faisceau lumineux pour ensuite être observé et Pour des raisons pratiques, une petite partie de En déplaçant l'échantillon Les effets de la

dans certaines directions sans effet de chatoyance nacrée Les pierres de lune bleues "crystal" quand à elles montrent une diffusion de la couleur bleue

dû à la structure de la matière (microperthite) et est intensifié par la taille de la Nous pouvons donc conclure que l'effet adularescent "nacré" dans les pierres de lune est gemme (cabochon).

Traitements Thermiques

thermique alors que l'adularescence devient moins intense, à des températures entre 700 et diffraction Laue double qui peut se transformer en une seule tâche après un traitement Les travaux de Kôzu mirent en évidence que les PL montrent aux rayons-X une tâche de

arrangement de « mailles de fileb» ou de structure de l'espace (Spencer, 1930) Avec ces éléments, Kôzu en déduit que l'adularescence était le résultat d'un double

des PL de type A et C (voir composition chimique page 29). Spencer (1930) s'appuya sur des expériences réalisées à l'Université de Tokyo pour étudier

Afin de faciliter l'étude de ses échantillons. Spencer introduit la nomenclature suivante :

(or, ab) : structure microperthitique ou criptoperthitique fine et régulière,

(Or, Ab): structure perthitique plus grossière

(or) : fines lamelles d'orthose (microperthite)

(ab) : fines lamelles d'albite (microperthite)

(Or) : « ombre foncée » de la perthite ou du « treillis »

réalisé dans un four électrique : Il indique dans les tableaux ci-dessous les résultats obtenus suite à un traitement thermique

Echantillons chauffés à 850° durant 4 heures, puis refroidis à l'air

Effet observé sur	A (blanche)	C (bleue)
l'ADULARESCENCE	l'adularescence est affaiblie, une	devient plus claire avec une nuance
(or ah)	for ab les interferes	VIOLACCE VIOLACCE
(or, ab)	(or, ab) les interfaces microperthitiques deviennent indistincts à la lumière visible	L'intensité de (or, ab) sous les polariseurs croisés est diminuée.
	ordinaire et restent visibles sous les polariseurs croisés	
(Or, Ab)	La structure (Or, Ab) semble	La structure (Or, Ab) semble moins
	inaltérée par ce traitement	prononcée.
sur l'extinction de (010) relative à la	sur l'extinction de (010) relative à la L'extinction moyenne est réduite de	L'extinction moyenne est réduite de
trace de (001)	10.5° à 9.5°	10.0° à 9.0°
sur la densité	la densité est réduite de 2.579 à	la densité est réduite de 2.5775 à
	2.5670	2.5670

Echantillons chauffés à 980° durant 6 heures, puis refroidis à l'air

Effet observé sur	A (blanche)	C (bleue)
l'ADULARESCENCE	l'adularescence est affaiblie fortement, une nuance bleu-blanc se développe	l'adularescence est fortement affaiblie avec une nuance violacée
(or, ab)	(or, ab) les interfaces microperthitiques devienment invisibles à la lumière ordinaire et restent visibles sous les polariseurs croisés	Structure pratiquement détruite, même lorsqu'elle est observée sous polariseurs croisés.
(Or, Ab)	La structure (Or, Ab) semble être restée inaltérée par ce traitement	La structure (Or, Ab) semble plus prononcée que dans les échantillons qui n'ont pas été chauffés.
sur l'extinction de (010)	L'extinction moyenne est réduite de 11.0° à 8.5°	L'extinction moyenne est réduite de 10.0° à 8.5°
sur la densité	la densité est réduite de 2.579 à 2.5670	la densité est réduite de 2.5775 à 2.5670

Echantillons chauffés à 1050° durant 12 heures, puis refroidis à l'air

Effet observé sur	A (blanche)	C (bleue)
I'ADULARESCENCE	une très fine adularescence bleu- blanc n'est pas restreinte au plan d'adularescence original	l'échantillon devient « glass clear » sans adularescence.
(or, ab)	(or, ab) les interfaces des perthites disparaissent complètement à la lumière ordinaire. Les structures restent visibles sous les polariseurs croisés mais moins finement définis.	Pas d'observation évidente de structure microperthitique (or, ab) Même sous polariseur croisés dans les conditions optimales d'illumination.
(Or, Ab)	La structure (Or, Ab) semble devenir plus proéminente que la structure (or,ab)	La structure (Or, Ab) ne semble pas avoir diminué en intensité.
sur l'extinction de (010)	L'extinction moyenne est réduite de 11.0° à 8.0°	L'extinction moyenne est réduite de 10.0° à 7.5°
sur la densité	la densité est réduite de 2.579 à 2.566	la densité est réduite de 2.5775 à 2.566

Echantillons chauffés à 1120°-1130° durant 12 heures, puis refroidis dans le four électrique

Effet observé sur	A (blanche)	C (bleue)
l'ADULARESCENCE	L'échantillon est devenu opaque suite à une fusion partielle, la forme est partiellement retenue, mais les clivages ont disparu.	« Specimen glass clear »
(or, ab)	Structure microperthitique détruite. Cristallites visibles dans une matrice vitreuse. Structure (or, ab) complèteme détruite, même observée sous polariseur croisés dans les conditions optimales d'illumi	Structure (or, ab) complètement détruite, même observée sous polariseur croisés dans les conditions optimales d'illumination.
(Or, Ab)	La structure (Or, Ab) détruite	La structure (Or, Ab) semble faiblement proéminente sous les polariseurs croisés.
sur l'extinction de (010) relative à la Structure détruite, pas d'extinction trace (001) mesurable.	Structure détruite, pas d'extinction mesurable.	L'extinction moyenne est réduite de 10.0° à 7.0°
sur la densité	Inférieure à 2.566	la densité est réduite de 2.5775 à 2.565

suivantes: D'après les expériences reprises dans les tableaux précédents, Spencer arrive aux conclusions

- L'adularescence et la structure microperthitique peuvent être détruites par traitement thermique. Les premiers changements peuvent être observés entre 500°C et 700°C (Spencer, 1930).

Dans le cas des PL bleues la destruction de l'adularescence et de la structure microperthitique (or, ab) est complète entre 6 et 12 heures à 1050 °C.

Comparaison avant et après traitement thermique d'une PL bleu-bleu.
La moitié g. à été chauffée dans un four à 900°C pendant 4 heures X

- persiste. Dans la plupart des PL blanches et bleu-blanc (or, ab), les interfaces pouvant être observées en lumière ordinaire sont détruites entre 700°C et 900°C. Toutefois, une faible chatoyance
- structure. La durée du traitement thermique est un facteur agissant sur l'adularescence et la
- thermique ne sont pas réversibles par un refroidissement rapide ou lent dans les l'adularescence et sur la microstructure (or, ab). La vitesse de refroidissement sur un échantillon chauffé n'a que peu d'effet sur expériences réalisées en laboratoire. Les changements produits par l'effet
- thermique. Les angles d'extinction en (010) et la densité de ces PL sont réduits par traitement

Expérience personnelle :

Six PL bleues ont été chauffées dans un four à émail pendant 9 heures.

- celles-ci respectivement en PL (bleu, semi-transparente). La diffusion de la lumière bleue Un traitement thermique de 800°C (de 9 heures) appliqué aux PL (bleu-bleu) transforme est moins intense dans les échantillons chauffés. (voir photo X page 38)
- Après refroidissement, certains échantillons chauffés présentaient des fractures internes parallèles.
- Le changement de couleur des PL traitées thermiquement reste stable.

uminescence

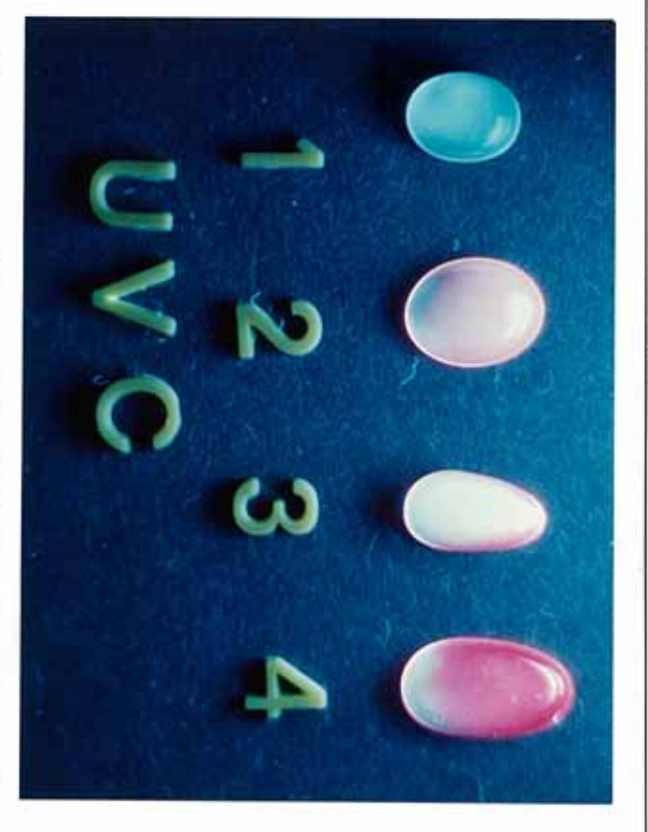
a) La FLUORESCENCE sous les U.V

rose-violet et faiblement dans les tons bleutés sous les U.V longs. Les PL de Meethiyagoda présentent une fluorescence forte sous les U.V courts en couleur

des éléments présents en éléments activateurs sont devenir fluorescentes. Ces d'énergie adéquats pour disposer de niveaux permettant aux PL de d'activateurs Fe⁺³ La fluorescence sous les à la présence rayons U.V courts est due

Le principal élément activateur dans les feldspaths est le Fe⁺³ (Robbins, 1994).

Analyse du fer en trace suivant



Fluorescence aux U.V courts de PL de Meethiyagoda Tableau résumé comparatif p.... (III-B)

Cet échantillon présente une fluorescence bleue aux U.V. courts. L'échantillon N°I est constitué d'un doublet (quartz-PL) L'échantillon fluorescent bleu est un doublet.

Spencer (1930):

A: échantillon avec une chatoyance blanche soyeuse

B: échantillon avec une chatoyance nacrée blanche

- C : échantillon avec une chatoyance bleu ciel
- D : échantillon de chatoyance bleue.
- Analyse en éléments trace suivant Harder (1992) : H1: adularescence semi-bleue

La composition de ces échantillons fut analysée avec pour résultat les pourcentages suivants en éléments en trace :

	FeO	Fe ₂ O ₃	
		00.20	A
		00.05	В
7		trace	С
TIII mealde		trace	D
\	0.02	0.007	HI

La luminescence « rouge » des feldspaths est due à une transition de ⁴T₁→⁶A (White W. et al.,

- Après traitement thermique aucun changement de fluorescence aux ondes courtes n'a été observé.
- Pour Telfer et Walker, l'origine de la fluorescence bleue sous les U.V longs est due à des défauts de structure, Al-O' - Al et Si-O' (Barnett et al., 1997)

suivant l'équation : Barnett et Bailiff (1997) indiquent que la luminescence varie en fonction de la température

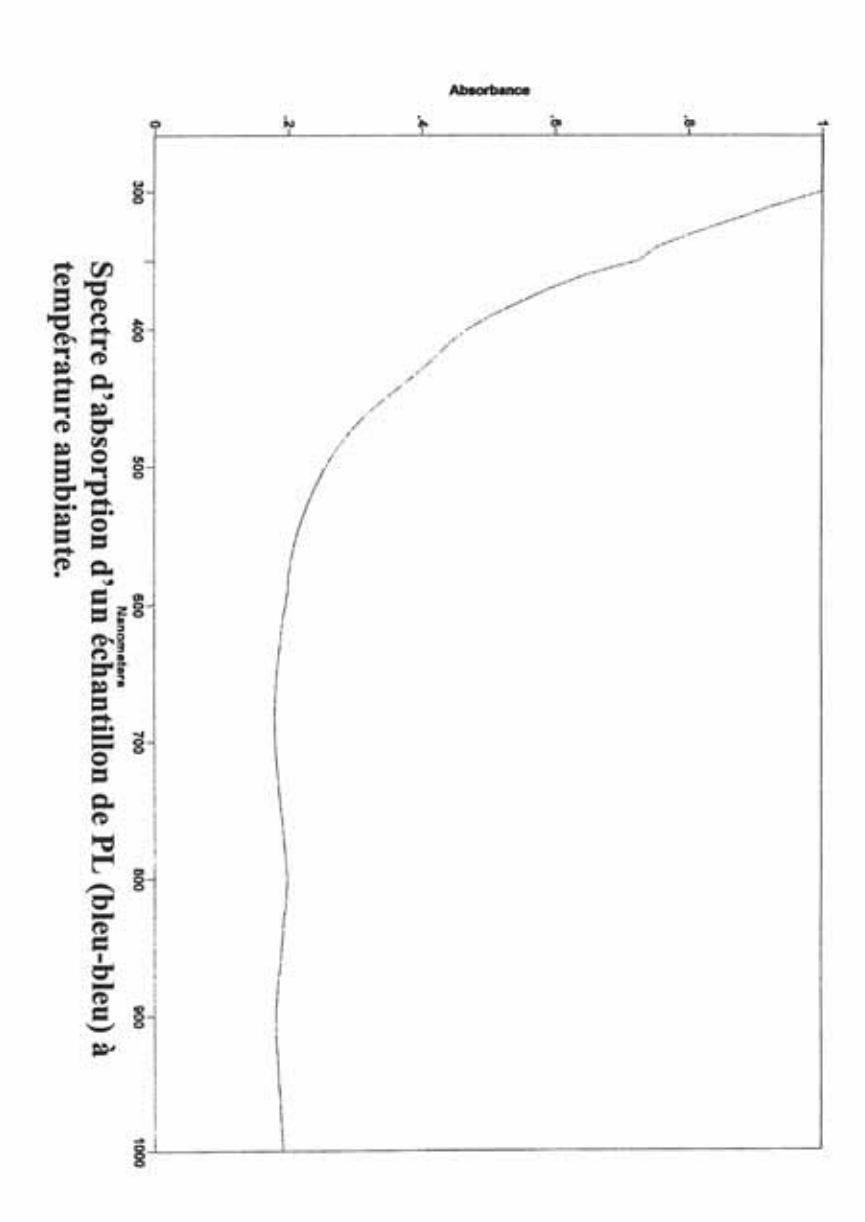
$$I(t,T) = \text{Constante } f(t) \ e^{-(E/kT)}$$

(Barnett et al., 1997). E est l'énergie d'activation thermique interprétée dans le modèle comme étant la profondeur de l'état excité

température de 78 Kelvins. Aussi, il est noté dans leurs travaux que le spectre du Fe⁺³ est faible et est peut-être diminué par la présence en petite quantité de Fe⁺² (White W.B. et al., 1986). mais plus larges entre 16000 et 20000 cm⁻¹. Ces observations avaient été réalisées à la bandes d'intensité moyenne vers 24000 cm et d'autres bandes moins importantes en intensité Dans leur étude sur l'absorption et la luminescence du Fe⁺³ dans les cristaux d'orthose de Madagascar, l'équipe de William White a mis en évidence une fine bande à 26000 cm⁻¹, deux

à température ambiante. Les pics observés dans les travaux de l'équipe de White W. n'ont pu être mis en évidence par

Toutefois, il semblerait qu'il y ait la trace d'un pic à 350 nm. L'origine de ce pic est très probablement à relier au Fe⁺³, dont la présnce est confirmée par la fluorescence rouse



Observations des PL reprises sur la photo de la page 40 :

Température ambiante

Distribution de la fluorescence :		Intensité	Conton	Conlent	Couleur visible	Echantillon n°
n de la	8	OL	000	OL	sible	llon n°
Rég	Moyenne	Faible	Rose	Bleuté	"Bleu"	2
Régulière à travers l'échantillon	Moyenne	Faible	Rose clair	Bleuté	"Bleu"	3
antillon	Forte	Faible	Rose intense	Bleuté	"Blew-blew"	4

Tableau III-B

des PL «massives» de Meethiyagoda. REM: L'utilisation de la lampe U.V courte permet de distinguer les doublets (PL-verre)

doublets montrent une fluorescence dans les tons bleus. Les PL de Meethiyagoda présentent une fluorescence dans les tons rose-violet alors que les

La fluorescence bleue des doublets peut être expliquée par

- 1) la fine épaisseur de la "lame" de PL,
- 2) la nature de la colle utilisée qui montre une fluorescence bleutée aux UV courts.

Spectroscopie Raman

Spectres Raman réalisés sur Bruker RFS100 installée à l'Institut des Matériaux de Nantes.

Echantillons:

Numéro de l'échantillon esté

Description de la couleur

Orientation du plan

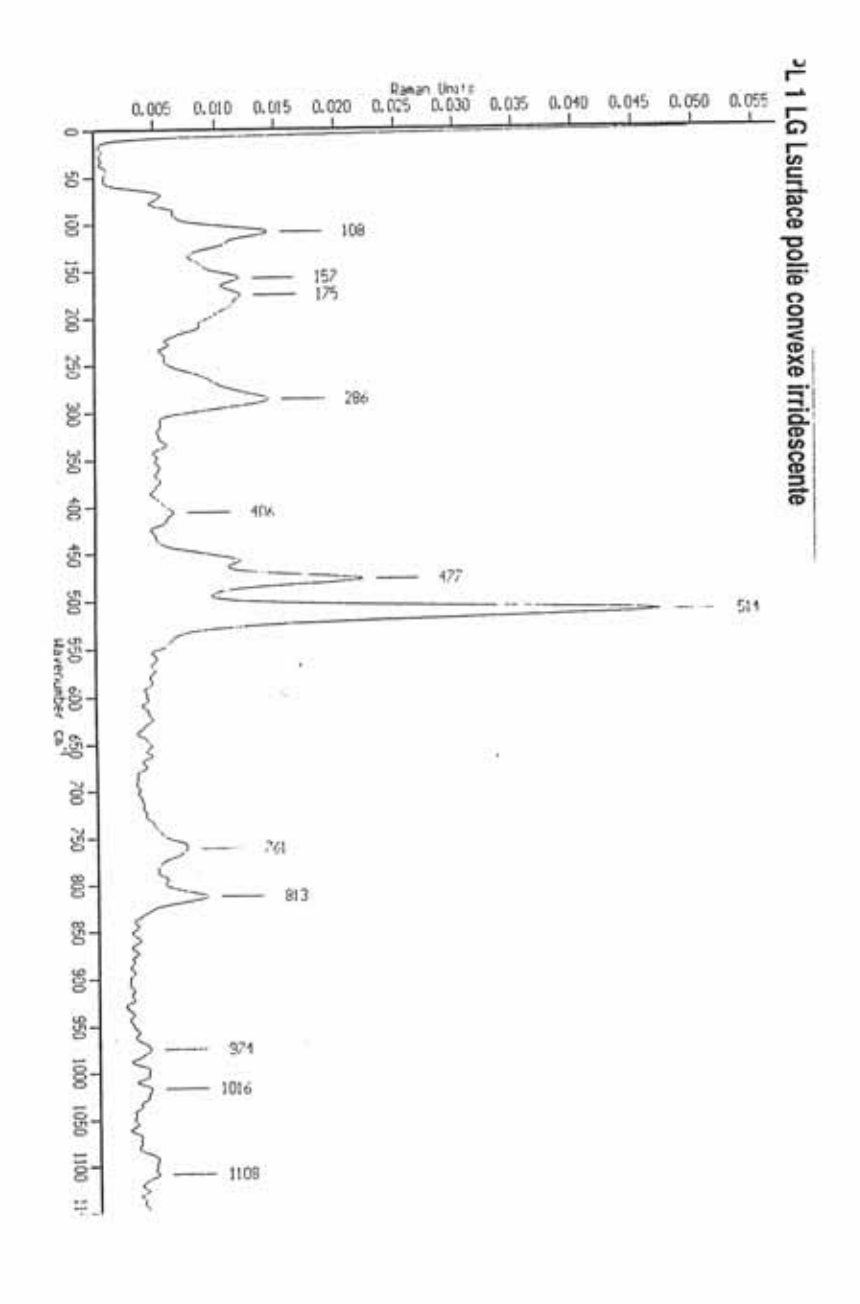
PL 1	Bleu-bleu, échantillon non chauffé	Perp. à la surf.
		Adularescente
PL2	Bleu, échantillon CHAUFFE	Perp. à la surf.
		Adularescente
PL 3	Bleu, échantillon non chauffé	// à la surf adularescente
PL 4	Bleu, échantillon non chauffé	// à la surf adularescente
PL 5	Bleu, échantillon chauffé	// à la surf adularescente
PL 6	Bleu, échantillon chauffé	Perp. à la surf.
		Adularescente

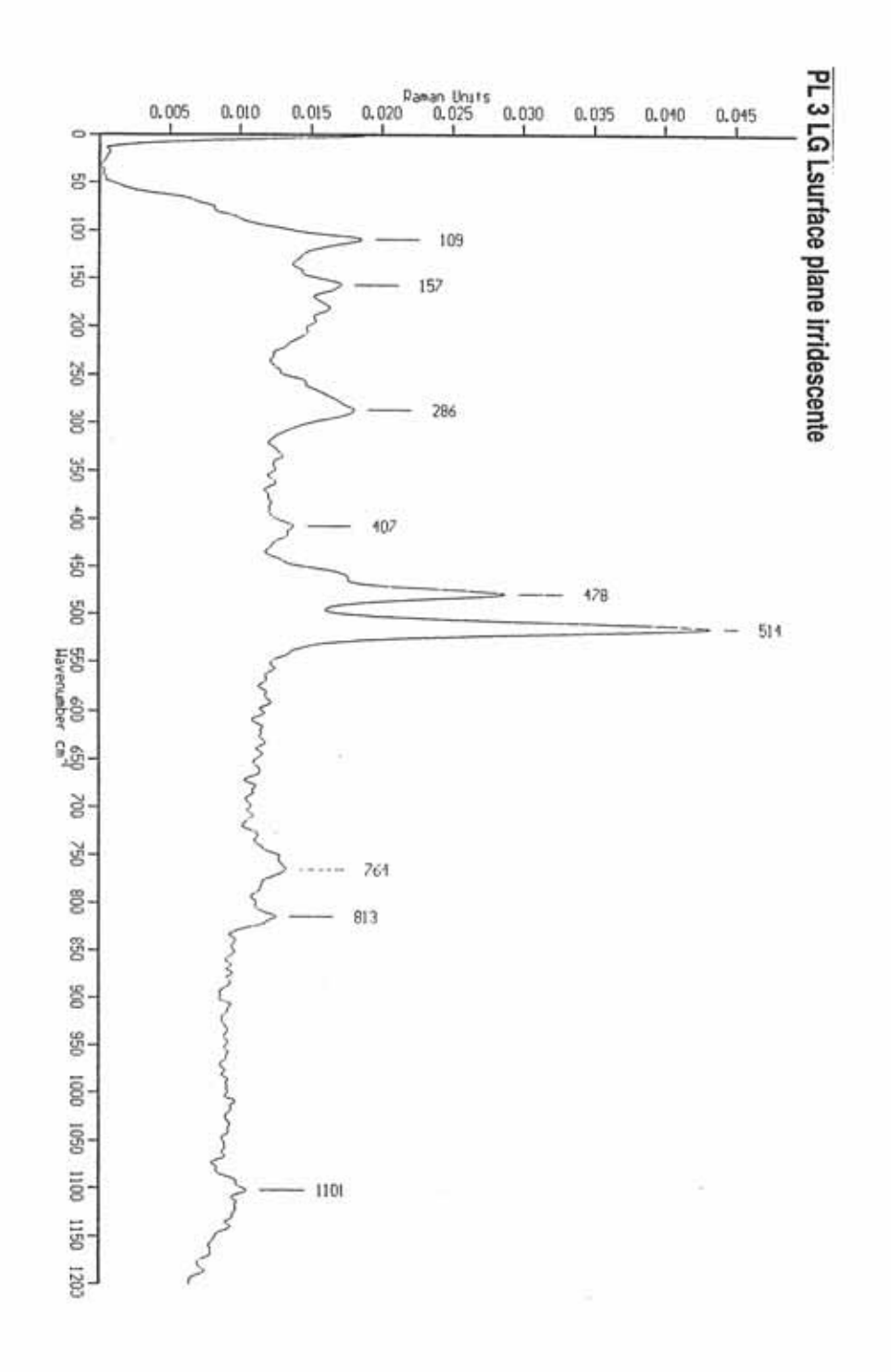
Nombre de scans : 100

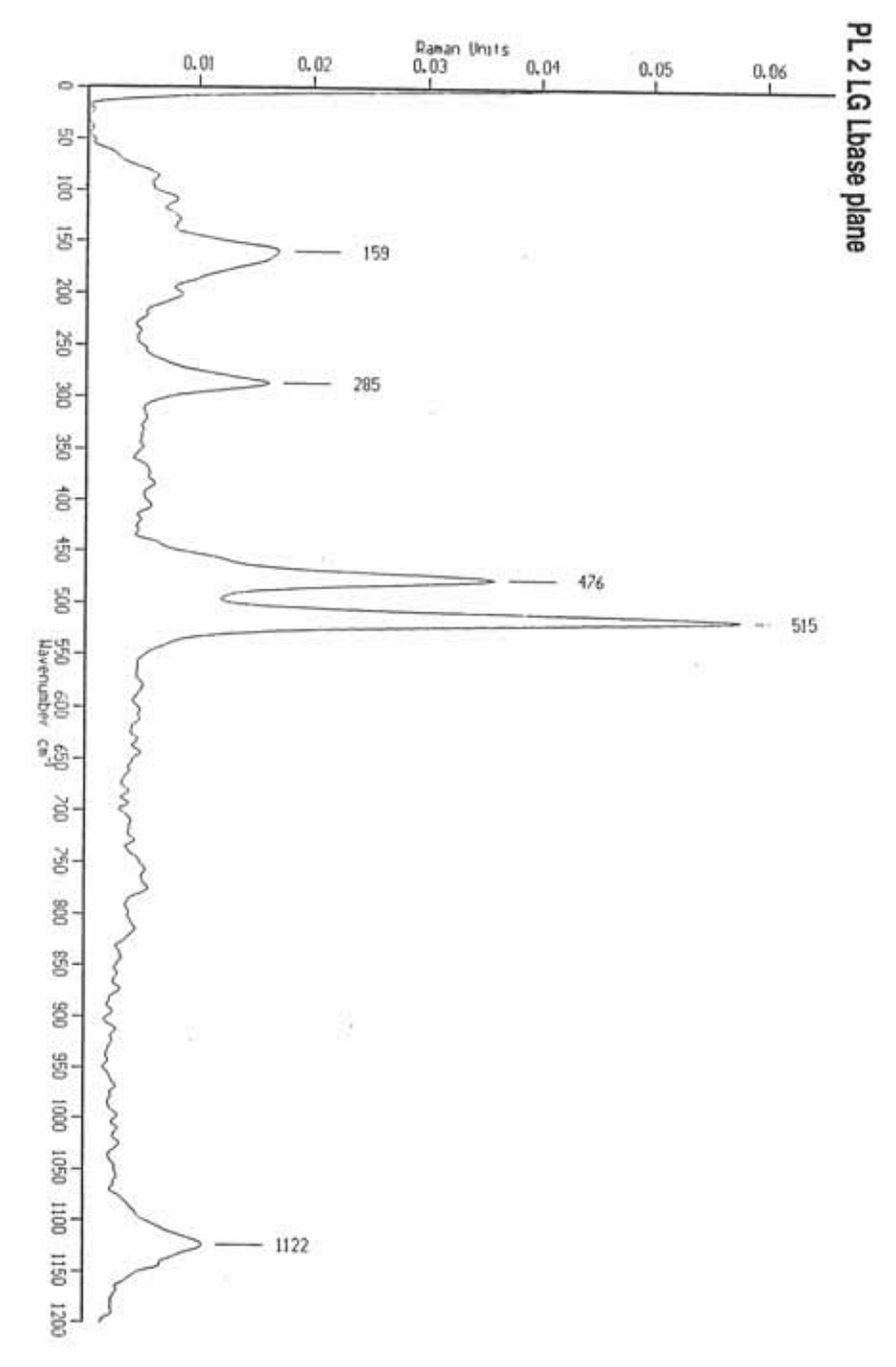
Puissance du laser: 200 mw Résolution: 40

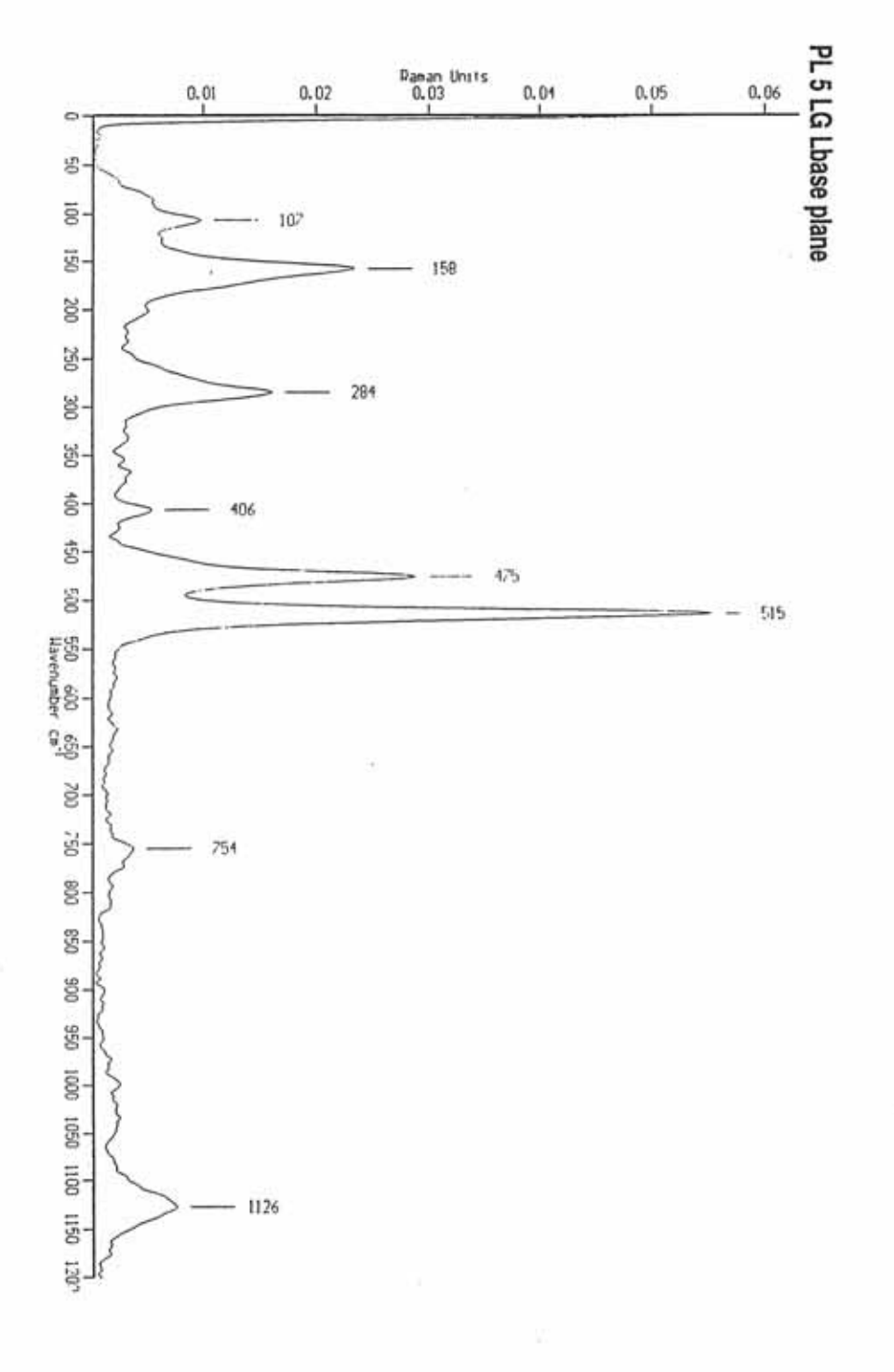
Résolution : 4.0 Mesuré le 24/3/97

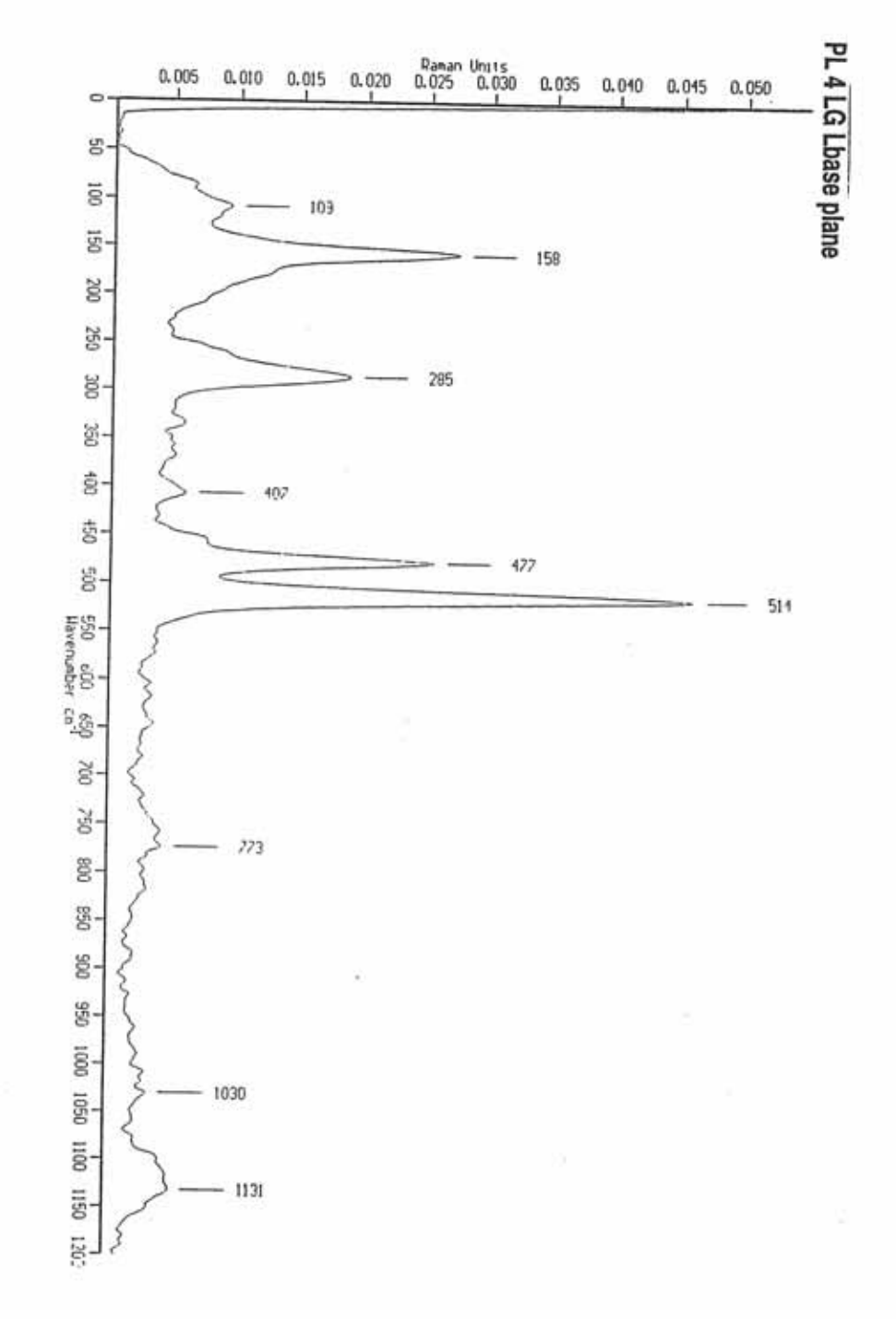
Surface testée : grain 10 microns

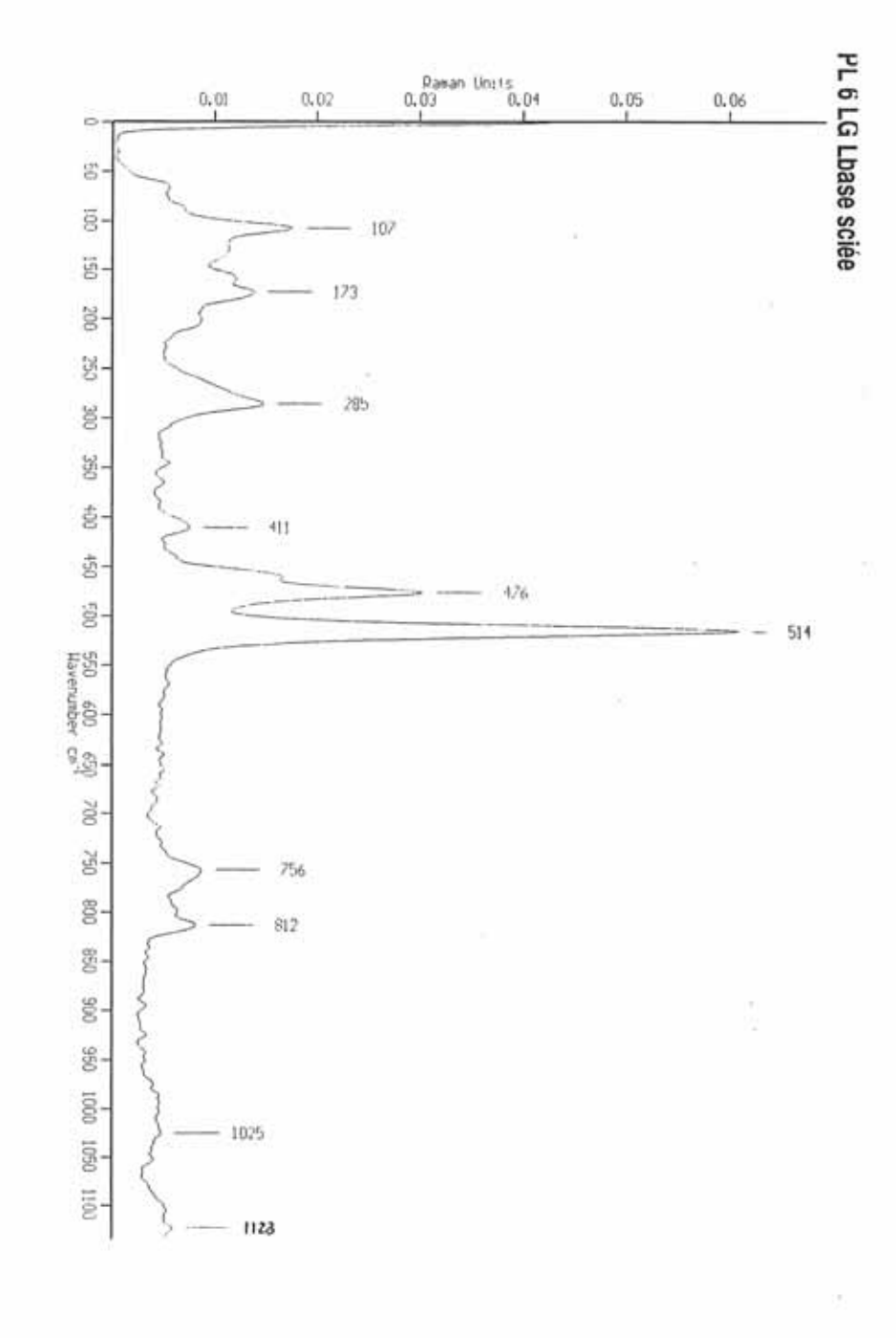












En résumé, nous pouvons disposer les résultats suivants dans le tableau ci-après :

Longueur d'onde en cm⁻¹. Unités Raman en 10⁻³.

	P6	P5	P4	23	P2	P1	
	17	10	9	18	9	15	109
	•	23	27	17	16	15	157
	14	15	17	17	15	15	288
	16	O.	6	14		∞	408
SECTION SECTION	30	00	25	28	35	32	477
	61	54	46	42	56	51	514
20	9	ω	1	-	1	7	757
	7	1	•	12		S	813
	S	00	2	1	10	S	1126
	•	'	1	12			764
	1	•	•	10			1010
	'	•	4				773

Tableau II-C

conclusion que les feldspaths pouvaient être identifiés par une bande intense observée entre 500 et 515 cm⁻¹. Dans une étude publiée dans le Journal of Raman Spectroscopy, Mernagh était arrivé à la

Le mode A9 à 513 ou 514 cm⁻¹ avaient une bande plus intense. Deux autres bandes pouvaient être observées entre 450 et 500 cm⁻¹. Ces trois bandes forment un « triple caractéristique qui est présent dans la plupart des feldspaths alcalins. . Ces trois bandes forment un « triplet »

la conclusion que les feldspaths pouvaient être identifiés par une bande intense observée entre 500 et 515 cm⁻¹. Dans une étude publiée dans le Journal of Raman Spectroscopy, Mernagh (1991) était arrivé à

Le mode A9 à 513 ou 514 cm⁻¹ correspondai à une bande plus intense. Deux autres bandes peuvent être observées entre 450 et 500 cm⁻¹. Ces trois bandes forment un « triplet » caractéristique qui est présent dans la plupart des feldspaths alcalins.

disponibles. Toutefois, lorsque l'on compare les bandes d'absorptions à d'autres tectosilicates l'on obtient les indications suivantes : Actuellement, des données propres aux PL concernant la spectroscopie Raman ne sont pas

Dans l'albite, les bandes présentes sous 450 cm⁻¹ coincident avec des mouvements de translation.

observées (Mernagh, 1991). Lorsque la répartition des atomes d'aluminium est plus ordonnée, des bandes plus larges sont

Alors que, dans une étude sur des cristaux de danburite (CaB₂Si₂O₈), Best indique - au de là de 1100 cm⁻¹, ce sont des mouvements de translation entre Si-O-Si

- , ce sont des mouvements de translation entre Si-O-Si
- de V. (Best et al., 1994)) entre 400 et en de cà de 586, ce sont des mouvements de vibration entre Si-O-Si en forme

bending2) de Si-O-Si. Mc Millan (1981) quant à lui indique que le spectre de verre d'alumino-silicate montre une bande intense vers 430 cm⁻¹, qui serait due à des mouvements symétriques (en forme de

47

¹⁰ en forme de V

Microscopie électronique à balayage

obtenus au Centre de Microcaractérisation de l'Institut des Matériaux de Nantes. Les photos et spectres réalisés sur le microscope électronique à Balayage Jeol 5800 ont été

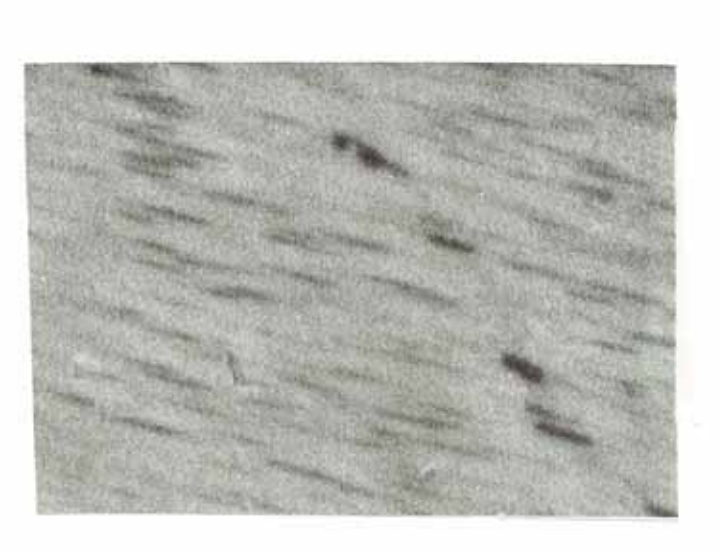
- A) Observation en cathodo-luminescence d'un échantillon de PL (bleu-bleu, transparent) de Meethiyagoda
- B) Observation en cathodo-luminescence d'un échantillon de PL (nacré-blanc, translucide) d'un gisement du Sud de l'Inde.

Les 2 échantillons ont été observés dans les mêmes conditions :

- haute tension de 20 kV dans le vide.
- Agrandissement 500 x



l'agrandissement 500 x visible en cathodo-luminescence aucune structure particulière n'est PL bleu-bleu de Meethiyagoda A) Cette photo montre que pour une



ORTHOSE et les zones foncées sont riches en perthitique. B) PL nacrée blanche montrant une structure Les zones clairees sont riches en

fortement. On constate que la taille des perthites varie

- Les perthites les plus petites : 2800 nm
- Les perthites les plus grosses :6600 nm

icroscope électronique à transmission

nanometre). l'observation et la caractérisation des matériaux à une échelle très fine (de l'ordre du La microscopie électronique à transmission est depuis quelques années un outil de choix pour

des cristaux comportant des micro-domaines de composition différentes comme les pierres de fait une méthode très informative et c'est actuellement la méthode la mieux adaptée à l'étude microstructurales, microtexturales et microchimiques. L'ssociation des différents modes de la microscopie à balayage et à transmisssion (image, microanalyse et microdiffraction) en Les propriétés des matériaux sont étroitement dépendantes de leurs caractéristiques

se former et les bords de ce trou sont observables au MET. diamètre est bombardé par un flux d'argon ionisé sous incidence rasante. On laisse un trou à 50 nm. Cette épaisseur est obtenue par amincissement ionique. L'échantillon de 3 mm de couleur bleue de la pierre de lune avec les microstructures observées dans les échantillons. Pour être transparents aux électrons les échantillons doivent avoir une épaisseur voisine d 10 C'est pourquoi nous l'avons utilisée en complément d'autres études pour essayer de relier la

Nous avons observés deux types de pierres de lune

PLI « bleu-bleu »

PL6 « bleu »

Ces lames ont été observées à température ambiante dans le microscope en image et en

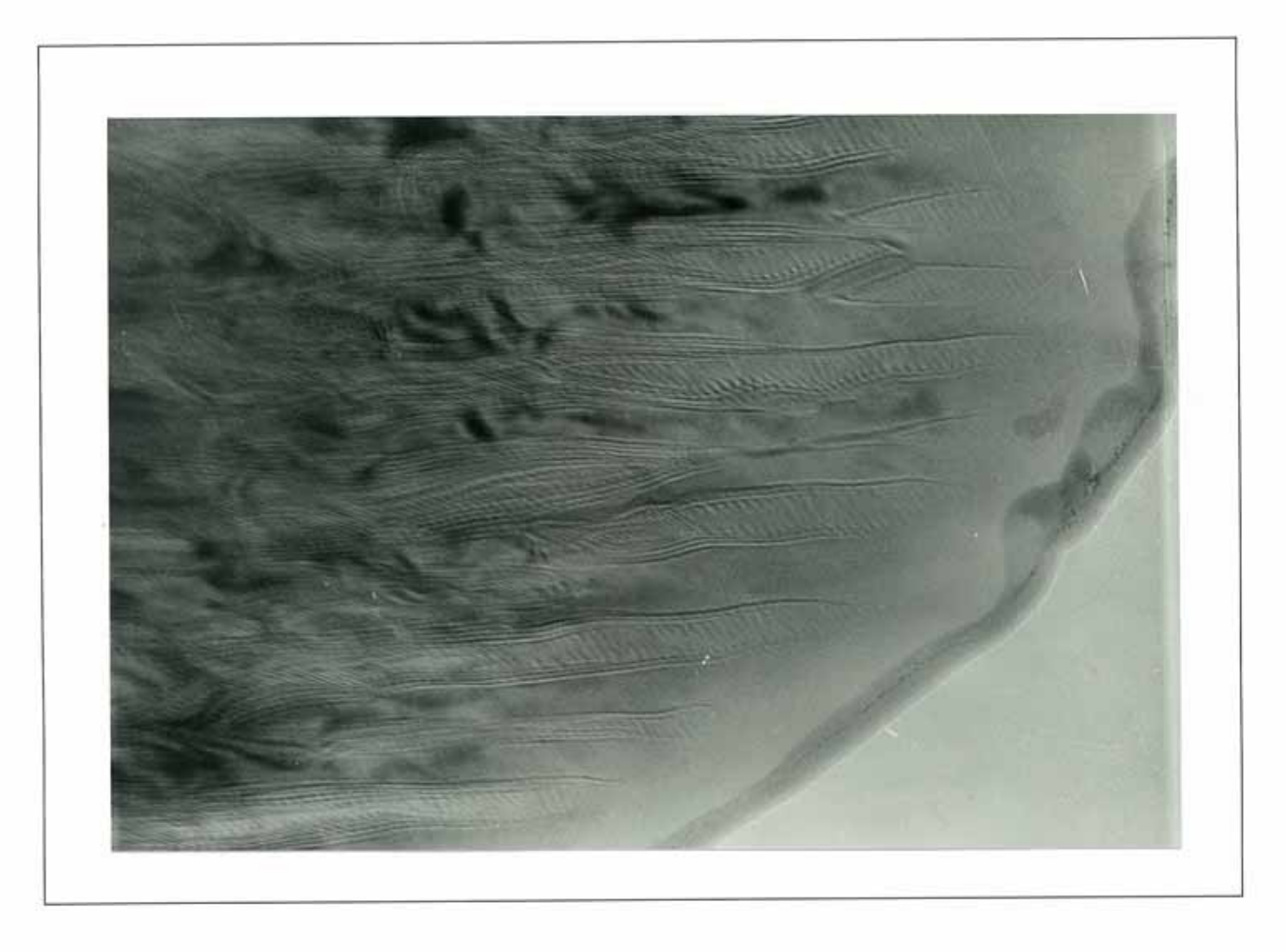
photos suivantes. échantillon Gatan chauffant, de l'ambiante à 665°C pendant une heure sous vide. PL1 a été observée à différentes températures in-situ dans le microscope grâce à un porte-Des modifications tant en image qu'en diffraction ont été observées ainsi que le montrent les

(Communication personnelle de Mme Anne-Marie Marie, 1998)

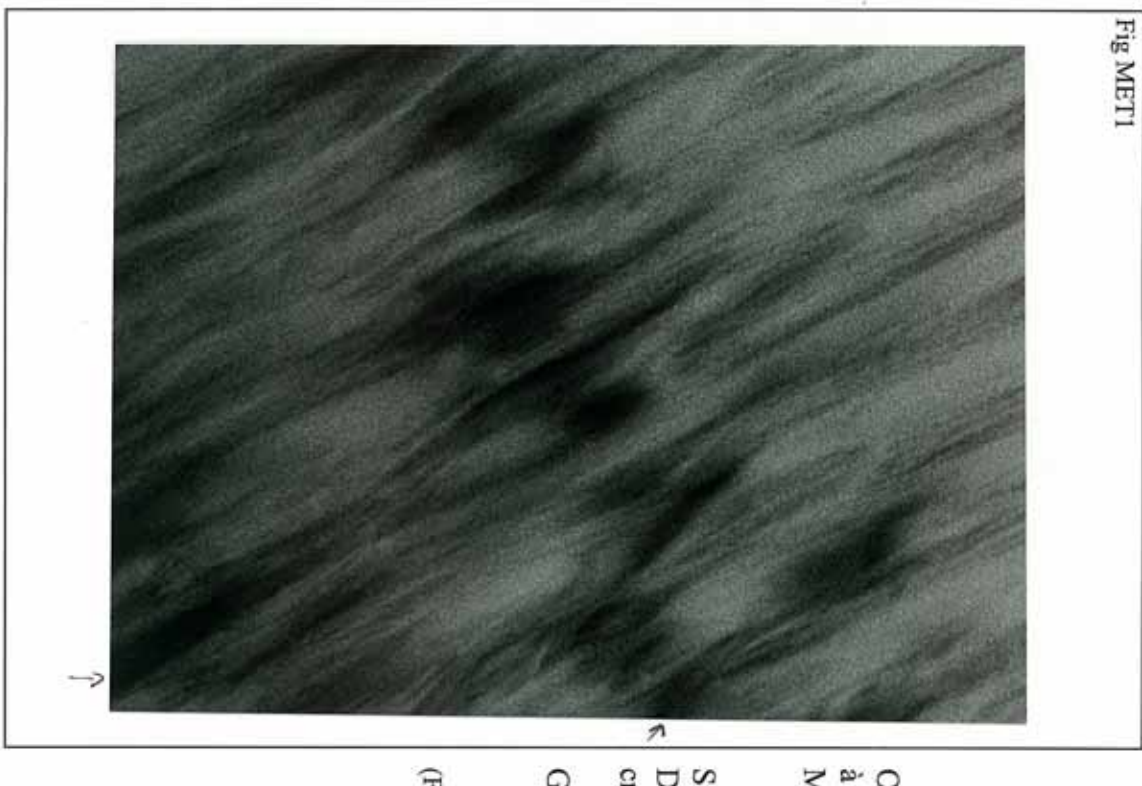
Chapitre II:

Identification

La distinction des PL des autres gemmes Observation des inclusions au microscope optique



Observation d'une PL « bleu-bleu ». Sur cette image en champs clair, on distingue de larges domaines sodiques dans une matrice potassique. Les dimensions de largeur de la perthite varient de 5 à 10 nm. Grandissement du Tirage 107.000 X



Observation de l'échantillon PL1 à température de 18°C au MET CM-30.

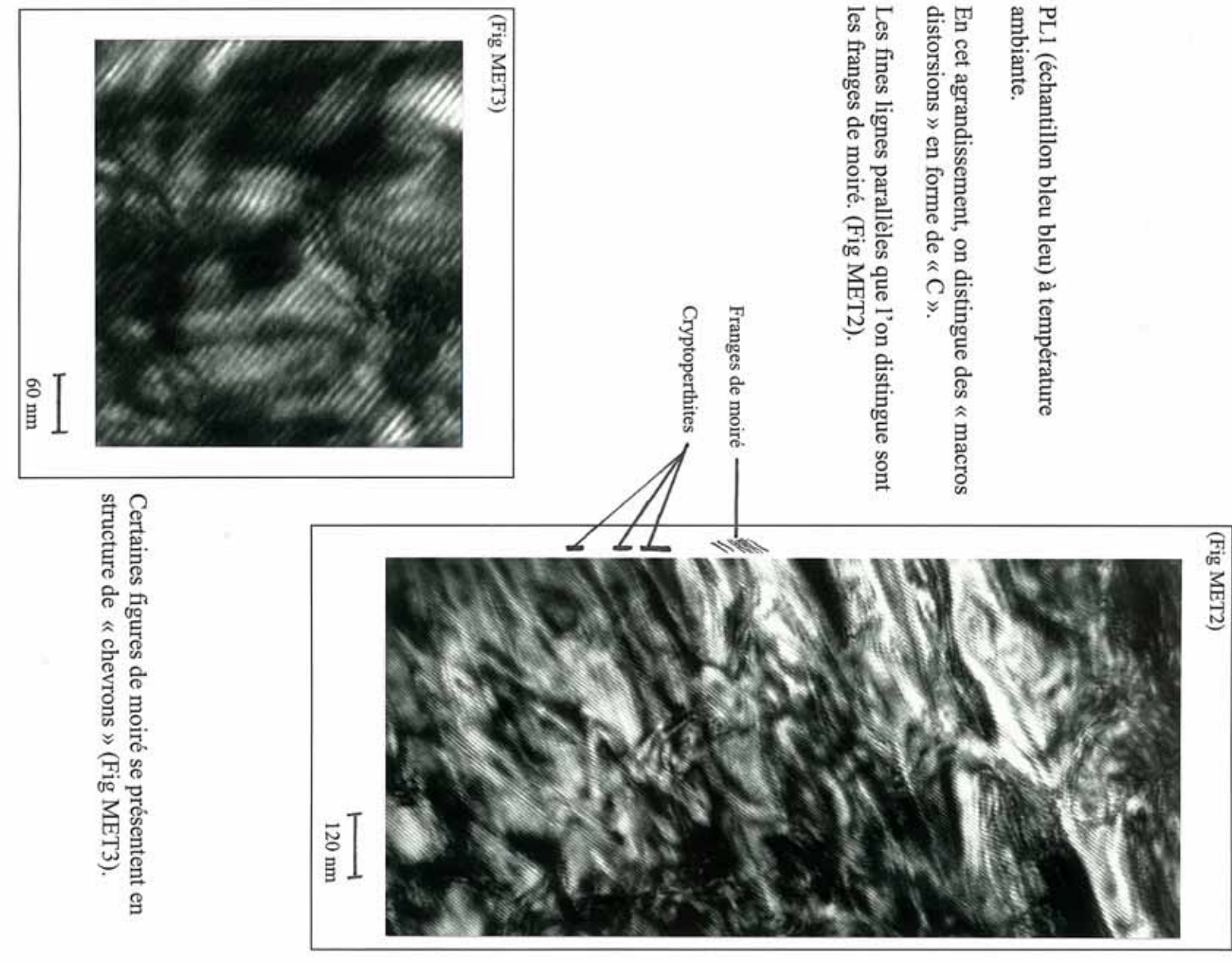
Sur cette image en champ clair, on Distingue les franges dues aux cryptoperthites

Grandissement originel = 13.500

(Fig MET1)

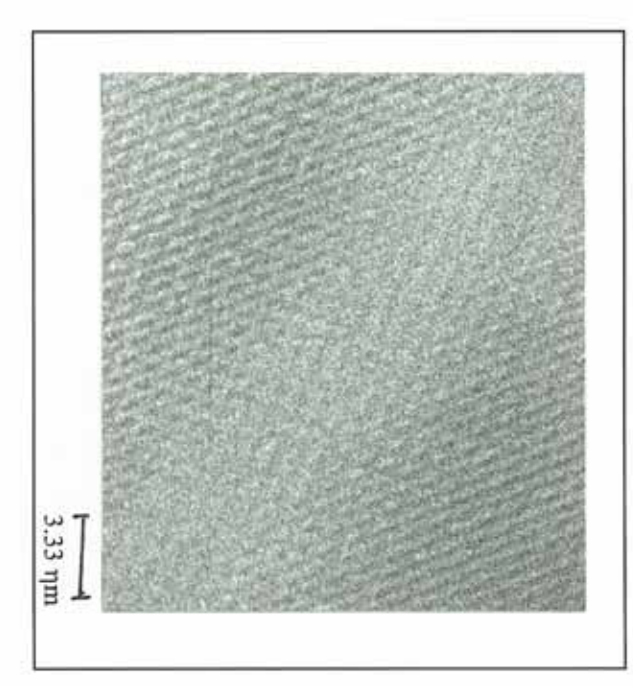


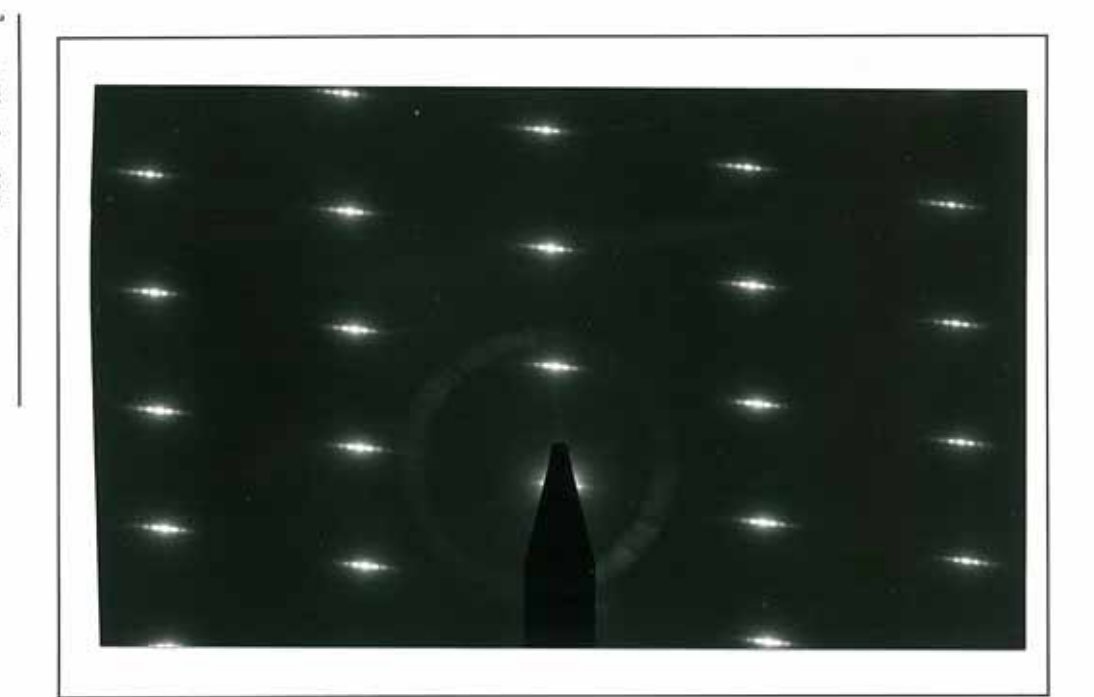
En cet agrandissement, on distingue des « macros



à température ambiante en haute résolution (Fig MET4). zone sodique et une zone potassique Observation de la limite entre une

qui auraient agrandi des séparations de déceler des « infiltrations » d'eau observation faite au MET ne permet avancée par Harder (1992) aucune dans les PL. **REM**: Contrairement à l'hypothèse





{102 } de la zone reprise ci-dessus. Cliché de diffraction en axe de zone

direction {201}. des tâches de surstructure suivant une potassiques cause une multiplication entre les zones sodiques et les zones La différence d'orientation

surstructure distance entre deux taches de déduire approximativement de la La taille des cryptoperthites peut se La taille des défauts³ est de 8 nm.

(fig MET5).

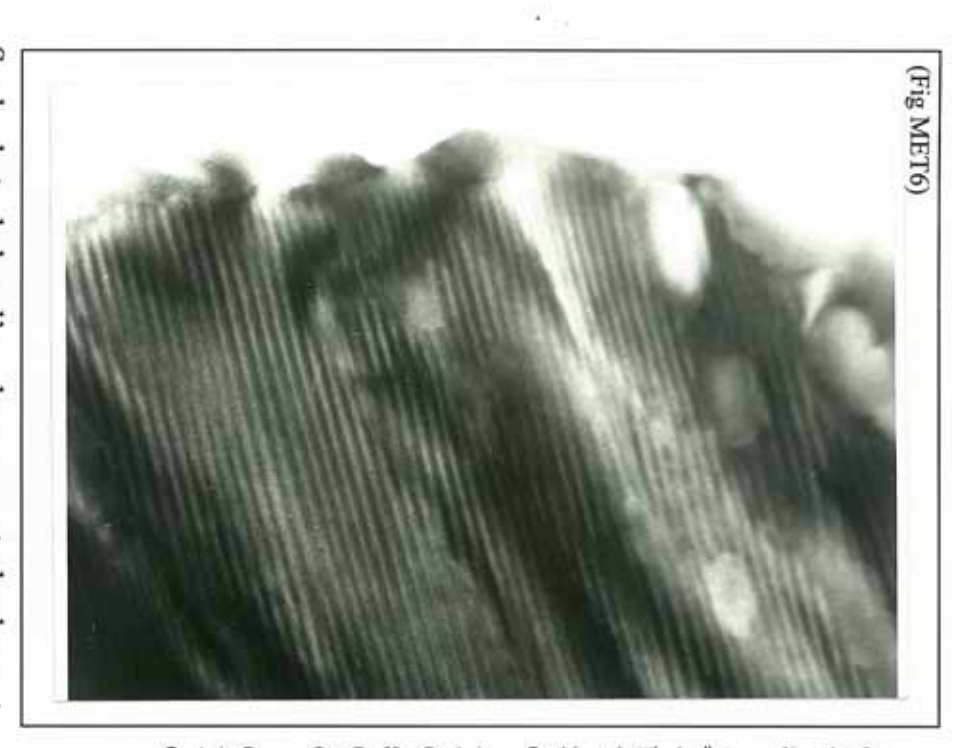
$$x = \lambda L/d$$

$$x = 16.45$$
 . 5 / 1 $\approx 80 \text{ A} = 8 \text{ nm}$

³ x : taille des défauts

λ : longueur d'onde des électrons

d : distance d'une tache de surstructure à une autre. L : Longueur de la caméra en mm



Observation d'une PL « bleu-bleu » à **température de 665°C** après 60 min in situ au MET CM-30.

REM:

- apparition de « globules » en bordure de l'échantillon. Une diffraction de ces globules montrera que ces « globules » sont un composé vitrifié. (Fig MET6)

Les tâches de surstructure disparaissent car les perthites s'agrandissent (il y en a donc moins). On observe une relaxation des défauts en « C ».

On peut supposer que si l'on poursuit l'opération suffisamment longtemps, on obtiendra une PL blanche.

centrale u lieu de 3 précédemment. Sur la photo du bas, l'on observe une tache de surstructure de part et d'autre de la tache



Observation de l'échantillon PL6 « bleu » à température ambiante au MET CM-30.

REM:

- Cet échantillon présente moins de « défaut en forme de marche » que l'échantillon PL1

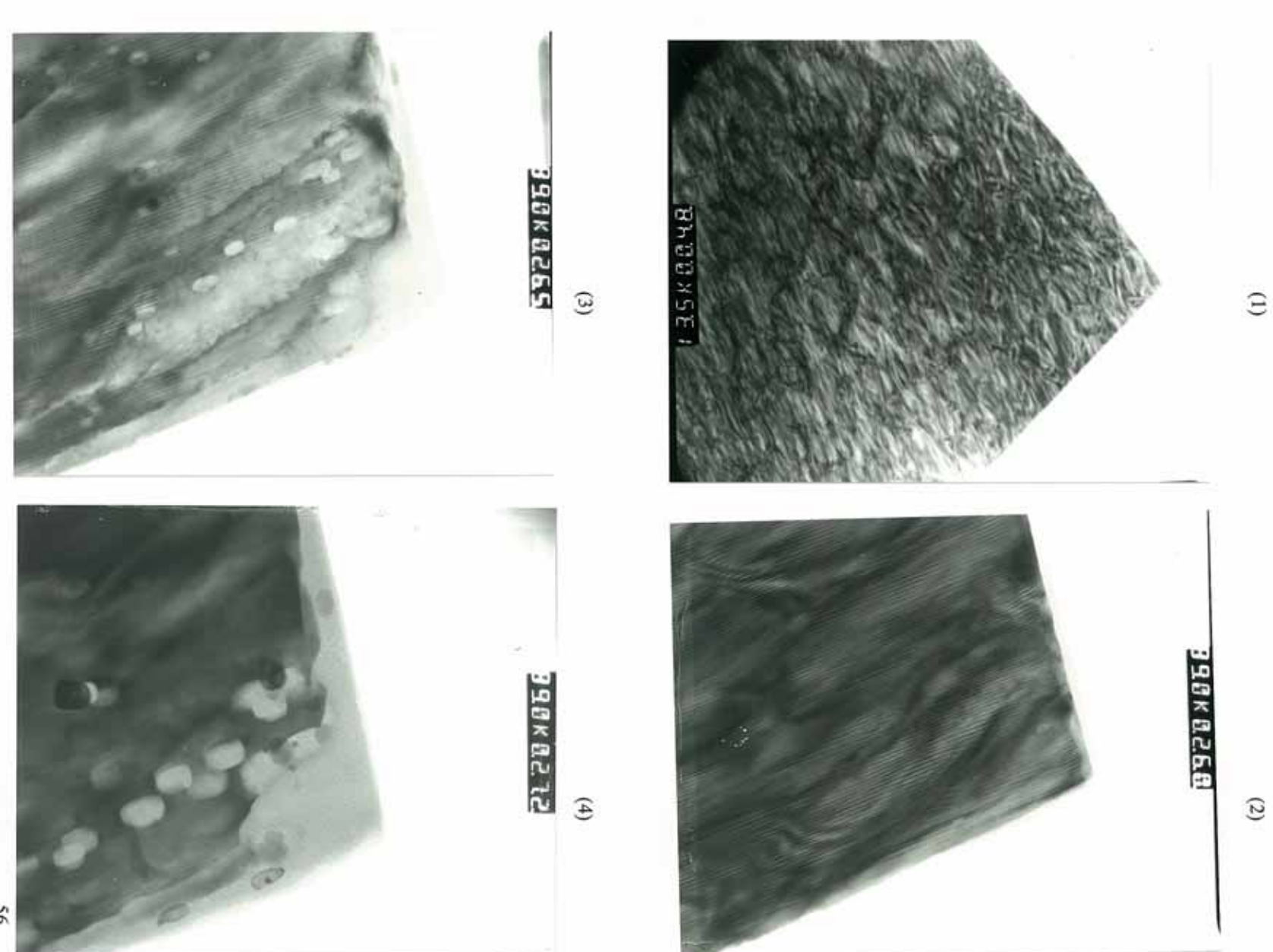
La largeur des cryptoperthites varie de 15 à 90 nm environ. Elle est donc en moyenne plus grande que pour les pierres de lune bleubleu. Elles sont encore plus grande pour les pierres de lune blanches (voir MEB).

Donc la taille des perthites semble jouer un rôle dans la coloration.



Cette série de 4 photos montre l'évolution durant le traitement thermique.

- Les défauts se relaxent, les perthites deviennent plus larges et plus visibles.
- début d'amorphisation. Œ De nouveaux défauts dus à la chaleur (et à l'irradiation) apparaissent jusqu'à un



La distinction des des autres gemmes. pierres de lune

Au polariscope, les doublets montrent une figure optique « biaxiale ». en une lame de PL qui est surmontée d'un cabochon en verre ou en quartz. adularescent "superficiel" que l'on n'obsrveve pas dans la masse de l'échantillon. les doublets soient fabriqués en Thaïlande. Ces doublets consistent pour la partie inférieure aucune pierre de lune synthétique sur le marché mais des DOUBLETS¹. Il semblerait que Les PL peuvent être confondues avec quelques autres gemmes. Actuellement, il n'existe « doublet » peut se faire lorsque la pierre est manipulée. La gemme offre un effet La détection de la

se fait dans la plupart des cas relativement facilement. A l'aide des instruments gemmologiques de base, la distinction entre la PL et ses imitations

peut pas les distinguer des autres gemmes par la prise de mesure de l'indice de réfraction. En effet, la mesure de l'indice de réfraction par la méthode de vision à distance manque de Comme la majorité des PL se présentent sous forme de cabochons, boules et camées, on ne

La calcédoine, le quartz, l'opale, l'obsidienne, le verre peuvent se présenter sous un aspect

Le tableau ci-dessous montre les tests diagnostiques nécessaires à cette séparation

	DOUBLETTE	Plastique	Spinelle synthétique	Verre	Obsidienne	Opale	Quartz	Agate	Pierre de Lune	
et	OBSERVATION		ISO	ISO	ISO	ISO ⁴	ANI ²	ACA ³	ANI ²	Polariscope
t LAMPE U.V.			Néant	Néant	Néant	Néant	Uniaxe « Œil de taureau »	Néant	Biaxe	Figure Optique
COURT	MICROSCOPE		1.730 (+/-0.010)	1.44 à 1.70	1.48 à 1.52	1.450 (+ 0.020) (- 0.080)	1.544 - 1.553		1.518 - 1.526 (+0.004)	Réfractomètre*
			3.60 +0.13/-0.04	2.3 à 4.5	2.45	2.15 +0.07/-0.90	2.65	2.60 +/-0.05	2.52 - 2.61	Densité

Tableau II-E

^{*} Mesures d'après « Tables of Gemstone Identification »

Pour la détection des doublets des PL voir p 40 photo J et page 58

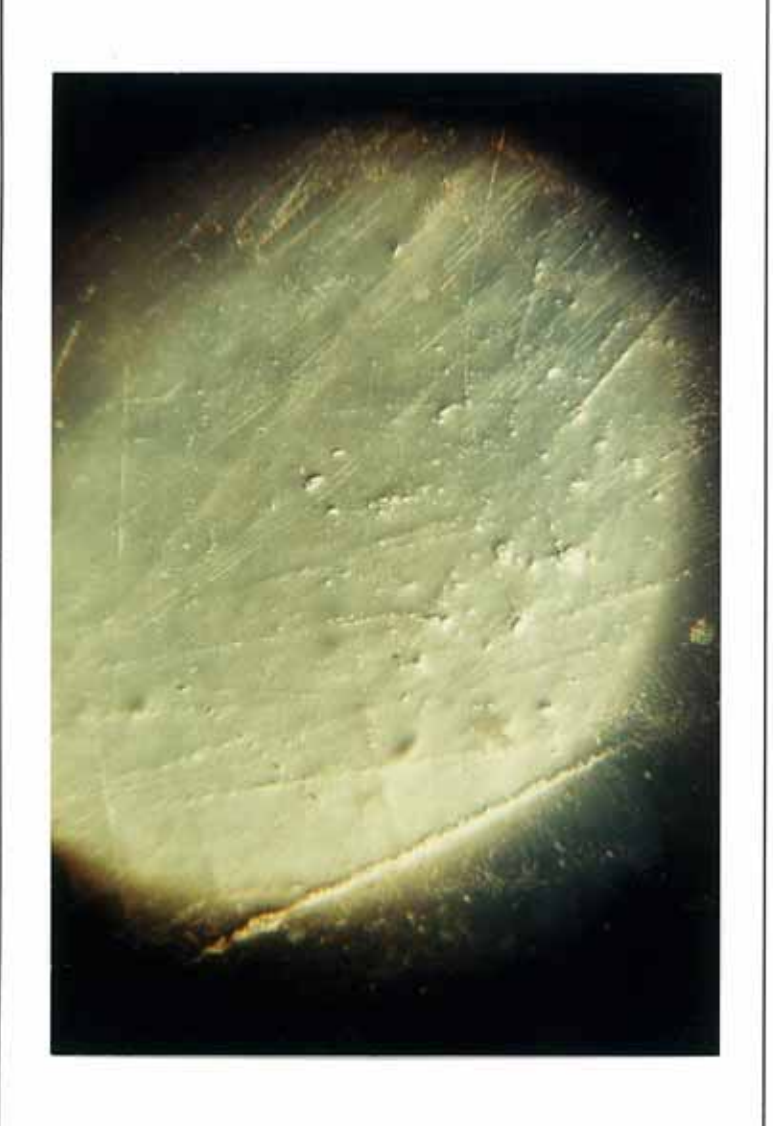
² ANI : substance composée d'un agrégat anisotrope ³ ACA : agrégat cristallin

^{*}ISO : substance optiquement isotrope

Observation des Inclusions au microscope.

agrandissement entre 10 et 30 x permet de distinguer les caractéristiques suivantes : Une première observation des PL de Meethiyagoda réalisée au microscope sous

P 62	Verre imitant la PL bleue	Photo P
P 60	Cette inclusion apparaît en surface. Son aspect laissait à penser qu'il s'agissait de kaolin. Une analyse au microscope électronique à transmission révèla que cette matière provenait d'un corps d'origine organique.	Photo K
P 61	Doublet observé au microscope en immersion.	Photo N
P 61	Les doublets de PL peuvent être détectés lorsque la base du cabochon P 61 est observée en biais.	Photo M
P 60	Inclusions en forme de mille-pattes. Ces inclusions sont formées à la suite de tensions qui ont donné naissance à des fissures.	Photo L
P 59	Suivant l'utilisation d'un éclairage à transmission ou par réflexion les griffes ou coups peuvent apparaître en relief positif.	Photo J
P 14	Altération d'une PL suite à l'action de l'hydrolyse	Photo F



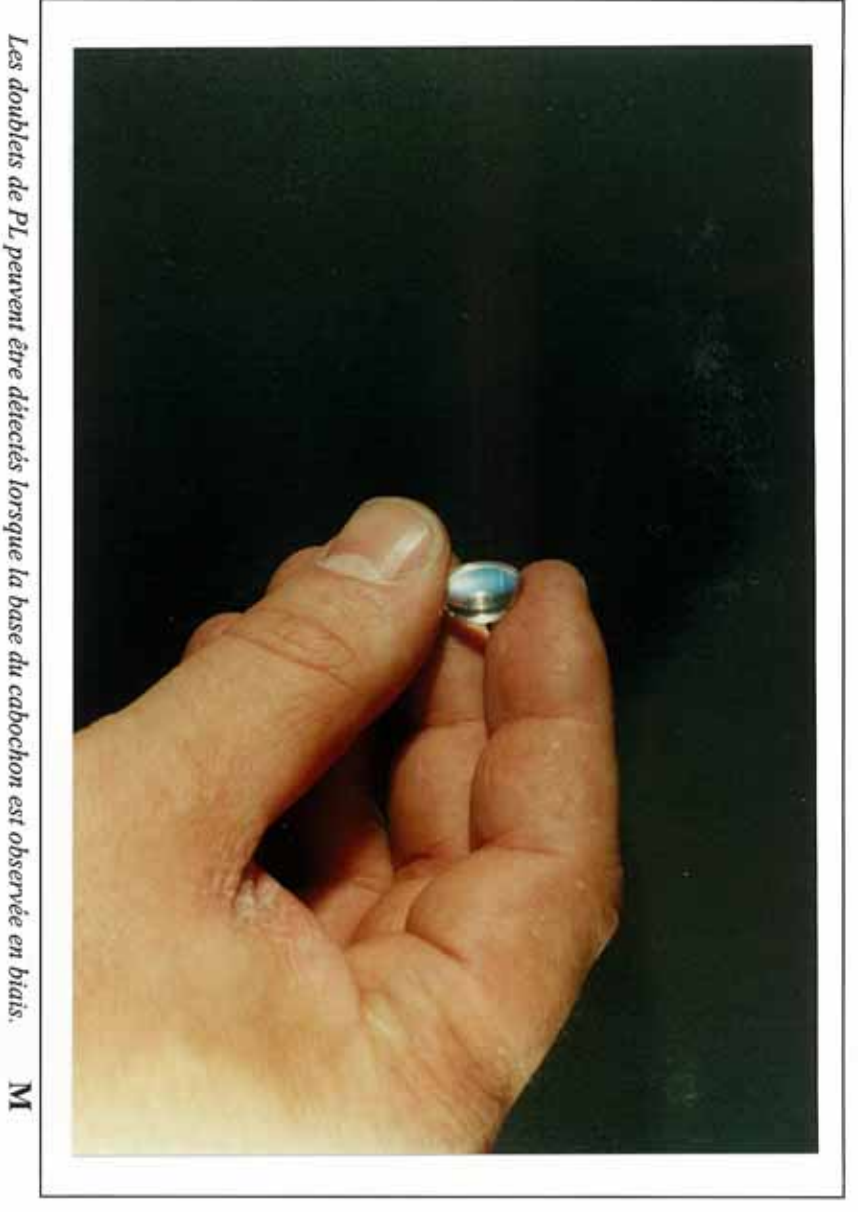
Suivant l'utilisation d'un éclairage à transmission ou par réflexion les griffes ou J coups peuvent apparaître en relief positif.



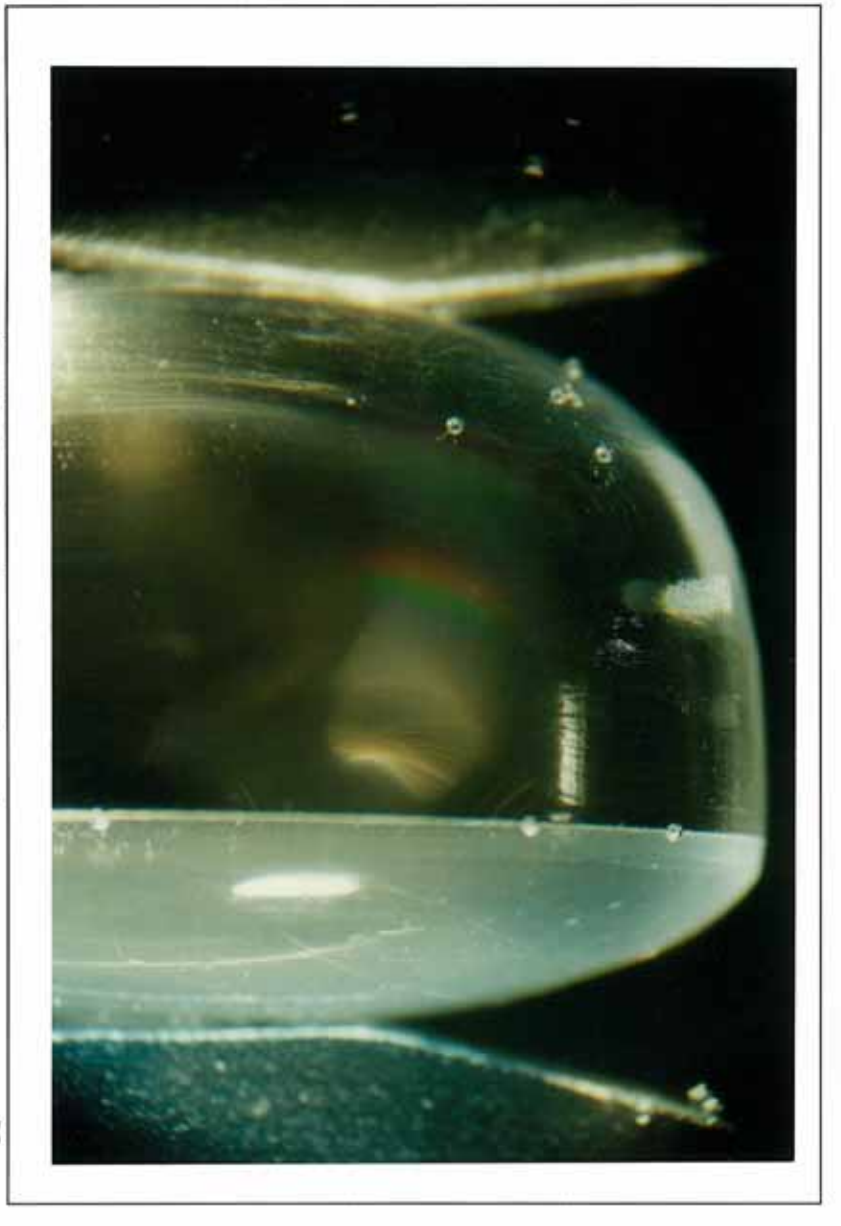
Fissures donnant naissance à des inclusions ressemblant à un mille-pattes



Le MEB révéla que l'origine de cette inclusion est de nature organique et non minérale. Il s'agit probablement d'un dépot d'humus introduit dans une micro-fracture ×

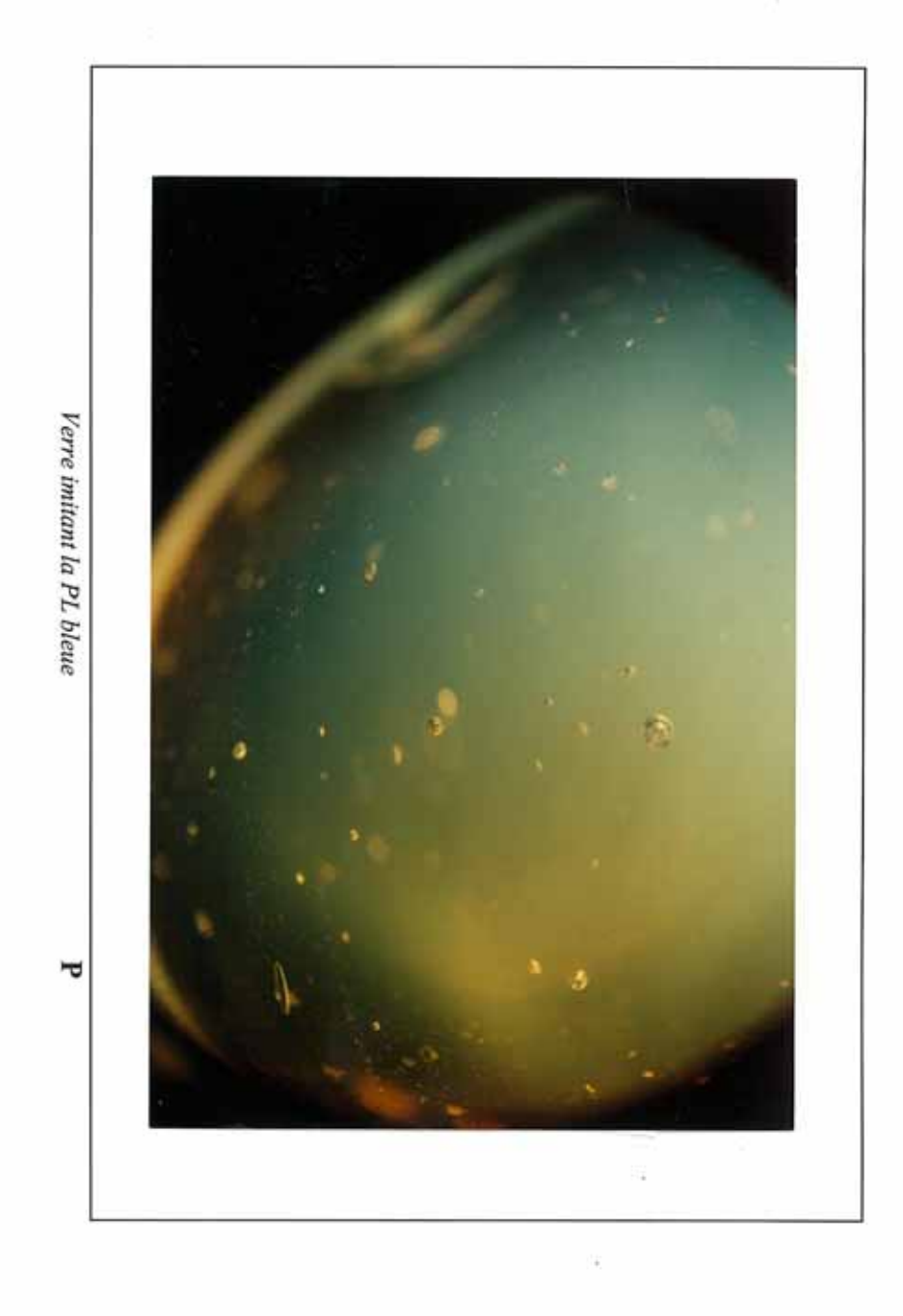


Les doublets de PL peuvent être détectés lorsque la base du cabochon est observée en biais.



Doublet observé au microscope en immersion

Z



Chapitre III:

La commercialisation

Classification des couleurs des PL Les Techniques de taille L'Evaluation Le Négoce

assification des couleurs

peu détaillée dans la littérature gemmologique. La différence d'intensité de couleur et la "nomenclature" des PL blanches et bleues est très

Spencer mentionne la classification suivante :

Blue (with silky blue to deep bllue) Bluish-White (with bluish-white schiller) White (with silky to pearly white schiller)

<u>Harder</u> classe les différentes couleurs de PL suivant les grades :

Top-blue, semi-blue,

Crystal blue Top semi blue

White

Silvery Pearly

Crystal White

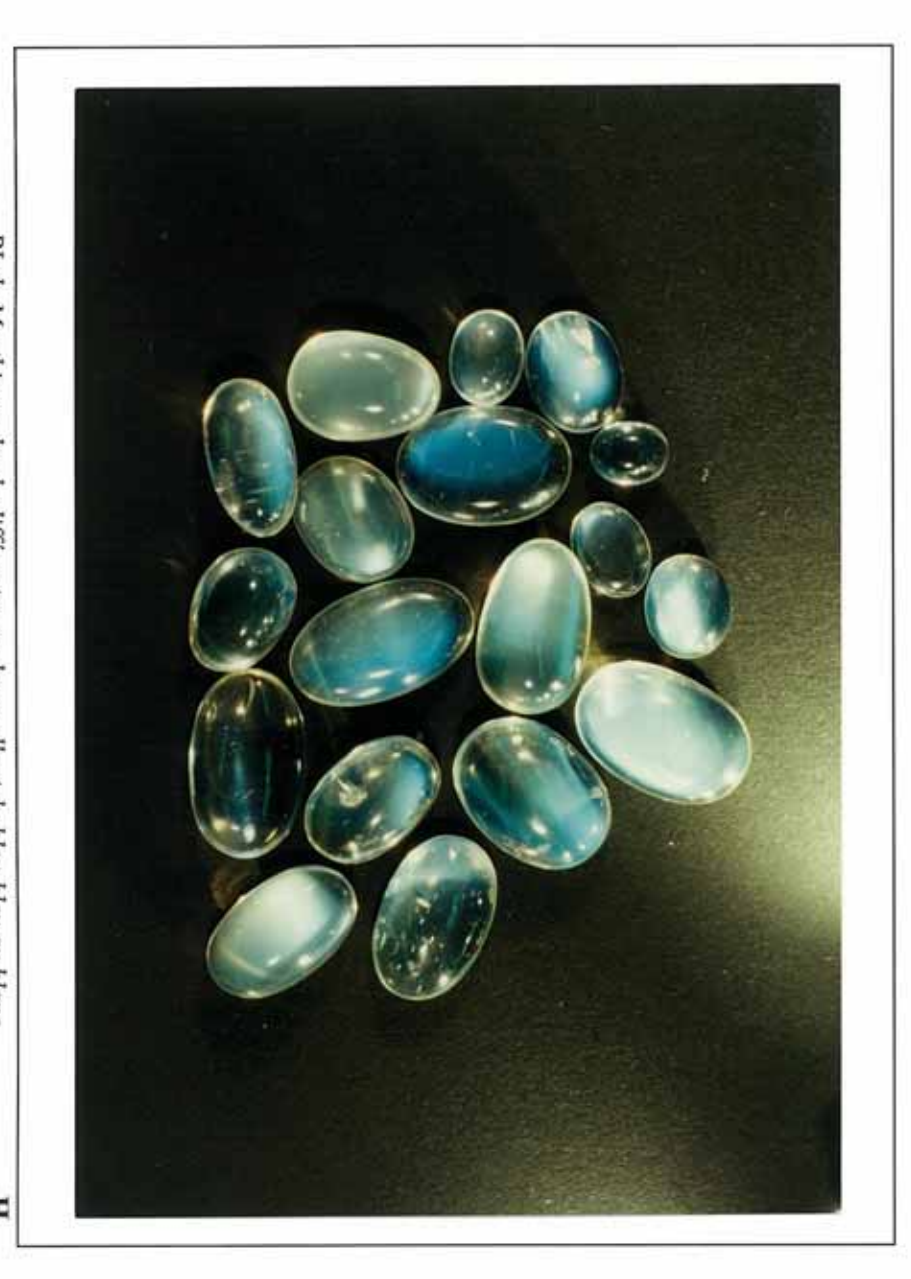
Muddy White Normal White Muddy blue Normal semi blue

(Muddy blue) Normal blue

Les PL transparentes sont décrites comme « Crystal quality »

alors que Sinkankas dans Standard Catalog of Gem Values mentionne : Fine Blue, good blue, fair blue, silver-white

et que sur place les indigènes rencontrés les classaient de la façon suivante : Blue-blue, Blue, White-blue,



PL de Meethiyagoda de différentes couleurs allant du bleu-bleu au blanc.

H

Une table simplifierait la classification des couleurs :

	Opaque	1	Semi-trans.	e M	Crystal	P game
	NE					Blue/blue Blue
Tableau III-A	NE PEUT EXISTER					Blue
П-А	USTER			000		White-blue White
						White

Il ne peut exister de PL opaque avec une couleur bleue due à la diffusion de Rayleigh. Si une PL bleue est opaque sa couleur est due à une autre cause que la diffusion de Rayleigh.

Spencer (1930) observe pour les PL bleues (sans inclusion) en lumière transmise qu'elles sont incolores lorsque celles-ci sont observées parallèlement aux faces de clivage dans la direction de l'axe b ou c.

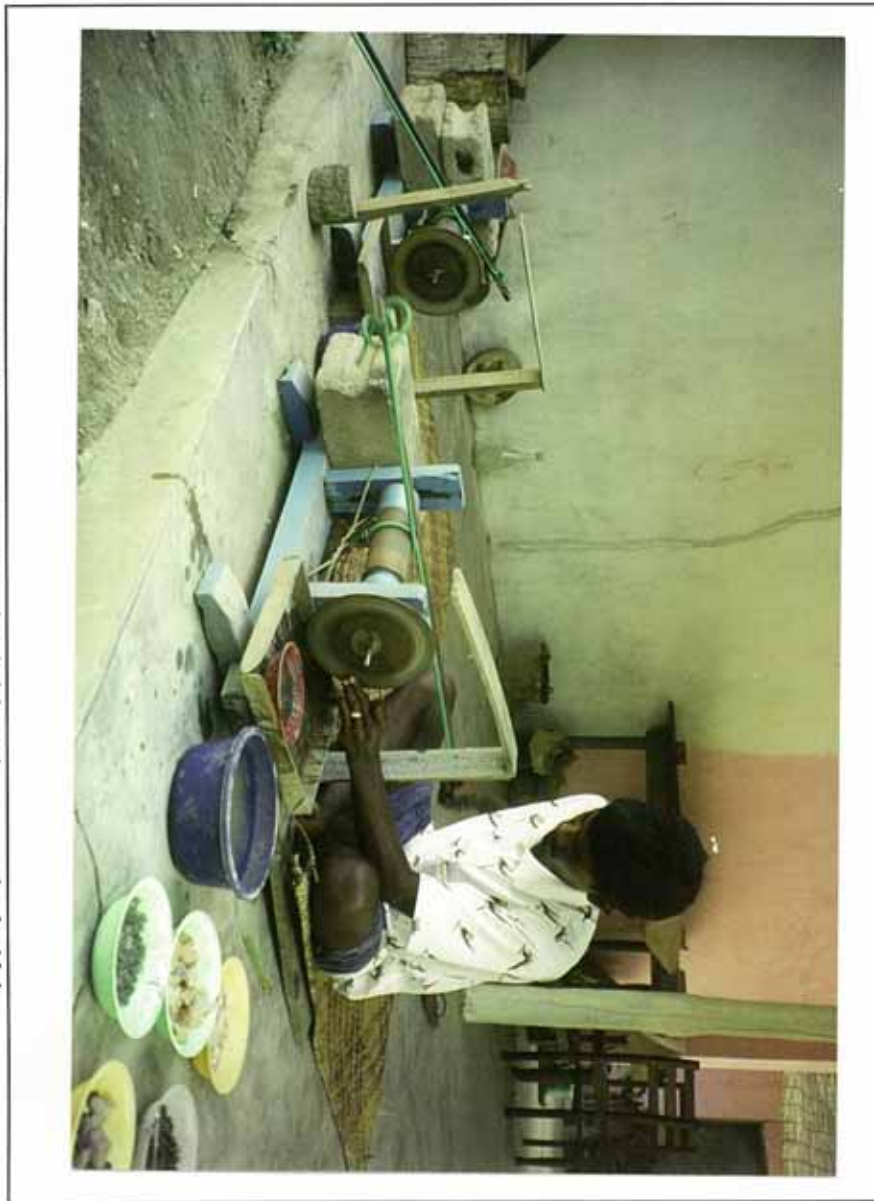
Techniques de taille

majorité des centres de taille. Généralement, des moteurs électriques entraînant des disques diamantés sont utilisés dans la

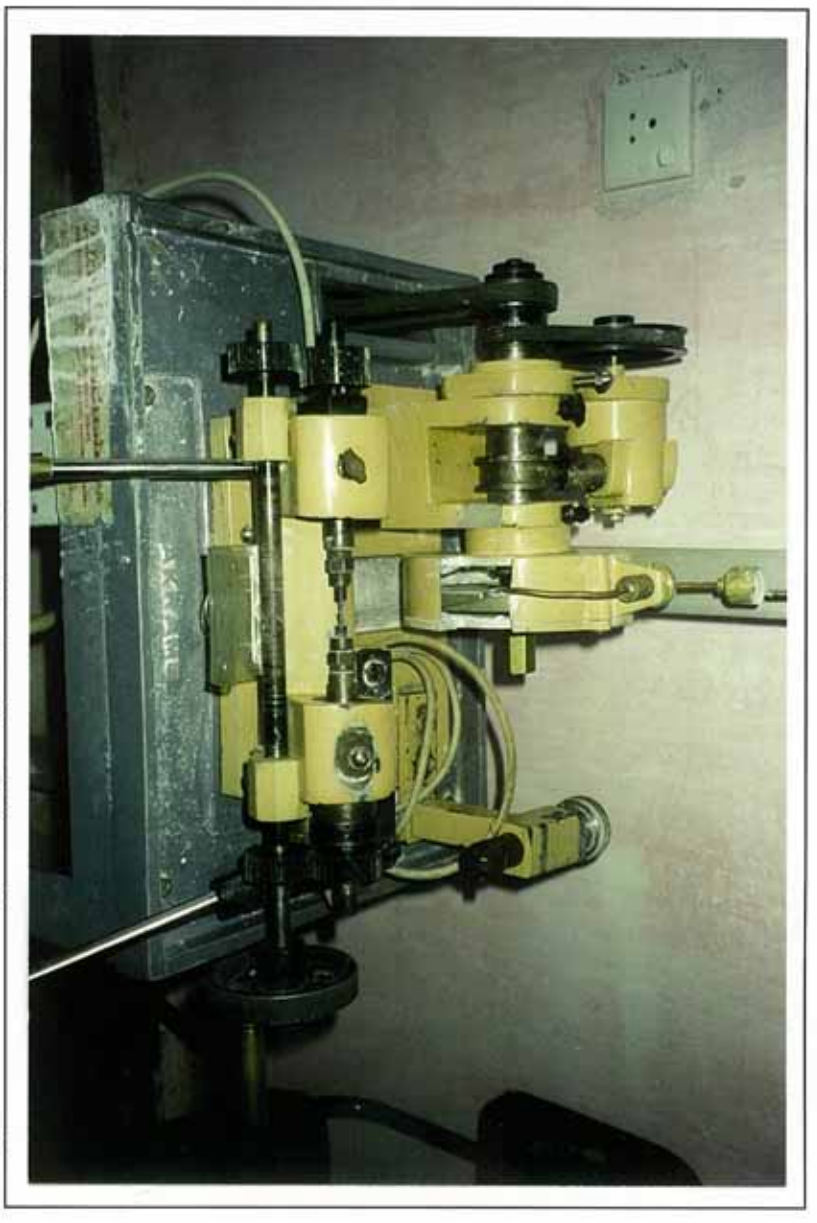
A Meethiyagoda, je constate que deux outillages de taille sont présents :

entre les doigts pendant qu'à la main un archet actionne l'axe du disque) est utilisé ébruter/polir...) mais principalement, un outillage « archaïque » (ou la pierre est maintenue Quelques machines « modernes électriques » (chablonneuses et tours électriques à

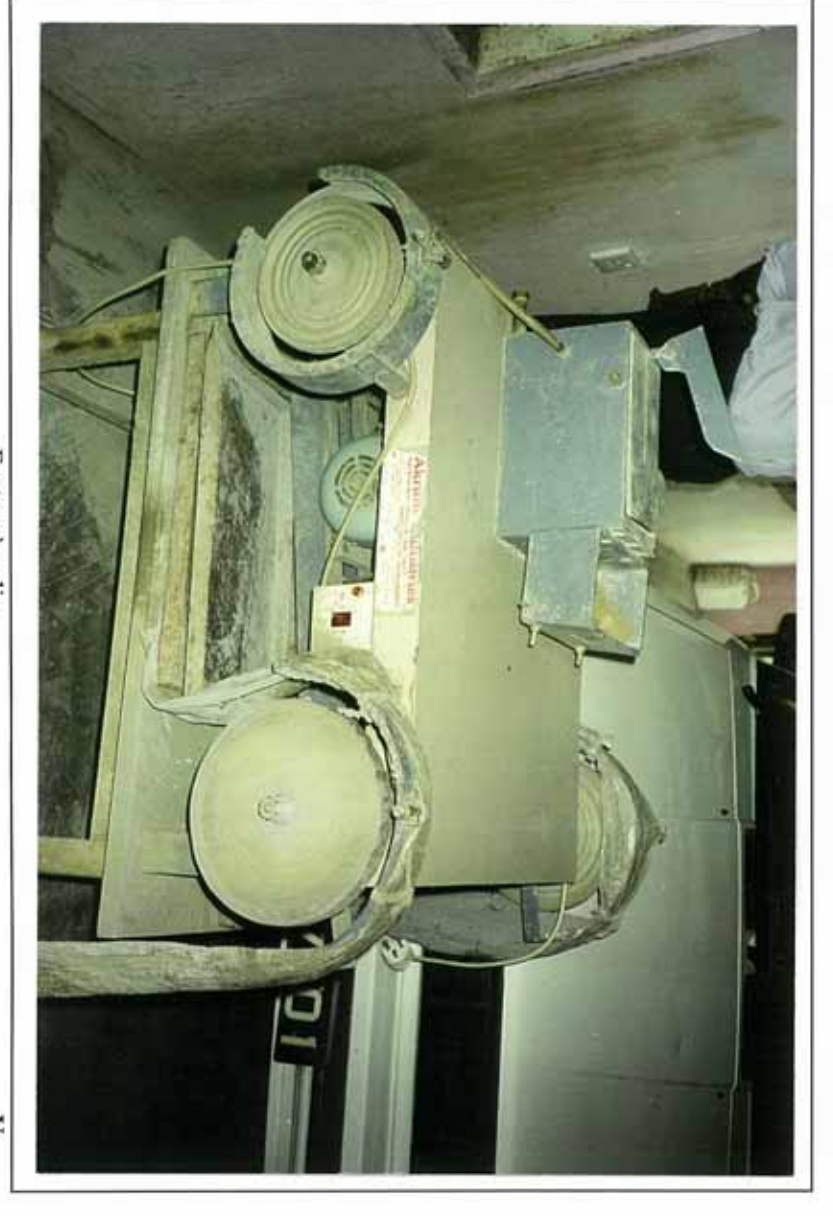
cuir à l'aide d'oxyde de cérium ou Linde A. Le brut se travaille et se sable rapidement. Les cabochons en PL se polissent sur feutre ou



L'ébrutage et le polissage sont encore exécutés à la main par certains lapidaires sur un axe horizontal entraîné par un arc.



Chablonneuse permettant de produire des tailles calibrées rapidement.



Feutres à polir

7

Evaluation

des CABOCHONS

Lors de l'évaluation 5 aspects sont observés : COULEUR

TRANSPARENCE
ABSENCE D'INCLUSION
GRANDEUR
PROPORTION (calibrage).

Couleur:

lorsque la pierre est manipulée. Les PL les plus prisées en Europe sont celles dont l'adularescence bleue est intense. Ce reflet bleu doit être uniformément réparti le long de la partie supérieure du cabochon

soleil et discutent le prix à l'intérieur. et bon nombre de bureaux de courtage présentent une certaine "obscurité". Dans ces conditions, juger la couleur d'une pierre s'avère fort difficile. En effet, les maisons Les indigènes observent généralement les pierres en main ou en plis sur fond blanc au soleil. Lors du négoce, acheteur et vendeur débattent de l'évaluation de la beauté des couleurs au

Inclusion et transparence

également offrir un aspect transparent. Les PL bleues de première qualité doivent être libres de toute inclusion visible à l'œil mais

Grandeur

cesse d'augmenter. Actuellement, les grandes PL bleues sont devenues difficiles à trouver. Leur demande ne par 12 mm de bonne qualité. Entre 1992 et 1996, les prix ont triplé pour les pierres supérieures à 10

Négoce

commercialisées (Harder, 1992). Pour les PL bleues, le facteur de la dimension est très important qualités et les quantités de PL exportées du Sri Lanka. Il semblerait que bon nombre de PL car les grandes PL se font rares à Meethiyagoda. Il n'existe pas de statistique concernant les disponibles sur le marché hors du Sri Lanka. La majorité des PL bleues taillées de (bleu-bleu) sont exportées vers l'Allemagne, la Grande Bretagne, le Japon. « bonne » partie de la pegmatite de Meethiyagoda sont de qualité suffisante pour être base de contrats individuels. Selon Harder, près de 25% des PL trouvées dans la exportées. Les lapidaires travaillent indépendamment (à partir de brut acheté) ou bien sur Meethiyagoda sont négociées initialement à Meethiyagoda, Galle et Colombo avant d'être Il est exceptionnel de voir des lots de pierres brutes de PL bleues de Meethiyagoda

sont en augmentation de prix. De façon générale, ces dernières années, on peut constater que sur les marchés, les PL bleues

Le tableau comparatif de cotations.

Sinkankas: Valeur indíquée dans le Standard Catalog of Gem Values Les cotations ont été effectuées entre 1992 et 1993.

E : Valeur indiquée dans le Standard Catalog of Gem Values converti en Euros

Description (Cabochons)	Sinkankas U.S \$	(m)
Fine blue: 1 à 3 ct	10 à 20	8.75 à 17.5
Fine blue: 4 à 9 ct	15 à 25	13.1 à 22
Fine blue: 10+	20 à 40	17.5 à 35
Fair to good blues 1 à 3 ct	7 à 10	6.1 à 8.75
Fair to good blues 4 à 9 ct	10 à 15	8.75 à 13.1
Fair to good blues + 10 ct	10 à 20	8.75 à 17.5
Fine siver white: 1 à 3 ct	8 à 10	7 à 8.75
Fine silver white: 1 à 3 ct	15 à 20	13.1 à 17.5
Fine silver white: 1 à 3 ct	15 à 25	13.1 à 22
Fair to good silver white: 1 à 3 ct	2 à 10	1.75 à 8.75
Fair to good silver white: 1 à 3 ct	2 à 15	1.75 à 13.1
Fair to good silver white: 1 à 3 ct	5 à 25	4.4 à 21.9

Tableau V

Chapitre IV:

Discussion et Conclusions

Discussion

FORMATION

produisent la meilleure qualité de PL) reste une énigme. La question qui concerne <u>l'origine géologique</u> du site de Meethiyagoda (les 4068 m² qui

Mais, nous constatons que:

- la majorité des pierres provenant de ce gisement sont de bonne qualité,
- les PL de la même qualité (bleu-bleu) sont rarement trouvées hors de ce site

Etant donné la qualité des pierres de ce gisement, on peut penser que les conditions optimales de mise en place de cette pegmatite pour l'obtention de PL "idéales" ont été réalisées à Meethiyagoda.

Ceci peut laisser penser aux hypothèses géologiques suivantes :

- importance de la qualité physico-chimique propre au batholite mis en place qui PL de cette qualité et sont exploitées pour la fabrication de porcelaines. permettrait d'expliquer la raison pour laquelle les feldspaths entourant le site n'ont pas de
- influence de la vitesse de refroidissement. Contrairement à ce qu'affirme Spencer, il me des gemmes formées (réf. observations de tests thermiques). semble que la vitesse de refroidissement pourrait jouer un rôle important pour la qualité
- Influence des mouvements tectoniques comme le suggère Harder

il est intéressant de constater que celles-ci ne se présentent pas sous la forme "hexagonale" Si l'on suppose que le refroidissement du batholite a donné naissance aux cassures verticales, comme dans les basaltes.

aient été occasionnées sous l'action de la tectonique car de telles cassures devraient alors se retrouver dans d'autres sites. En ce qui concerne l'origine des cassures horizontales, il me semble peu probable qu'elles

permettrait de mieux comprendre les différents mécanismes de mise en place. Sans doute, une étude tectonique plus détaillée de la zone (levé de détails, datation)

Conclusions

En guise de conclusion, nous constatons que concernant :

L'EXPLOITATION DU GISEMENT

« des pièces de collection ». PL bleues de la bonne qualité (blue-blue crystal) seront probablement considérées comme Progressivement, le gisement s'épuise. Ceci laisse donc présager que d'ici peu, les grandes Les PL sont recherchées par des méthodes qui restent fort rudimentaires et dangereuses

GEOCHRONOLOGIE

La datation des PL par l'analyse 40 Ar/39 Ar a permis de déterminer l'âge du site à 450 Ma.

LA CLASSIFICATION DES COULEURS DES PL BLEUES

nomenclature précise. Comme pour la grande majorité des autres gemmes, il n'existe pas de classification et de

rapidement la qualité d'une marchandise proposée (voir tableau page 62). Une classification des couleurs et de la pureté des PL sous forme de tableau permet de situer

travaux obtenus. échelle de référence des couleurs afin de pouvoir comparer plus efficacement les résultats des Si d'autres travaux sur les PL bleues doivent être faits, il serait intéressant d'établir une

LA DIFFUSION DE LA LUMIERE

par un élément étranger à la cryptoperthite (inclusion, couleur). de dire qu'il ne peut pas exister de pierre de lune bleue opaque sauf si la couleur est donnée La couleur bleue des PL est due au phénomène de la diffusion de Rayleigh. Ceci nous permet

TRAITEMENT THERMIQUE

Lorsqu'un traitement thermique important est appliqué transforme celles-ci en PL moins bleue, semi-transparente. aux PL (bleu-bleu, crystal), il

La diffusion de la lumière bleue est moins intense dans les échantillons chauffés

Ce qui laisserait penser à l'importance de la vitesse de refroidissement du gisement même de l'orientation du réseau cristallin et éventuellement de la structure microperthitique parallèles. Ce phénomène pourrait faire l'objet d'une étude cristallographique tenant compte Après refroidissement, certains Le changement de couleur des PL traitées thermiquement reste stable. échantillons chauffés présentaient des fractures internes

qui serait disponible pour consultation

CONFUSIONS POSSIBLES et DETECTION DES IMITATIONS de PL

Toutefois, il faut rester vigilant afin de détecter les doublets éventuels. instruments de gemmologies de base (polariscope, liquide dense, réfractomètre voir page 55). Les PL peuvent être facilement distinguées de la plupart des gemmes qui les imitent par les

et verre ou PL et quartz) sont présents sur le marché (voir page 58). Il est recommandé de "manipuler avec attention" les PL car des DOUBLETS (formés de PL

dans des lots importants. En effet, la lampe U.V. ne nécessite pas une étude séparée pour chaque gemme. L'utilisation de la lampe aux U.V courts se révèle fort pratique pour la détection de doublets

des PL massive de Meethiyagoda. La lampe aux U.V courts permet de distinguer rapidement les doublets (PL-verre/PL-quartz)

doublets montrent une fluorescence dans les tons bleus. Les PL de Meethiyagoda présentent une fluoresce dans les tons rose-violet alors que les

OBSERVATIONS AU MEB (Jeol 5800)

(microperthites) mais ne permet pas l'observation des PL bleues (cryptoperthites). Les lamelles dans les cryptoperthites sont trop petites pour être analysées avec Jeol 5800 Le microscope électronique à balayage permet l'observation de la structure des PL blanches

CARACTERISTIQUES DES PL BLEU-BLEU

présentent une structure plus fine, relativement régulière et plus de défauts en forme de "C" que les PL (bleues) ou blanches.. Comme observé par le microscope bleu MET CM-30, les échantillons de PL bleu-bleu

Les PL bleu-bleu présentent des cryptoperthites dont la largeur avoisine les 4 nm en

MET CM-30

Aucune trace d'infiltration d'eau (qui agrandi les distances entre les différents plans) n'a été détectée dans les échantillons observés. L'hypothèse du Dr Harder peut donc être réfutée

COMPOSITION CHIMIQUE

Les PL bleues de Meethiyagoda entrent dans la fourchette décrite par Spencer 30 à 40 % de feldspath sodique

70 à 60 % de feldspath potassique

L'échantillon testé par Jeol5800 montrait un écart de 2% par rapport à ces valeurs

NEGOCE

La forte augmentation des prix des PL constatée sur le marché résulte de la diminution de rendement des puits et l'appauvrissement progressif du site de Meethiyagoda.

ETUDES ULTERIEURES A ENVISAGER

Il serait intéressant qu'une étude du site de Meethiyagoda soit réalisée par un géologue structuraliste parallèlement à une étude des PL au MET.

en place du site et la qualité des PL bleues de Meethiyagoda. Ces deux études menées conjointement pourraient démontrer le lien qui existe entre la mise

Chapitre V:

ANNEXES

Altération des feldspaths MET (PhilipsCM30) Pierres de lune et Civilisations Autres gisements de PL au Sri Lanka Fiches minéralogiques ChronologieEtymologie VocabulaireCristaux et Macles

Fiches Minéralogiques

(Source : Dana E, 1949)

Albite.

Composition Chimique		Indice de Réfraction	élémentaire	Dimension de la maille	Transparence	Eclat	Couleur	Densité	Dureté échelle de Mohs	Clivage	Système cristallin
Na (AlSi ₃ O ₈) (Na, Ca) (AlSi ₃ O ₈)	$\gamma = 1.588$	$\alpha = 1.529$	$\alpha = 93.5^{\circ}$ $\beta = 116.4^{\circ}$ $\gamma = 90.3^{\circ}$ (Smith J., 1972)	a=0.81 b=1.28 c=0.71 nanomètre	Transparent à translucide	Vitreux à nacré	Incolore, blanc, gris parfois verdâtre ou jaunâtre	2.62 quand « pur » et peut atteindre 2.76	6	(001) parfait et bon suivant (010)	Triclinique

Sodaclase, tétartine, zygadite. Synonymes: Adinole, olafite, cryptoclase, hyposclérite, péricline, kieselspath, peristerite

Elle peut se trouver en inclusion dans l'orthose Rem : la littérature minéralogique mentionne également de l'albite monoclinique qui est appelée barbierite.

peuvent occasionnellement être allongés suivant l'axe b. Les cristaux d'albite se présentent habituellement sous forme tabulaire parallèle à (101) et

(010) ^ (001) est de 86° Les macles d'albite dont le plan de macle est en (010) sont généralement polysynthétiques et Les cristaux d'albite sont souvent maclés par ex : macles de Carlsbad, Baveno, Manebach.

Identification:

est soluble dans HCl). Jaune à la flamme Test de densité, indice de réfraction, insoluble à l'acide chlorhydrique (alors que l'anorthite

Classification:

alkali feldspars) L'albite comme l'orthose et le microcline sont classés comme des feldspaths alcalins (en anglais :

discutée, l'existence d'albite pure monoclinique est maintenant certaine. Cette albite pure ne se trouve pas dans les roches mais est un composé de synthèse. A basse température la teneur en potassium est très limitée, les désordonnée et peut contenir du potassium pour former une solution solide avec la sanidine. L'ALBITE est le terme extrême triclinique de NaAlSi3O8; comme la sanidine l'albite de haute température est atomes de silicium et de potassium occupent des sites bien définis et le cristal est ordonné (Bariand et al., 1977) Longtemps

Orthose:

Système cristallin ² Polariscope	Monoclinique (prismatique) Anisotrope
Clivage	Parfait en (001), moins bon en (010). Peut présenter un plan de séparation dans la direction (100).
Fracture	Conchoïdale à irrégulière
Dureté échelle de Mohs	6
Densité	2.56 (adulaire)
	2.58 (sanidine)
Couleur	Incolore, blanc, jaune-pâle, gris, rouge vif
Eclat	Vitreux parfois nacré
Transparence	Transparent à translucide.
Indice de Réfraction	$\alpha = 1.519$
	$\beta = 1.523$
	$\gamma = 1.525$
Dimension de la maille	a=0.860 b=1.303 c=0.718 nanomètre
élémentaire	$\alpha = 90^{\circ}$ $\beta = 116.0^{\circ}$ $\gamma = 90^{\circ}$ (Smith J., 1972)
Composition Chimique	K AlSi ₃ O ₈ (Silicate d'aluminium et de potassium) Le sodium est fréquemment présent, remplaçant le
	potassium. Ces variétés sont connues sous le nom de Soda-Orthoclase (mais les teneurs en Na restent faibles):
	(K, Na) AlSi ₃ O ₈

Synonymes: Leelite, napoleonite, orthoclase, pegmatolite, orthoclasite, delawarite.

L'ORTHOSE D'ITRONGAY est de qualité gemme (transparente et de couleur jaune à

Sa couleur est due à une forte teneur en fer. Elle provient de la région d'Itrongay (Madagascar) (Moine, 1995).

système orthorhombique. parfois lamellaire. Les cristaux se présentent souvent sous la forme prismatique dont l'aspect peut ressembler au De nombreux spécimens se présentent de façon massive et même

Peu de cristaux se présentent sous la forme tabulaire.

sont très fréquentes. La macle de Carlsbad, de Baveno, de Manebach et des macles de pénétrations irrégulières

Identification:

forme cristalline, 2 plans de clivage perpendiculaires, pas attaquable à l'acide.

² Les études récentes ont montré la coexistence dans le cristal de domaines tricliniques partiellement ordonnés à sanidine et la microcline et pouvant être considéré comme un microcline maclé (Bariand, et al., 1977). l'échelle de la maille avec une géométrie déformée. L'orthose est en quelque sorte un feldspath figé entre la

Réaction:

souvent ces feldspaths par des procédés complexes de solution et substitutions. conservant la même forme extérieure) après l'orthose. La cassitérite et la calcite remplacent L'orthose est fréquemment altérée suite à l'action de solution(s) alcaline et/ou carbonatée qui « enlèvent » le potassium et le transforme en kaolin. La stéatite, le talc, la chlorite, la leucite, les micas, la laumontite proviennent de la pseudomorphose (transformation chimique mais

en chauffant une solution gélatineuse à base d'aluminium, silicium, eau et de l'hydroxyde de potassium ou bien en chauffant du silicate de potassium avec de la muscovite et de l'eau. leucite (K, AlSi2O6). REM : L'orthose a été synthétisée par méthode de fusion anhydre et méthode hydrothermale Lorsque l'orthose synthétisée est chauffée au-delà de 1170 °C, il se transforme en verre et

ANORTHITE:

L'anorthite et l'albite forment une solution solide

Composition Chimique	Indice de Réfraction	élémentaire	Dimension de la maille	Transparence	Eclat	Couleur	Densité	Dureté échelle de Mohs	Clivage	Système cristallin
CaAl ₂ Si ₂ O ₈	1.575 1.588 birefr. = 0.013	$\alpha = 93.2^{\circ}$ $\beta = 115.8^{\circ}$ $\gamma = 91.2^{\circ}$ (Smith J., 1972)	A=0.818 b=1.288 c=1.417 nanometre	Transparent	Vitreux	Incolore	2.76	6-6.5	Parfait en (001), moins bon en (010)	Triclinique

thiorsauite, indianite, diploïte, amphodélite, lépolite, cyclopite, barsowite. Synonymes: biotine, calcioclase, huronite, christianite, cristianite, lime feldspar,

ADULAIRE :

Formule: Or90Ab9An1

classique dans les filons aurifères des cordillères récentes (Bariand et al, 1977). L'adulaire peut se rencontrer en cristaux plus petits dans les filons hydrothermaux. Elle est (pierre de lune), ont un faciès pseudo-orthorhombique ou même pseudo-rhomboédrique. Description: les cristaux souvent gros, transparents ou translucides avec un éclat nacré

« presque » pure de silicate de potassium qui montre souvent des macles de Baveno. quartz et albites.. L'adulaire est originaire du St Gothard (Suisse) où elle est trouvée dans des schistes avec des Dans le « Textbook of mineralogy », Dana mentionne que l'adulaire est une variété

au Colorado, Barringer Hill au Texas.... la valencianite (Valencia Mine, Guanajuato au Mexique) est également une adulaire. Aux Etats-Unis des adulaires peuvent être prospectées (à Hot Springs en Arkensas, Mt Antero

L'adulaire est une orthose qui a cristallisé à basse température (+/- de 400 °C) (Simpson, 1989).

Parmi tous les minéraux, les feldspaths sont les principaux constituants de l'écorce terrestre roches ignées. Ils peuvent être trouvés dans de nombreuses roches mais sont fortement répandus dans les

ambiante (Smith, 1974). Le schéma ci-dessous illustre et indique la nomenclature des feldspaths suivant Or-Ab-An à température

nombreuses varietes gemmes : Les feldspaths comprennent de

- généralement donnée par le fer Orthose, la couleur jaune est
- la Pierre de Lune
- la spectrolite, la labradorite
- l'amazonite
- l'oligoclase "pierre de soleil"

Du point de vue chimique, les feldspaths sont des tectosilicates.

Les feldspaths sont des solutions solides

(NaAlSi₃O₈ - KAlSi₃O₈ - CaAl₂Si₂O₈)

- qui se forment en deux groupes :
- les feldspaths calcosodiques ou plagioclases (dont la teneur en potassium est très faible).

des analogies3 leur histoire thermique composition chimique, mais aussi de la température et des conditions de cristallisation et de Les propriétés cristallines des feldspaths (leur densité et leurs propriétés optiques) présentent Cependant, leurs faibles différences ne dépendent pas uniquement de leur

(le point de transformation se situant vers 700°C). L'orthose (également appelée orthoclase) sanidine (monoclinique) et sous forme de microcline (triclinique) stable à basse température est monoclinique. L'orthose représente un état intermédiaire entre la sanidine et le microcline. Le feldspath potassique KAlSi₃O₈ se présente sous forme stable à haute température, la

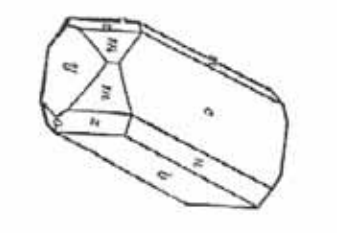
deux phases se séparent, l'une riche en K, l'autre riche en Na et s'orientent dans des directions élevée de la **monalbite** (monoclinique). Les feldspaths alcalins peuvent exister dans des phases homogènes (K, Na) AlSi₃O₈ de l'orthose jusqu'à l'albite. Mais au refroidissement, triclinique, chauffée elle fournit de l'analbite (triclinique (désordonnée)) et à température plus cristallographiques bien définies. Cette épitaxie est une perthite quand l'orthose domine et On retrouve des faits similaires avec l'albite (NaAlSi₃O₈) qui se présente sous forme

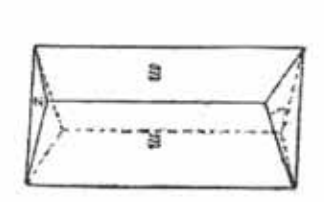
les feldspaths alcalins (contenant peu de calcium), Nomenclature des feldspaths (Smith, 1974)

³ Tous les feldspaths monocliniques ou tricliniques ont des paramètres du même ordre de grandeur et des structures analogues. L'angle β varie très peu (Bariand et al., 1977).

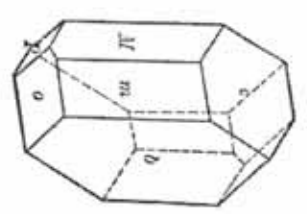
une antiperthite quand c'est l'albite. feldspaths potassiques. Le celsian (Ba Al₂Si₂O₈) est monoclinique (Simpson, 1989). Le baryum peut entrer dans la composition des

Facies de cristaux





Cristaux d'orthose



Cristal d'albite (Dana)

Principales macles dans les feldspaths

La morphologie des macles dépend de la symétrie du réseau cristallin, de leur provenance mais également de l'histoire tectonique de la roche dans laquelle elles se sont formées. Il a été constaté que les hautes températures favorisent les désordres atomiques et la possiblité de développer des macles (Smith, 1974).

Les macles dans les feldspaths peuvent se produire :

- comme phénomène primaire durant la croissance du cristal,
- par glissement suite à une déformation,
- lors de changements thermiques qui induisent une symétrie plus basse (Deer et al., 1993).

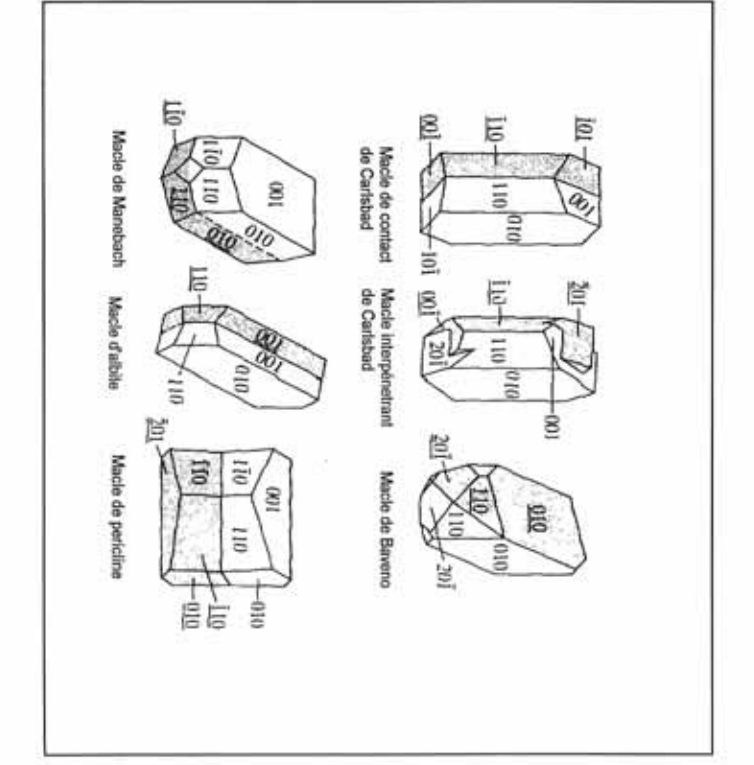


TABLEAU RESUME des FELDSPATHS ALCALINS:

Variété Formule Chimique Système de Cristallisation Remarque

Celsian			Orthose	←	Albite		
	Sanidine	Microcline		\rightarrow		Analbite	Monalbite
BaAl ₂ Si ₂ O ₈	KAISi ₃ O ₈	KAISi ₃ O ₈	KAISi ₃ O ₈	(Na, K)AISi₃O8 ← → → (K, Na)AISi₃O8	NaAlSi ₃ O ₈	NaAlSi ₃ O ₈	Monalbite NaAlSi ₃ O ₈
Monoclinique	Monoclinique	Triclinique	Monoclinique	L'albite et l'orthose existent dans des phases homogènes à haute température	Triclinique	Triclinique	Monoclinique T>1251K
Le baryum peut entrer dans la composition des feldspaths potassiques	stable à haute température (+700°)	stable à basse température (-700°)		Au refroidissement, deux phases se séparent, l'une riche en K, l'autre riche en Na et s'orientent dans des directions cristallographiques bien définies. Cette épitaxie est une perthite quand l'orthose domine et une antiperthite quand c'est l'albite.		Albite haute température (désordonnée)	Albite à très Haute température

ION DES FEI

dans des conditions différentes de leur genèse, ces espèces ne sont plus en équilibre températures élevées et de fortes pressions. thermodynamique. Les minéraux qui constituent le substratum silicaté de la lithosphère ont été engendrés par des Lorsque les roches sont placées en surface ou

A plus ou moins longue échéance, ces roches auront un comportement d'édifice instable vont peu à peu être libérés (Universalis, 1995). Leur «carcasse » va se disloquer de telle sorte que les éléments chimiques de leur constitution

La composition résultant de l'altération dépendra de la quantité de silice qui s'échappe par

Lors de la décomposition de la roche plusieurs facteurs interviennent :

- décomposition), les facteurs climatiques (la chaleur et l'humidité accélèrent la
- la composition de la roche mère⁴,
- la matière végétale présente (qui agira sur la composition de l'humus).

Lorsque l'altération est forte, l'hydrolyse⁵ est favorisée et deux cas peuvent se présenter :

- J soustraction (dégradation) ou par addition (aggradation). On assiste à une Lorsque la charpente silicatée est conservée et que des cations sont déplacés par vermiculites et des interstratifiés. transformation des minéraux argileux qui donnent naissance à des smectites, des
- 2 d'aluminium (gibbsite), lorsque toute la silice est évacuée par un bon drainage minéraux à partir des débris des anciens minéraux et il y a alors néoformation par Lorsque la charpente silicatée est détruite, il peut y avoir formation de nouveaux exemple de la kaolinite à partir de feldspaths en voie de destruction et des hydroxydes
- restent en solution jusqu'à des valeurs fortes de pH (ex : Na+, Ca++, Mg++), Les ions à faible potentiel ionique (faible charge et rayon ionique important)
- d'hydroxyde (par ex : Al sous la forme de Al(OH)3 Les ions à potentiels ionique moyen précipitent par hydrolyse à l'état
- anions complexes avec l'oxygène. Les ions à fort potentiel ionique (charge élevée et faible rayon) forment des

⁴ La composition de la roche mère intervient par la richesse en cations alcalins capables de saturer les acides organiques. Ils empêchent l'acidité du sol de croître et permettent au processus d'humification de se poursuivre.

⁵ L'hydrolyse se fait par les eaux d'infiltration pouvant produire des colloïdes

Le pH d'une solution règle la stabilité des éléments. La silice et l'alumine se comportent différemment en fonction du pH.

- en milieu ACIDE, l'alumine est plus soluble que la silice,
- en milieu NEUTRE, l'alumine est insoluble, tandis que la silice conserve sa
- en milieu ALCALIN, les solubilités des deux oxydes se rejoignent et croissent ensemble

lessivé, la silice est évacuée et il ne subsiste que l'alumine La solubilité de la silice étant constante dans la gamme des pH naturels, lorsque le milieu est

Filtration Ac	Milieu acide Semi-confiné	Milieu > C Confiné	Drainage
Acide	ide	> ou = 7	pН
allitisation ⁸	monosiallitisation ⁷ Kaolinite	bisiallitisation ⁶	Processus de Néoformation
Gibbsite	Kaolinite	Smectite	Argile
Toute la silice est éliminée			type

(Caron et al., 1995)

⁶ Type d'altération qui se présente globalement sous la forme 5 orthose + 20 H₂O→beidellite + solution. Cette réaction se traduit par une perte de silice de 50% du contenu initial et 80% de l'orthose (ces chiffres ne sont pas immuables et dépendent des substitutions Si-Al des couches de l'argile.

Beidellite: (Na, Ca_{0.5})_{0.3}Al₂(Si,Al)₄O₁₀(OH)₂.nH₂O (Fleisher et al., 1995)

[«] lessivage » de la silice est plus important, le départ du potassium est total.
Kaolinite: 2H₂O. Al₂O₃. 2SiO₂ (Bariand et al. 1977) ⁷Type d'altération qui se présente globalement sous la forme 2 orthose +11 H₂O→Kaolinite + solution. Le

réaction : 1 orthose + 8 H₂O→gibbsite + solution. Cette réaction se traduit par une perte en SiO₂ et cations basiques (K) correspondant à 100 % (Universalis, 1995). Type d'évolution qui conduit à la genèse d'hydroxyde d'aluminium pur du type gibbsite Al(OH)3, suivant la

Vocabulaire

ACIDE HUMIQUE

et 38 % d'oxygène. Cet acide provient de polymérisation (association de nombreuses plantes. Par décomposition, la fraction soluble de l'humus donnera naissance à l'acide (Caron et al., 1995) molécules relativement petites pour former de grandes molécules complexes). humique. L'acide humique est composé de 55 % de carbone, 3.5 % d'oxygène, 3.5 % d'azote L'humus résulte de la décomposition de débris organiques provenant essentiellement des

ANORTHOCLASE (Na,K)AISi3O8

adularescence bleue et peuvent être repris sous l'appellation « Pierre de lune » (Dana's, 1997). Sa composition se rapproche de celle de la sanidine riche en Na mais il n'existe pas de Minéral appartenant au groupe des feldspaths trouvés dans des laves légèrement alcalines polymorphisme avec cette dernière. De nombreux matériaux de cette composition ont une

ARGILE

essentiellement argileux extrêmement petits ne pouvant être décelés qu'aux rayons-X résidus d'organismes calcaires et de substances organiques ainsi que des minéraux desséchées et indurées). Les composants des argiles sont le quartz, le feldspath, le mica, des argiles lorsqu'elles sont partiellement déshydratées et plastiques (argilites lorsqu'elles sont (Schumann, 1985). Les roches sédimentaires détritiques silico-alumineuses à granulométrie fine sont appelées

BATHOLITE

Grande masse de roches endogènes profondes, en forme de dôme

BIOTITE

granites, schistes, gneiss et les roches de métamorphisme de contact. (Read, 1982) Monoclinique. Transparent à translucide. La biotite est très fortement répandue dans les Variété noire, brun foncé ou vert-noire de micas. K(Mg, Fe)3 AlSi3O10(OH,F)2

CATHODOLUMINESCENCE

observée sur un écran de télévision. est émise par la zone superficielle de la matière. Au microscope électronique, elle est Luminescence due à un faisceau d'électrons sur la matière dans le vide. Cette luminescence

CHARNOCKITE

caractéristique est l'hypersthène (Schumann, 1985). Roche pouvant être considérée comme variété de granulite et d'hyperstène dont le composant

CRYPTOPERTHITE

Structure montrant l'existence de lacune de miscibilité à certaines températures et dans indécelables au microscope optique et décelables aux rayons-X. (Lasnier, 1995) certains domaines de composition. Ces structures ont entre 1 et 5 nm. Elles sont

DIFFRACTION ELECTRONIQUE:

dépend de leur vitesse. Les électrons accélérés sous 300 kV ont une longueur d'onde associée de 0.0036 nm et ils sont donc susceptibles d'être diffractés par les réseaux cristallins. Lorsque les électrons sont accélérés, une onde leur est associée dont la longueur d'onde

La diffraction ne peut être observée en transmission qu'avec des échantillons de très faible

relations d'orientation entre plusieurs microcristaux. Elle est utilisée en complément de l'imagerie pour caractériser les cristaux (Hawkes, 1995). La diffraction électronique permet l'identification de phases cristallines et la détermination de

DIOPSIDE (Ca, Mg) Si₂O₆

groupe des pyroxènes (1985, Schumann) Cristaux monocliniques de couleur, vert, gris, jaune, incolore. Ce minéral appartient au

ELEMENT EN TRACE:

nouveaux minéraux. dispersés dans les phases liquide ou solide mais qui ne déterminent pas l'apparition de Eléments qui peuvent se substituer aux éléments majeurs dans les minéraux et qui sont

EPITAXIE:

l'arrangement des atomes sur leur face commune (Larousse, 1966) Orientation mutuelle de cristaux de substances différentes due à des analogies dans

EUTECTIQUE (mélange):

fusion du mélange des mêmes corps dans d'autres proportions" (Universalis, 1995). bien déterminée. La température de fusion de l'eutectique est inférieure à la température de Mélange présentant la propriété d'avoir une température de fusion unique et une composition

FLUORESCENCE

(U.V., rayons X, rayons cathodiques). Emission de lumière visible par un corps soumis à un rayonnement pouvant être invisible

l'excitation. toute ou partie de l'énergie sous une autre longueur d'onde du domaine du visible pendant Le phénomène de fluorescence consistant en l'absorption d'une radiation et réemission de

GIBBSITE

Hydroxyde d'aluminium également connu sous le nom de hydrargillite à 4 μm. La gibbsite se trouve souvent dans les sols sous climats tropical (Universalis, 1995). Cristallise dans le système monoclinique, se présente sous forme de petits cristaux de 2

GNEISS

s'arrangent perpendiculairement à la direction de pression de la roche (Schumann, 1985) paragneiss. Les gneiss ont en commun une structure grossièrement grenue et une schistosité accessoires : la biotite, la muscovite l'amphibole, le grenat, la sillimanite. Ils sont composants essentiels des gneiss sont les feldspaths puis les quartz avec comme minéraux de roches ignées sont appelés orthogneiss et ceux d'origine sédimentaire sont appelés (faible à nette). Cette schistosité est due à la disposition des cristaux de biotite qui habituellement de couleurs claires, grises, verdâtres, brunâtres et rougeâtres. Les gneiss issus Les gneiss comprennent des minéraux de compositions très variées. De façon générale les

GRANITE

Roche intrusive constituée essentiellement de quartz, d'orthose et de biotite (De Michele, 1972).

GRANULITE

accessoires sont le pyroxène, le grenat, le disthène, la sillimanite (Schumann, 1985) grossièrement schisteuse à presque massive souvent rubanée. les feldspaths et le quartz qui sont cristallisés sous forme de plaquettes. Les minéraux La granulite est considérée comme un gneiss dépourvu de mica dont la structure est grossièrement schisteuse à presque massive souvent rubanée. Les minéraux essentiels sont

HORNBLENDE Ca₂Na (Mg, Fe²)₄ (ALFe³) ((Si,Al)₄ O₁₁)₂ (OH)₂

groupe des amphiboles (1985, Schumann). la couleur est de verte à noire. Eclat : vitreux, parfois soyeux. . Cristaux monocliniques se présentant sous forme columnaire court à contour hexagonal dont Ce minéral appartient au

HYPERSTHENE (Fe, Mg)₂ Si₂O₆

vert noirâtre, brun noir ou rougeâtre. Eclat : vitreux à métallique. Ce minéral appartient au groupe des pyroxènes (1985, Schumann) Cristaux orthorhombiques se présentant sous forme tabulaire, columnaire dont la couleur est

IDIOMORPHIQUE

(Read, 1982). Terme utilisé pour décrire un cristal qui montre un habitus présentant ses formes propres

LMENITE

(MnTiO₃) (Fleischer et al., 1995). FeTi O3, trigonal, forme deux séries solides avec la geikielite (MgTi O3) et la pyrophanite

KAOLIN

Argilite formée principalement par de la kaolinite, contenant du quartz et du mica (Schumann,

Composition: 2H₂O. Al₂O₃. 2SiO₂

propriétés différentes (la nacrite, la dickite, la kaolinite). Elles sont toutes monocliniques parfois brun, bleuté ou rouge. Les kaolins se répartissent en trois espèces qui possèdent des friable ou "farineuse". Eclat des disques : nacré à mat. Couleur : Blanc, gris-blanc, jaune, Forme habituellement des masses argileuses. Le kaolin peut se trouver sous forme compacte, (Dana, 1949).

KAOLINITE

Composition : $Al_4(Si_4O_{10})$ (OH)₈

observables au microscope électronique. atmosphérique ou hydrothermale de basse température (Bariand et al., 1977). cryptocristallines dont les cristaux sont empilés les uns sur les autres et sont seulement écailles hexagonales flexibles mais non élastiques. En général, elle forme des masses La kaolinite est triclinique. Les cristaux sont exceptionnels et le plus souvent très petits : La kaolinite se forme en milieu acide par altération

KELVIN

Unité de mesure de température (symbole K) égale à la fraction 1/273.16 de la température thermodynamique du point triple de l'eau (Larousse, 1966).

LEUCITE

Minéral, cubique, incolore, KAl(Si O₃)₂, (Read, 1982).

Lorsque un feldspath est fondu, il se transforme en verre et leucite (KAlSi₂O₆) (Spencer, 1930)

LINDEA

filiale de Union Carbide (communication personnelle, Ahlstedt P., 1998). d'aluminium dont les grains ont 0.3 micron de grandeur. Le Linde A est produit par "Praxair", Linde A. Ce produit est obtenu par réaction chimique, il constitué de la phase α d'oxyde De nombreuses gemmes (grenats, chrysobéryls, saphirs, quartz....) sont polies à l'aide de Le Linde A est une poudre que l'on mélange à l'eau pour être utilisée comme pâte à polir

LUMINESCENCE

longueur d'onde se trouve dans le spectre visible (Read, 1991). incandescent ou de le brûler, ce corps peut convertir cette énergie en une radiation dont la Lorsqu'un corps reçoit une quantité d'énergie inférieure à celle qui lui permettrait d'être

MACLE

commun) aux deux ou plusieurs cristaux d'orientations différentes (Fritsch, 1987). d'une même espèce minérale. Elle est due à l'existence d'un réseau commun (ou presque Une macle est une association suivant des lois géométriques bien définies de deux individus

MEB voir "microscope électronique à balayage"

MET voir "microscope électronique à transmission"

MICROCLINE

y a exsolution d'une phase albite. C'est donc une perthite (Bariand et al. 1977) variable et l'on passe insensiblement de la symétrie triclinique à la symétrie monoclinique. Feldspath triclinique basse température du feldspath potassique. La triclinicité de la maille est

Variétés : microcline vert, amazonite (variété gemme) (Moine, 1995) .

MICROPERTHITE

décelables au microscope pétrographique (Lasnier, 1995). certains domaines de composition. Ces structures ont entre 5 et 100 µm . Elles sont Structure montrant l'existence de lacunes de miscibilité à certaines températures et dans

MICROSCOPE ELECTRONIQUE A BALAYAGE (MEB)

puis arrêtés (à l'exception des électrons rétrodiffusés). Lors de leur ralentissement ces électrons créent des signaux différents qui vont servir à constituer des images (Hawkes, 1995). Les électrons du microscope pénètrent en faible profondeur. Ces électrons seront ralentis Microscope où l'échantillon est exploré sous vide par un faisceau d'électrons ligne par ligne

MICROSCOPE ELECTRONIQUE A TRANSMISSION (MET)

renseignements sur la structure projetée de l'échantillon. Les lentilles magnétiques en aval de cas atteindre une résolution "atomique" (Hawkes, 1995).. Voir page 91 l'objet agrandissent l'image qui est visualisée sur un écran. Ce microscope peut dans certains faisceau lumineux. Microscope où l'échantillon est soumis sous vide à un faisceau d'électrons au lieu d'un Ce faisceau d'électrons traverse l'échantillon. Il fournit des

PEGMATITE

parfois syénitique ou autre, très riche en minéraux accessoires parfois exploitables minéraux accessoires les plus communs sont le béryl et la tourmaline (De Michele, 1972). industriellement. Les minéraux essentiels sont les feldspaths, le quartz, la muscovite et les Roche filonienne à grains très grossiers de composition généralement granitique, mais aussi

PEKIHITE

l'œil nu (Lasnier, 1995). certains domaines de composition. Ces structures ont entre 1 et 0.1 mm. Elles sont visibles à Structure montrant l'existence de lacune de miscibilité à certaines températures et dans

PHLOGOPITE

Monoclinique, (KMg₃ Si₃AlO₁₀(F,OH)₂, forme une série solide avec la biotite (K(Mg, Fe)₃ AlSi₃O₁₀(OH,F)₂) (Fleischer et al., 1995).

PHOSPHORESCENCE

rayonnement. Luminescence d'un corps qui dure pendant un temps assez long après excitation par un

PLAGIOCLASE

solide complète à haute température entre l'albite et l'anorthite avec remplacement exactement perpendiculaires entre eux (par opposition aux orthoclases). Il existe une solution isomorphique de NaSi par CaAl Sont désignés par ce terme la série de feldspaths calco-sodiques dont les clivages ne sont pas (Bariand et al., 1977).

SANIDINE

forme monoclinique de KAlSi₃O₈. Elle cristallise dans le système monoclinique (Universalis, La sanidine est un feldspath produit à haute température et haute pression. La sanidine est la

SELENITE

phénomène de chatoyance. de " selenite Variété de gypse. D'après Chester, les pierres de lune des anciens étaient des variétés (Clark, 1993). Les formations fibreuses taillées en cabochon présentent le

SPECTROSCOPIE RAMAN

diffusion de la lumière par l'effet Raman est caractérisée par une diffusion avec changement de fréquence. Méthode d'identification basée sur l'analyse d'un spectre de vibrations moléculaires. La (AFG, 1992). La source lumineuse provient d'un faisceau de photons générés par un laser

SYENITE

en association avec des micro ou cryptoperthites (Universalis, 1995) la présence de feldspath alcalin (orthose ou microcline) et plagioclase sodique généralement Le terme syénite désigne actuellement une roche éruptive à structure grenue caractérisée par

TECTOSILICATES

donc pas de valence négative disponible. La substitution de Si par Al introduit des charges négatives pouvant être neutralisées par des cations comme Na, Ca, K se plaçant dans les cavités plus ou moins ouvertes de la structure. A ce groupe appartiennent les minéraux du groupe de la silice, les feldspaths et les feldspathoïdes, les zéolites... (Bariand et al., 1977). Les tectosilicates sont constitués par un squelette ou charpente tridimensionnelle de tétraèdres liés entre eux par tous leurs sommets. La formule est donc essentiellement SiO₂ et il n'y a

XENOMORPHE

Terme utilisé pour décrire un cristal qui se présente sans formes propres.

Etymologie

ADULAIRES ou ADULARIA (adular)

sont également appelées adulaires... Lorsque nous consultons différents ouvrages, nous remarquons que certaines pierres de lune

erreur à la proviennent les adulaires. Adulaire était réservé à la variété de PL que l'on trouve en Suisse, de couleur blanche ou incolore (Dana, 1997). féminin), un massif des Alpes centrales en Suisse (3398 m au Rheinwaldhorn) attribué par Ce substantif provient de Adula (Adulaire peut être utilisé comme adjectif et substantif

Le terme <u>adularia</u> fut introduit en 1783 par Pini et fut repris par Greville en 1798 et en 1850 par Daubeny dans la seconde édition de Atomic Theory où il indique que « dans certains feldspaths, il y a plus de sodium dans l'orthose... » .

"adular" (adulaire) (Brøgger, 1890). Les anciens ouvrages allemands mentionnent "Labradorsyenite" pour le mot

ALBITE

definit comme « forms a constituent part of the greenstone rocks in the neighbourhood of Berzelius en <u>alb</u>-us blanc + -ite l'adaptation pour la forme minéralogique. Provient du latin « ALBUS » signifie blanc. En 1814, « albus » fut modifié par Gahn et Edingburgh » (Simpson, 1989). Ce n'est qu'en 1843, dans son dictionnaire géologique que Humble reprend le mot albite et le

ANORTHOCLASE

orthoclase) faisant allusion à une moindre symétrie que l'orthoclase (Smith, 1974) Nom donné par Rosenbusch en 1885 à des minéraux trouvés dans des laves « alcalines » . L'origine du mot provient du grec et signifie « cassure qui n'est pas droite » (a privatif +

FELDSPATH

première fois en 1757 par Costa E. M. dans « Natural History Fossils ». spat : cristal). Ce mot aurait été introduit par J. Tilas (1740). aurait son origine dans la langue suédoise sous la forme « feldtspat » (feldt : champ labouré clivant facilement (GIA, 1980). (Dans aucun dictionnaire allemand, je n'ai retrouvé « SPAR » serait à l'origine un mot utilisé par les mineurs pour décrire les roches brillantes Le Oxford English Dictionary quant à lui relate que le nom feldspath fut mentionné la l'orthographe « Fieldspar »). L'encyclopédie Universalis quant à elle indique que le mot D'après le G.I.A, ce mot trouverait son origine dans la langue allemande « Fieldspar ».

FELSPAR

anciens ouvrages anglais (G.B) (Herbert, 1949). été retenue et elle est considérée comme erronée. Felspar se retrouve dans de nombreux Le mot felspar fut introduit en anglais par Richard Kirwan, mais cette orthographe n'a pas

d'où je l'écris felspar » (Simpson, 1989) Dans des notes de 1794, Kirwan écrit : « Ce nom me semble dérivé du mot fels, une roche

peuvent être trouvées (Dana, 1949). BAVENO (Macle de): Localité située en Italie dans le Piémont où ces macles d'orthoses

trouvées (Dana, 1949). KARLSBAD (Macle de): Localité située en Bohème où ces macles d'orthoses peuvent être

ORTHOSE (orthoclase)

sous la forme de orthoklas. (En 1849, Nicol indiquait que l'orthose contenait du sodium et du potassium (Simpson, 1989)). Plus tard le mot fut introduit dans la langue anglaise par Dana en 1850 (Clark, 1993). introduit par Haiiy en 1801 sous la forme de orthose puis traduit par Breithaupt en 1823 Ortho vient du grec signifie « droit », et klassis clivage, cassure ». Initialement le mot fut

PERTHITE

d'albite provenant de Perth County, Ontario, Canada. perthite. Cet échantillon consistait en lamelles mélangées alternativement d'orthose et Thomson décrivit en 1843 un spécimen d'orthose rouge à laquelle il lui donna le nom de

« cryptoperthite » (Smith, 1974). En 1882 Becke utilisa le terme « microperthite », et en 1890 Brogger employa D'autres termes décrivant les textures et formes des perthites en découlèrent.

PIERRE de LUNE, MOONSTONE

en Europe sous la forme : moone-stone (Simpson, 1989). En 1632, dans les écrits de Sherwood on retrouve probablement la plus ancienne trace écrite

hronologie

1253 : Al Tifaschi décrit les pierres de lune dans son livre intitulé "Best Thoughts on the Best of Stones"

1632 : première trace écrite des PL dans la culture européenne sous la forme de «Moone-stone » dans les écrits

1650 : arrivée des Hollandais au Sri Lanka

1723 : <u>Breithaupt</u> introduit le mot orthose

Utilisation du mot Feldspath par Tilas

1796 : le Sri Lanka est annexé par la Grande Bretagne

1814 : Gahn et Berzelius introduisent le mot Albite dans la litérature

Thomson introduit la notion de perthite

1849 : Nicol indique que l'orthose contient du sodium et du potassium.
1864 : Tschermak délimite la famille des feldspaths suivant les 3 pôles (K, Na, Ca)
1868 : Tyndall expérimente et étudie la diffusion de la lumière en milieu trouble à trois dimensions.

dimensions. 1871 : Lord Rayleigh met en équation la diffusion de la lumière en milieu trouble à trois

1882 : Becke utilise le terme « microperthite »

1890 : Brogger expose que les exsolutions perthitiques d'albite lamellaire sont responsables de la

« beauté » des PL. + notions « cryptoperthite » également par Brogger.

1895 : Röntgen découvre les rayons-X.

Sud de l'Inde ?). du phénomène de la couleur bleue du ciel. (Aurait-il travaillé sur des PL de Birmanie ou du 1901 : Viola expliquait quant à lui que l'origine de la couleur bleue était la même que celle

1905 : Des cultivateurs découvrent des PL à Meethiyagoda.

1906 : <u>Parsons</u> visite le gisement de Meethiyagoda pour le Ceylon Government Survey

1912 : von Laue expérimente la diffraction X sur des lames cristallines

1921 : Kôzu étudie, par rayons-X, l'influence de la température sur l'arrangement atomique des PL

1927 : première diffraction électronique par Davisson et Germer

1930 : Spencer établit une hypothèse de formation des PL, étudie leurs propriétés microscopiques, leur réaction thermique et modifications en reprenant les travaux de Kôzu.

1932 : Bauer classe les PL comme variété d'orthose.

Thosar suggère que « l'iridescence » résulte de la diffusion sur des plans de macles

1948 : Indépendance du Sri Lanka (Ceylan)

que celle de la diffraction car les couleurs ne varient pas avec l'angle. Il suggéra que « l'iridescence » résulte de réflexion interne avec un plus grand pouvoir réflecteur pour les plus courtes longueurs d'onde. écarta également l'hypothèse de la fluorescence car il n'observa pas de changement de longueur d'onde ainsi 1948 : Oftedahl réfuta l'hypothèse de Brogger car les couleurs sont indépendantes de l'angle de réflexion. Il

1950 : Raman réfuta l'hypothèse de Thosar et suggéra une confirmation de l'hypothèse de les longueurs d'onde (et donc pas par un phénomène de réflexion ou d'interférence). Viola par la diffusion de la lumière par des particules (centre de diffusion) plus petites que

1951 : Raman : observations approfondies de l'adularescence

sodium (confirmation des hypothèses de Spencer) 1961 : Correns démontre que les feldspaths potassiques sont plus résistants à l'érosion que les feldspaths de

1963 : Fleet et Ribbe montrèrent une structure lamellaire pour les PL du Sri Lanka

1983 : Yund étudie des microstructures par microscopie électronique

Harder_suggère un rapport entre la grandeur des PL et l'aspect tectonique

MICROSCOPE ELECTRONIQUE TRANSMISSION (MET)

- A l'aide de meules diamantées les échantillons ont été découpés en petites pastilles de +/- 4 mm de diamètre et affinés à une épaisseur de l'ordre de 15-20 microns.
- Un faisceau d'argon est ensuite utilisé pour amincir progressivement le centre de la pastille.
- w cette opération s'avère fort délicate. chaque échantillon sera disposé sur le porte échantillon pour l'observation. Vu la fragilité des échantillons Les échantillons sont ensuite recouverts d'un film métallique pour éviter leur chargement électrique. Ensuite

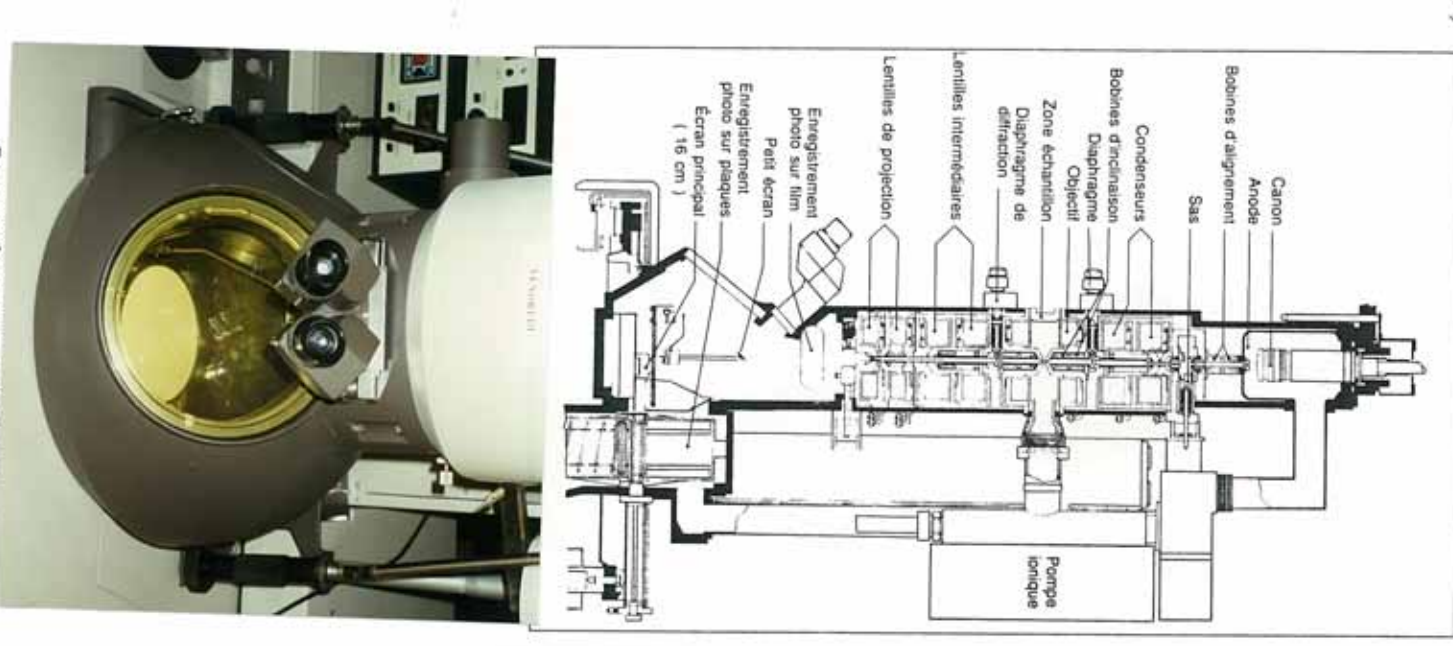
Vue d'ensemble du MET modèle CM30 de l'institut des Matériaux de Nantes.





Mme Anne-Marie Marie fixant un Echantillon sur le porte objet.

Détails de la colonne optique d'un MET. (Hawkes, 1995)



Dispositif permettant d'observer sur un écran fluorescent.

AUTRES GISEMENTS DE PL AU SRI LANKA

trouvées à Meethiyagoda. au Sri Lanka. Ces gisements comprennent des PL en moyenne plus grandes que celles De nombreux gisements de PL de qualité inférieure à celles de Meethiyagoda ont été trouvés

Balangoda
Elipitiya
Haputala (Province de Huva)
La Plaine de Horton
Au Nord de Kandy à Matele
Mahawelli Ganga (Nord Est)
Pitigala
Tanne près de Balangoda
Uggalkatota
Walawa Ganga (Au nord)
Weligama
Yatiyantota

LE FELDSPATH SODIQUE ET LE FELDSPATH POTASSIQUE TRANSFORMATION DES POURCENTAGES D'OXYDES EN RAPPORT ENTRE

Tot: 2.9352

- m. moléculaire : masse moléculaire de chacun des oxydes constituant constituant la PL. % Oxyde: pourcentage en poids des différents oxydes constituant la PL.
- l'oxyde concerné Les valeurs de cette colonne sont obtenues en divisant % Oxyde par la masse moléculaire de PROP: proportion moléculaire pour chacun des oxydes.
- un oxyde par la proportion moléculaire de l'oxyde élément concerné. ATO: Proportion atomique de l'oxygène dans chaque molécule associée avec un Ce résultat est obtenu en multipliant le nombre d'atomes d'oxygène dans

Tot: Total de la colonne.

Répartition proportionnelle basée pour 8 atomes d'oxygène : 8/2.9352 = 2.7255

par 2.9352 Nombre d'anions sur base de 8 O. Le résultat est obtenu en multipliant la colonne (3)

Total feldspath: 0.199 + 0.279 = 0.478

% Feldspath sodique: 0.199/0.478 = 42 % % Feldspath ptassique: 100 – 42 = 58 %

Pierres de Lune et Civilisations

Les PL en Orient Les PL au Moyen-Orient Les PL en Occident

De nombreuses civilisations ont associé aux gemmes le folklore, les symboles, les idées fantastiques ou fantaisistes, les superstitions, le fétichisme et la magie...

PL en Orient

Au Sri Lanka, vers la fin du XI° et au début du XII° siècle de notre ère, un temple fut érigé à comme une gemme apportant « a good fortune » (kunz, 1913). Selon une croyance orientale, la sont considérées comme apportant un bon avenir à celui qui les porte. La PL est considérée temple en étaient couvertes (Mozzani, 1995). Anuradhapura à la gloire des Pierres de Lune. La légende dit que les marches de ce Lore of Precious Stones » qu'anciennement, la PL était considérée comme une pierre sacrée l'esprit bienfaisant dont elle est la demeure PL est constituée de rayons lunaires solidifiés1 et son chatoiement est la lumière émanant de En Asie, les gemmes qui possèdent un chatoiement (adularescence, œil-de-chat, astérisme...) Il est intéressant de remarquer que la PL ne figure pas dans la liste du Mani Mala2 (Mozzani, 1995). Kunz indique dans « The Curious

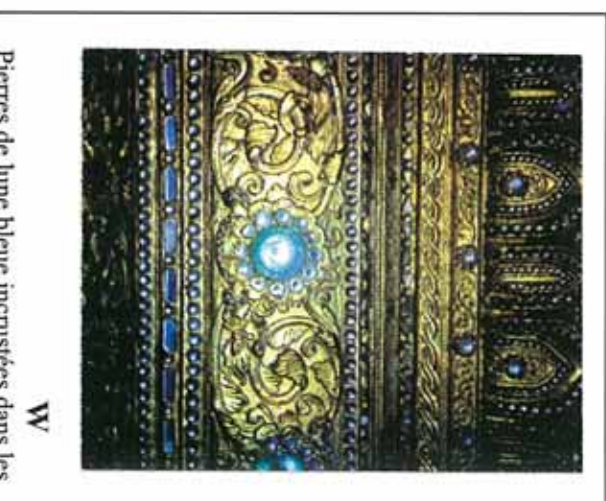
de grande taille incrustées dans les parois Kyauktawgyi comporte des pierres de lune bleues - Au Myanmar (Birmanie), le Temple de

décrire les pierre de lune : En Thailande, deux noms sont utilisés pour

จับทรกานด้ นกดาหาร

> [Chautakhau] signifiant « Lune d'or ». [Mookdohau] signifiant « Pierre de Lune »,

cabochon. vertus bénéfiques aux gemmes taillées en Une ancienne croyance siamoise attribue des



parois d'un Temple Boudhiste en Birmanie. (Photo Sukhumthai Magasine) Pierres de lune bleue incrustées dans les

pierres fines' qui sont censées apporter de la chance aux guerriers qui portent l'une d'entre Parmi les nombreuses gemmes que l'on peut retrouver taillées en cabochon, une série de 9 elles a été établie.

La pierre de lune est reprise dans cette liste⁵

Galien surnommait la pierre de lune « écume de lune »

gouverner la destinée de l'homme). ² Collier formé de douze gemmes qui est censé apporter des influences «astrologiques» favorables (supposées

forme ovale, les formes rondes seraient des quartz sur fond.

⁴ Pierre de lune, rubis, émeraude, saphir jaune, grenat, zircon, chrysobéryl, oeil-de-chat et diamant. ⁵ Un poème écrit en 1782 par le Frère de Rama I de Bangkok nous décrit ces gemmes.

Lors du soixantième anniversaire de la Reine Surikit, le Gouvernement Thaïlandais offrit une couronne en or⁶ ornée des « 9 gemmes de la chance ». Cette couronne porte le nom de

[Mongood Noparat Sirhaporn Mongkoon]. มงกุฎนพรัสน์ศิรากรณ์จอล

Dans la Mythologie Thailandaise, l'ange

[Khorakhâthevi] porte comme bijoux des PL.

(Communication personnelle, Yensudchai S).



⁶ Le poids de cette couronne est de 2 kg.

Les PL au Moyen-Orient

La traduction de l'expression "Hadjar al Qamar" (de l'arabe classique) signifie pierre de lune

ont été décrites bien plus tard. Al Tifaschi mentionne également dans ses écrits que les PL de chat. C'est pour cette raison que les PL étaient appelées à l'époque en arabe classique 'AIN qu'à l'inverse des autres gemmes, les PL étaient plus prisées dans les pays originaires et étaient vénérées dans certaines provinces en Inde (dont Ma'abar'). Il mentionne également associées aux PL. D'après Samar Huda, les croyances du pouvoir que l'on attribue aux PL chat qui capte la lumière dans sa pupille en mouvement. L'auteur indique que si la pierre était déplaçait à l'intérieur de la gemme. Ce "point bleu" est décrit comme similaire à un œil-devoisins que dans les terres éloignées (terres arabes) (Samar Najm Abul Huda, 1998). comme étant très claires et grandes. Al Tifaschi ne décrit pas de "propriétés bénéfiques" AL HIRR (Pierre de lune œil-de-chat). A cette époque les meilleures qualités sont décrites tournée vers la gauche le "point bleu" se déplaçait vers la droite (et vice versa), comme un œil l'auteur, ces pierres semblaient étranges par leur transparence et le "point bleu" qui se aborde l'hypothèse de leur formation, les gisements, les qualités et leur estimation. Pour décrit 25 gemmes dont des "Pierres de lune œil-de-Chat". Le chapitre qui décrit les PL bleues AL AHDJAR (traduction: les meilleurs enseignements des meilleures pierres). Ce livre Vers 1243, le célèbre Al Tifaschi⁷ écrit un livre intitulé AZHAR AL AFKAR FI DJAWAHIR

Dont le nom complet est Shihab al-Din Abul Abbas Ahmad Ibn Yusuf al Tifaschi. connaissances relatives aux minéraux et aux gemmes. Cet homme de science et de loi (né en 1184) voyagea en Irak, Arménie, Perse, Egypte où il rassembla des

⁸ Huit versions différentes de ce manuscript sont conservées à la Bibliothèque Nationale de Paris sous les références: manuscrit arabe N°2770, 2773-2778, 5291.

Les PL en Occident

Une des origines possible de la pierre du mois est vraisemblablement liée aux écrits de l'historien Josephus 9 et de St Jérôme¹⁰ qui établirent un rapport entre les douze pierres du croyances. La pierre de lune ne figurait pas dans la liste des douze pierres de ce pectoral¹² douze mois de l'année. pectoral du Grand Prêtre (dont chacune d'entre elles correspondait à une tribu d'Israël) et les Progressivement, des vertus¹¹ mystiques s'ancrèrent dans les

dans la bouche lors d'une pleine lune (Kunz, 1913). lire le bon ou mauvais futur. Pour accéder à cette connaissance la pierre devait être placée lorsqu'elle est donnée en cadeau. Elle augmente la passion et donne aux amants le pouvoir de Dans « De Lapidibus » 13, il est mentionné que la pierre de lune prend toute sa valeur

d'ouvrir son esprit au monde, donne de l'inspiration et conduit au succès. Porte-bonheur des convient aux personnes courageuses au travail, organisées, patientes, économes et hommes d'affaires et de tous ceux qui détiennent un certain pouvoir, la pierre de lune amène la réconciliation des amants. Elle procure la force physique, apaise l'esprit, permet « La PL est le symbole de l'enfance et de la candeur, protège les relations amoureuses et

(Extrait du livre des superstitions, mythes, croyances et légendes d'Eloïse Mozzani, 1995)

l'emblème de la pureté, de l'innocence, de la vie, de la lumière Certaines PL se retrouvent sur des objets de culte chrétien car la couleur blanche est

écrites et que la PL est reprise dans la liste pour le mois d'août Ce n'est qu'à partir de la fin du 15 ème siècle que de nouvelles listes de gemmes du mois sont

d'intérêts dictés par les marchands. En 1912, la pierre de lune et la perle ont été choisies par d'une région d'Allemagne ou de Pologne. correspondant au mois de juin (Kunz G. F., 1913). la "American National Retail Jewelers Association" (ANRJA) comme pierre changements opérés dans les listes des pierres du mois et du signe zodiacal sont le résultat du mois de naissance était portée en bague se développa. Il laisse à penser que les Poujet (1762) pense que l'origine de cette nouvelle liste deux siècles auparavant provient De cette région, une mode dans laquelle la gemme

en 1952 par le Jewelry Industry Council et le "American Stone Importers Association" En 1938, La "American Gem Society" (AGS) adopta le même choix, le même choix est fait

10 St Jérôme vécu au début du 5ême siècle.

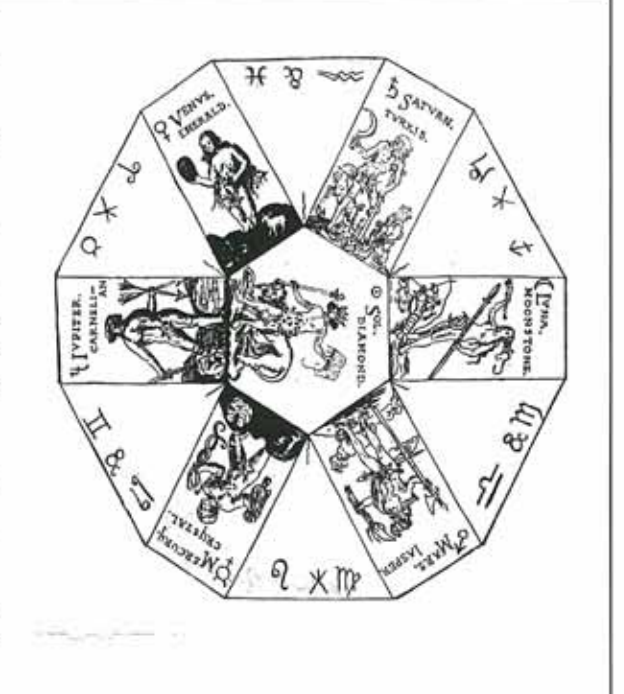
⁹ Historien juif, Josephus est également connu sous le nom de Flavius Josephe. Il vécu de l'an 37 à l'an 95

¹² La nature exacte des douze pierres figurant sur le pectoral semble connaître quelques variations suivant les 11 Il a été remarqué que chez certaines personnes, les gemmes pouvaient avoir un effet placebo.

anciens auteurs. Toutefois, aucun ne mentionne la sélénite ou la pierre de lune.

13 Ouvrage écrit en 1531 par Marbodei à Fribourg comprenant des textes hermétiques sur les sciences occultes.

originaire d'Asie. Dans les listes des d'argent (Mozzani, 1995). d'Ofaniel, ange qui préside à la lune la PL est également le talisman est recommandée pour le lundi (jour de Dans les anciens textes romans, la PL de lune est reprise pour le mardi (GIA, pierres de naissance du GIA, la pierre l'on est habillé de blanc ou de blanc et de la roue lunaire ». qui lui a donné l'appellation « d'ange la lune). Consacrée à Diane-Artémis, Cette croyance est probablement lorsqu'elle est portée le lundi et que lune est relativement efficace tradition anglo-saxonne, la pierre de Suivant une

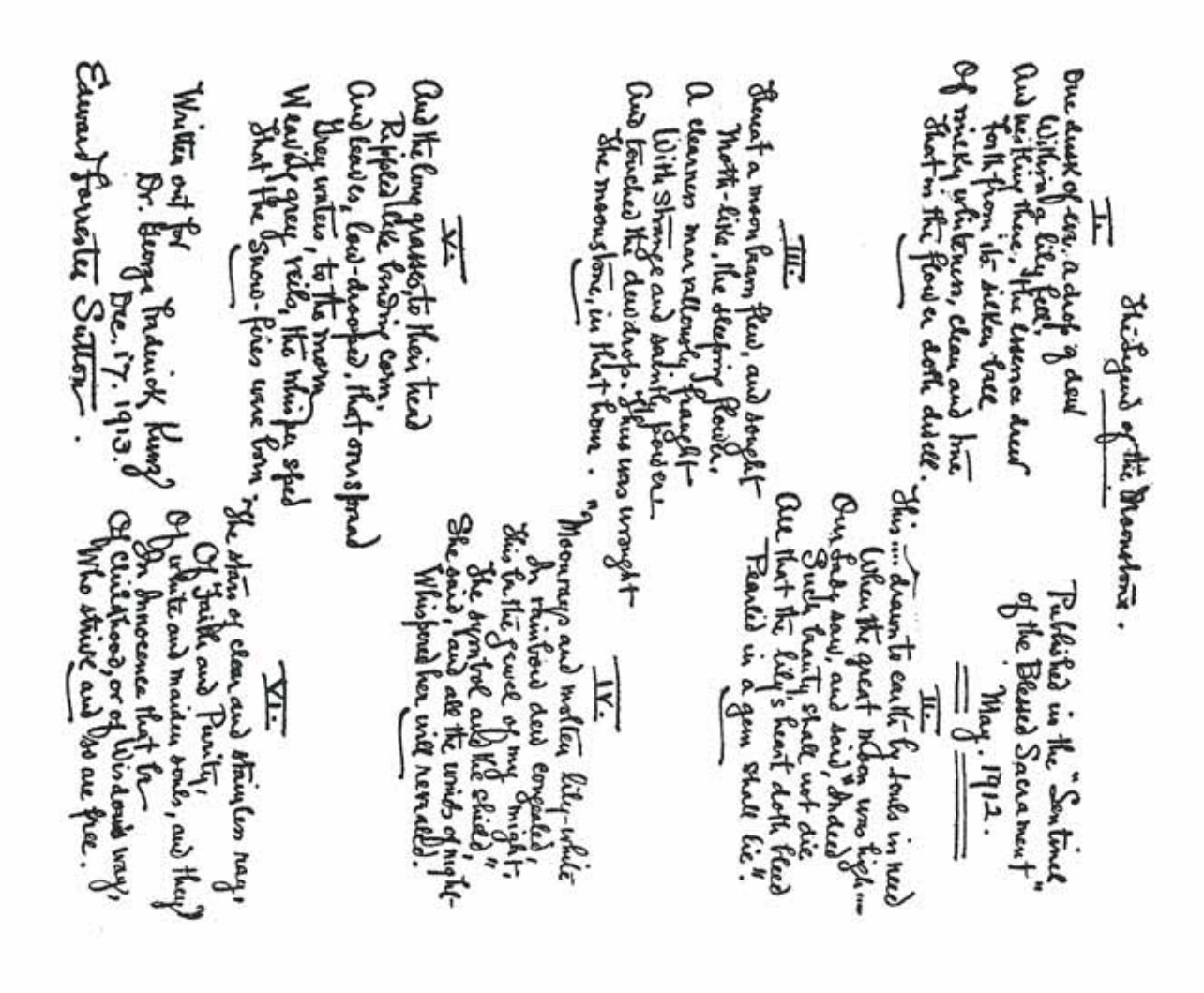


Ancienne figure imprimée indiquant les jours de la semaine en correspondance avec les pierres et les signes du zodiaque associés.

La pierre de lune est associée à Diane et le signe du cancer pour la journée du lundi (Kunz, 1913).

PIERRE DE L'UNE et la POESIE.

Sutton. Ce poème fut publié dans « Sentinel of the Blessed sacrament » en mai 1912 Bien que l'expression « Pierre de lune » semblerait un nom particulièrement évocateur pour les poètes, celle-ci n'a été retrouvée que dans un poème écrit par le Dr. Edward Forrester



<u>Bibliographie</u>

Anderson B.W. révisé par Jobbins E A, (1990), GEM TESTING, Butterworths, pp 328.

Bariand P., Cesbron F., Geffroy J., (1977), LES MINERAUX LEURS GISEMENTS, LEURS
ASSOCIATIONS, pp 52, 61-71, 122, 123.

Barnett S. M., Bailiff I. K., (1997), THE TEMPERATURE DEPENDENCE OF LUMINESCENCE IN SOME FELDSPARS (80-300K), J. Phys D: Appl. Phys 30, pp 683-89.

Best S. P., Clark R., Hayward C., Withnamm R., (1994), POLARIZED SINGLE-CRYSTAL RAMAN

SPECTROSCOPY OF DANBURITE, Journal of Raman Spectroscopy, vol 25, pp 557-63.

Brögger W.C., (1890), DIE MINERALIEN DER SYENITPEGMATITGANGE DER SUDNORWEGISHEN

AUGIT- UND NEPHELINSYENITE, Zeits. Kryst. Min., vol 16, pp 525.

Bruhat G. révisé par Kastler A., (1965), OPTIQUE, Masson et Cie, Paris, France, pp 306 à 320.

Caron J. M., Gauthier A., Schaaf A., Ulysse J., Wozniak J., (1995), COMPRENDRE ET ENSEIGNER LA PLANETE TERRE, Editions Ophrys, pp 107, 108, 151, 152, 153, 154, 205.

Clark A.M., (1993) HEY'S MINERAL INDEX (mineral species, varietie and synonyms), 3 eme édition

Chapman and Hall

crystallography and physical mineralogy, 4 eme édition John Wiley and Sons Inc; pp 535 à 539.

Dana J. D., Gaines R.V., Skinner H. C., Foord E. E., Mason B., Rosenweig A., (1997), DANA'S NEW Dana E. S., révisé par Ford W. E., (1949), A TEXTBOOK OF MINERALOGY with an extended treatise on

MINERALOGY, John Wiley consultation de « class 76 ».

MINERALS, pp page 391 - 430 et 678 - 679. Deer W.A., Howie R.A., Zussman J., (1993), AN INTRODUCTION TO THE ROCK-FORMING

les éditions encyclopédiques Alpha, Grange Batelière- Paris - France De Michele V., (1972), DICTIONNAIRE DE MINERALOGIE ET PETROGRAPHIE, adapté en français par

Fleischer M., Mandarino J. A., (1995), GLOSSARY OF MINERAL SPECIES, 7 eme édition, Mineralogical Tuscon.

mechanics, radiation, and heat, Addison-Weysley Publising company, pp 32-6 à 32-9. Feynman R. P., Leighton R. B., Sands M., (1977), THE FEYNMAN LECTURES ON PHYSICS mainly

Ford, (1971), DANA'S TEXTBOOK OF MINERALOGY, John Wiley, 4 eme édition, pp 192, 193, 535 à 549. Fritsch E., (1987), CONNAITRE LES MACLES, Monde et Minéraux, volume 11, pp 17.

Marketing, Buying, Gemological Institute of America, Santa Monica, California..

Gubelin E.J. et Koivula J.I., 1986, PHOTOATLAS OF INCLUSIONS IN GEMSTONES, ABC Edition GIA, (1980), THE GIA COLORED STONE ASSIGNGMENT 19, FELDSPAR, Identificatioj, Production

Zurich, pp 31, 134, 135, 412.

Gunawardene M., (1983) PYRITE AND MARCASSITE OCCURRENCE IN SRI LANKA WITH SPECIAL EMPHASIS ON MEETIYAGODA GEM FIELD, Journal of Gemmology of GB, Vol 18, N°7 pp 635 à 640. Günther B., (1981), TABLES OF GEMSTONES IDENTIFICATION, Elisabeth Lenzen, Kirschweiler, Allemagne.

Harder H., (1992), MOONSTONE MINING IN SRI LANKA: NEW ASPECTS, Journal of Gemmology of

pp 179 à 182 Harder H., Vol 23, N°1 pp 27 - 35.

'der H., (1994), SMOKY MOONSTONE A NEW VARIETY, Journal of Gemmology of GB, Vol 24, N°3

France, pp 9 à19, 44 à 60. Hawkes P., (1995), ELECTRONS ET MICROSCOPES VERS LES NANOSCIENCES, CNRS Editions, Paris

Hurlbut C. S., (1971), Dana's Manual of Mineralogy, John Wiley and Sons Inc; Consultation des pages 466 468.

Hurlbut C.S., Kammerling R.C., (1991), GEMOLOGY, John Wiley and Sons Inc; pp 30, 74, 223 à 225. Kunz G. F., (1913), THE CURIOUS LORE OF PRECIOUS STONES, publié par J. B. Lippincott Company, Philadelphia & London pp 8, 97, 98, 320, 334. Kunz G. F., (1915), THE MAGIC OF JEWELS AND CHARMS, publié par J. B. Lippincott Company,

Philadelphia & London, pp 386.

Larousse, (1966) LAROUSSE EN COULEURS, Paris.

Lasnier B., (1995), MATERIAUX DE L'ECORCE TERRESTRE, syllabus DEUG B2, pp 166 à 173

Mac Lintock W., Statham M., Sabine P., (1983), GEMSTONES IN THE GEOLOGICAL MUSEUM,

London Her Majesty's Stationery Office, pp 16.

Mac Millan P. F., Graham C. M., (1981), THE RAMAN SPECTRA OF QUENCHED ALBITE AND séries D 18, 112-115. ORTHOCLASE GLASSES FROM 1 atm to 40 Kb, Progress in Experimental Petrology NERC publications.

Mahan B., (1977), CHIMIE, InterEditions, Paris, pp 564.

Mernagh T.P., (1991), USE OF THE LASER RAMAN MICROPROBE FOR DISCRIMINATION AMONGST FELDSPAR MINERALS, Journal of Raman Spectroscopy, vol 22, pp 453-57

Miller M et Sinkankas J, (1993), STANDARD CATALOG OF GEM VALUES, Geoscience Press, Tuscon Arizona, pp 47, 48, 49, 68, 69, 162, 163.

Gemmologie, Université de Nantes, Nantes, France. 150 p ., (1995), LES FELDSPATHS GEMMES APPROCHE. Mémoire de Diplôme d'Université de

Mozzani E., (1995), LE LIVRE DES SUPERSTITIONS, MYTHES, CROYANCES et LEGENDES, Robert Laffont, Paris, France

Nassau K., (1994), GEMSTONE ENHANCEMENT, Butterworth Heinemann LTD, pp 152 à 155 Nassau K., (1983), THE PHYSICS AND CHEMISTRY OF COLOR, Wiley-Interscience, pp 241-

microsonde Raman pour l'identification non des tructrive des gemmes, numéro hors série de l'Association Nassau K., (1983), THE PHYSICS AND CHEMISTRY OF COLOR, Wiley-Interscience, pp 241-242.

Pinet M., David C., Lasnier B., (1992), LA MICROSONDE RAMAN EN GEMMOLOGIE, Utilité de la

Française de Gemmologie, pp 51 et 52.

Raman C. V., (1950), THE IRIDESCENT FELDSPARS, Proc. Ind. Acad Sci, Current Science, Vol XIX, n°10, October 1950, pp 301 à 305.

Raman C. V., (1950), MORE ABOUT THE IRIDESCENT FELDSPARS, Proc. Ind. Acad Sci, Current Science, Vol XX, n°4, April 1951, pp 85 à 87.

Read P. G., (1991), GEMMOLOGY, Butterworth Heinenmann, pp 144-152.

(1983), FELDSPAR MINERALOGY, Mineralogical Society of America, consultation du chapitre 1 à 5. Ribbe P.H, Kroll H., Hofmeister A. M, Rossman G. R., Smith J. V., Stewart D. D., Tullis J., Yund R. Robbins M., (1994), FLUORESCENCE GEMS AND MINERALS UNDER ULTRAVIOLET LIGHT, Α.,

Tifaschi), The Scarecrow Press, Inc. Lanham, Maryland. Samar Najm Abul Huda, (1998), ARAB ROOTS OF GEMOLOGY, Best Thoughts on the Best of Stones (Al Geoscience Press, Phoenix, Arizona

Schumann W., (1985), GUIDE DES PIERRES ET MINERAUX, Delachaux et Niestlé, Paris, pp 33, 42, 62, 276, 278, 300, 308-310

consultation des mots repris dans le chapitre concernant l'étymologie. Simpson J. A., Weiner E.S.C, (1989), THE OXFORD ENGLISH DICTIONARY, Clarendon Press, Oxford

II p401, 518, 519. Smith H. G., (1949), GEMSTONES, Methun and Co, consultation Châpitre 23 « Feldspar Family ».
Smith J., FELDSPARS MINERALS, (1974), Springer-Verlag, Heidelberg New York, pp des vol I p 12 et vol

Mineralogical Magazine and Journal of the Mineralogical Society, N°130, Vol XXII, September 1930. Universalis, (1996), ENCYCLOPAEDIA UNIVERSALIS, Paris, Vol 9 pp334-338. OTHER AREAS AND OF THE STABILITY-RELATIONS OF THE ALKALI-FELDSPARS., The Spencer E., (1930), A CONTRIBUTION TO THE STUDY OF MOONSTONE FROM CEYLON AND

Mineralogist, Vol 71, pp 1415-19. White W. B., Matsumura M., Linnehan D. G., Furukawa T., Chandrasekhar B. K., (1986), ABSORPTION AND LUMINESCENCE OF Fe⁺³ IN SINGLE CRYSTAL ORTHOCLASE, American Minéralogie - Scirences des Matériaux, Société Française de Minéralogie et Cristallographie Willaime C. W., (?), INITIATION A LA MICROSCOPIE ELECTRONIQUE PAR TRANSMISSION